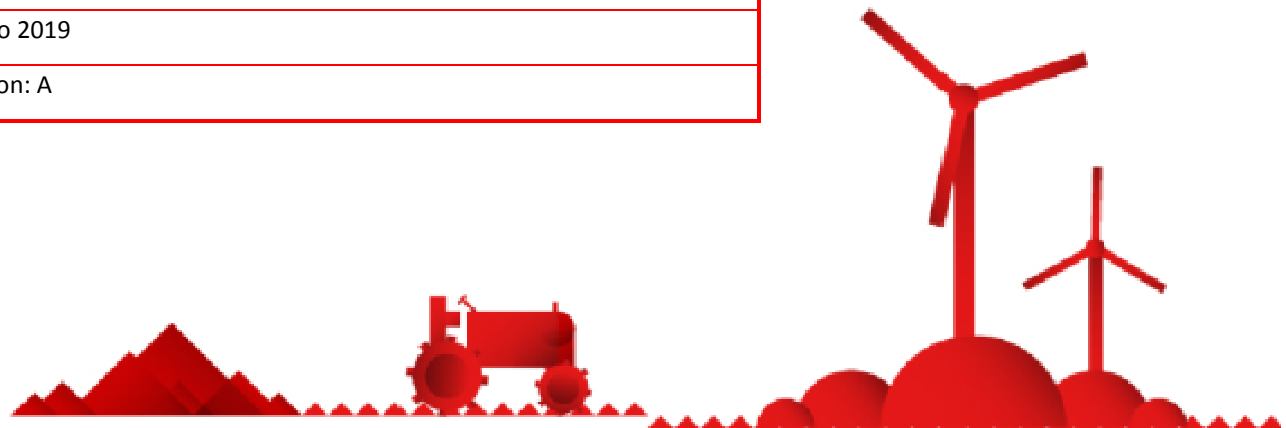


PARCO EOLICO "ROSAMARINA"
A.11 – Relazione preliminare sulle strutture
Lavello (Potenza)
Marzo 2019
Version: A



EDP Renewables Italia Holding S.r.l.
Via Lepetit 8/10
20124 - Milano



MARGIOTTA ASSOCIATI
Via Valcaro n. 3
85100 Potenza
P.IVA: 01108480763
Tel: 0971/37512



INDICE

1. PREMESSA	3
2. NORMATIVA DI RIFERIMENTO	3
3. TIPOLOGIA DELLE OPERE	4
4. MATERIALI IMPIEGATI	5
5. GRANDEZZE GEOTECNICHE	6
6. CARICHI AGENTI.....	7
6.1. AZIONE DEL VENTO	7
6.2. AZIONE SISMICA.....	8
7. CODICE DI CALCOLO IMPIEGATO	11
8. MODELLI USATI PER IL CALCOLO FEM	12
9. VERIFICHE	15
9.1. PLATEA	15
9.2. PALI.....	68



1. PREMESSA

Il parco eolico denominato “Rosamarina”, di proprietà di **EDP Renewables Italia Holding Srl** si estende nel territorio del Comune di Lavello, in provincia di Potenza ed è costituito da sette aerogeneratori del tipo GE 5.3 - 158 - 50 Hz, ciascuno della potenza di 5,3 MW per una potenza complessiva di 37,10 MW.

Gli aerogeneratori sono ad asse orizzontale con sistema tripala ed avranno altezza massima al mozzo pari a 121,00 m e diametro del rotore 158,00 m.

Per l’installazione degli aerogeneratori del parco “Rosamarina” saranno realizzate strutture di fondazione in cemento armato del tipo indiretto su pali.

Il calcolo della fondazione è stato condotto considerando il carico della macchina, l’azione del vento ed il momento prodotto sia dal carico concentrato posto in testa alla torre che dall’azione cinetica delle pale in movimento.

I calcoli sono stati eseguiti secondo gli usuali metodi della Scienza delle Costruzioni ed in conformità con le normative attualmente vigenti. In particolare, il criterio di verifica adottato è quello agli stati limiti (sle ed slu).

Tutti i calcoli di seguito riportati, la tipologia delle fondazioni, la relativa scelta di materiali, sezioni e dimensioni, saranno oggetto di ulteriori verifiche in sede di progettazione esecutiva e potranno pertanto subire variazioni anche sostanziali.

2. NORMATIVA DI RIFERIMENTO

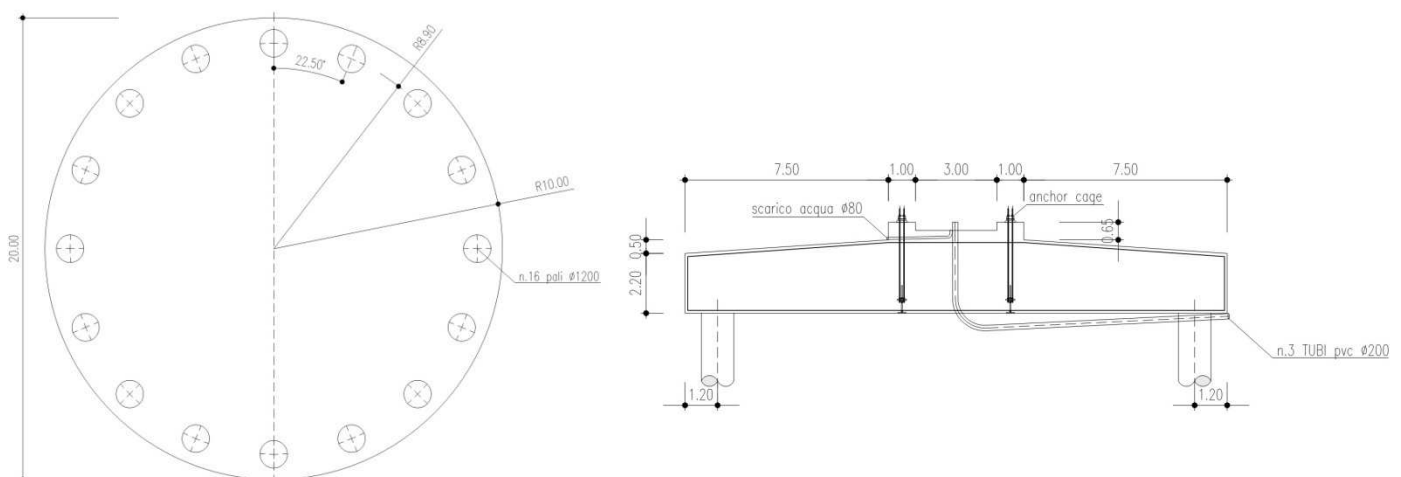
Nell’esecuzione del progetto, nelle calcolazioni e nelle modalità costruttive, si è tenuto conto della normativa di seguito riportata:

- **Legge 5.11.71 n. 1086** “Norme per la disciplina delle opere in conglomerato cementizio armato”;
- **Legge 2.2.74 n. 64** “Provvedimenti per le costruzioni con particolari prescrizioni per le zone sismiche”;
- **D.M. 16.1.96** “Norme tecniche relative ai criteri generali per la verifica di sicurezza delle costruzioni e dei carichi e sovraccarichi”;
- **D.M. 16.1.96** “Norme tecniche per le costruzioni in zone sismiche”;

- **D.M. 9.1.96** “Norme tecniche per l’esecuzione delle opere in cemento armato normale e precompresso e per le strutture metalliche”;
- **D.M. 11.3.88** “Norme tecniche riguardanti le indagini sui terreni e sulle rocce, la stabilità dei pendii naturali e delle scarpate, i criteri generali e le prescrizioni per la progettazione, l’esecuzione ed il collaudo delle opere di sostegno delle terre e delle opere di fondazione”;
- **Circolare Ministero LL.PP. 24.9.88 n. 30483** “Legge 2.2.74 - D.M. 11.3.88 - Istruzioni per l’applicazione
- **UNI 9858** “Concrete. Performance, production, placing and compliance criteria”
- **Norme tecniche per le costruzioni 2018** (D.M. 17 Gennaio 2018);
- **Circolare 617 del 02.02.2009** “Istruzioni per l’applicazione delle Nuove Norme Tecniche per le costruzioni di cui al D.M. 14 gennaio 2008.

3. TIPOLOGIA DELLE OPERE

Le opere in oggetto sono plinti su pali, di forma circolare, con le dimensioni riportate nelle figure seguenti.



I plinti sono composti da 3 solidi sovrapposti: un cilindro di base, con diametro 20,00 m e altezza 2.20 m, un tronco di cono, con diametro di base 20.00 m e diametro superiore 5.00 m, con altezza 0.50 m ed un cilindro di diametro 5.00 m e altezza 0.65 m.

 edp renewables	Progetto per la costruzione di un impianto di produzione di energia elettrica da fonte eolica con potenza di 37.1 MW e opere di connessione alla rete Relazione preliminare sulle strutture	Marzo 2019
--	---	------------

Ciascun plinto avrà 16 pali $\Phi 1200$ dislocati come in figura. Il loro asse sarà posto a distanza di 8.90 m dal centro del plinto. Le congiungenti degli assi di due generici pali contigui con il centro del plinto forma un angolo di 22.5° . L'interfaccia tra torre e plinto sarà realizzata con una anchor cage in acciaio immerso nel solido in calcestruzzo, come in figura.

I plinti e i pali saranno realizzate con calcestruzzo C28/35.

4. MATERIALI IMPIEGATI

Si prevede l'impiego dei seguenti materiali:

Calcestruzzo per fondazioni:

classe di esposizione XC2;

classe di resistenza C28/35;

rapporto acqua/cemento max 0,60;

contenuto cemento min 3000 kg/mc;

diametro inerte max 20 mm;

classe di consistenza S4.

Ferro per armature B450C – barre ad aderenza migliorata poco sensibile ad aggressioni chimiche (DM 09.01.1996).



5. GRANDEZZE GEOTECNICHE

L'area in esame è situata in località Monte Quercia e località Masseria Rosamarina, la prima localizzata sul Fg. 175 della Carta d'Italia II S.E. la seconda sul Fg. 175 della Carta d'Italia II N.E.

Tali morfostrutture, originate dalla regressione marina Plio-Pleistocenica e dai depositi da essa derivanti, risultano costituite dalla seguente successione litologica:

Dall'alto al basso

- Coltre detritica;
- Sabbie, sabbie argillose a volte con livelli arenacei giallastri e lenti ciottolose.

In corrispondenza del sito in esame, la coltre detritica è rappresentata esclusivamente da terreno agrario misto a ciottololame i cui elementi sono di dimensioni variabili intorno ai 10,0 cm.

L'area di affioramento è diffusa su tutta la superficie e gli spessori sono ovunque esigui, in genere non superano il metro. Le caratteristiche morfologiche dell'area, infatti, generalmente pianeggianti o in lieve pendenza, ne hanno impedito la sedimentazione e l'accumulo in spessori maggiori, fenomeno che si verifica in modo preferenziale nelle depressioni o nei fondovalle.

Per il predimensionamento delle strutture di fondazione, pertanto, sono stati presi in considerazione i parametri geomeccanici delle sabbie gialle argillose desunti dalla relazione geologica a corredo del progetto.

Di seguito, sono riportati i parametri geomeccanici delle sabbie gialle desunti dalla letteratura tecnica e da numerosi sondaggi effettuati su tali materiali in precedenti campagne di indagini. Naturalmente tali valori sono indicativi, pertanto è necessario in fase di progettazione esecutiva, effettuare una campagna geognostica in situ al fine di ricostruire la stratigrafia locale e caratterizzare in modo puntuale i singoli siti interessati dai manufatti in progetto per il loro corretto dimensionamento.

Di seguito si riportano i valori indice dei principali parametri geomeccanici:

- peso di volume (γ) 18.34 KN/m³
- angolo d'attrito (ϕ) 25°
- coesione (c) 30.40 Kpa



6. CARICHI AGENTI

Sulla fondazione agisce, oltre al peso proprio della torre pari a circa 6.374.000 N, un'azione tagliante somma della forza del vento e di quella sismica; questa forza di taglio determina un momento che tende a ribaltare la piastra di fondazione ed un altro momento che invece tende a farla ruotare.

6.1. AZIONE DEL VENTO

La pressione del vento è stata calcolata, in accordo con le prescrizioni normative, utilizzando la seguente formula:

$$p = q_b \cdot c_e \cdot c_p \cdot c_d$$

dove

q_b = pressione cinetica di riferimento

c_e = coefficiente di esposizione

c_p = coefficiente di forma assunto pari a 1

c_d = coefficiente dinamico assunto pari a 1

$$q_b = \frac{1}{2} \cdot \rho \cdot v_b^2 = \frac{1}{2} \cdot 1,25 \cdot 28,2^2 = 497 \frac{N}{m^2}$$

con:

ρ = densità dell'aria assunta convenzionalmente costante e pari a $1,25 \frac{kg}{m^3}$

v_b = velocità di riferimento del vento assunta pari a $28,2 \frac{m}{s}$

$$c_e = K_r^2 \cdot c_t \cdot \ln\left(\frac{z}{z_0}\right) \cdot \left[7 + c_t \cdot \ln\left(\frac{z}{z_0}\right)\right] = 0,20^2 \cdot 1 \cdot \ln\left(\frac{105}{0,1}\right) \cdot \left[7 + 1 \cdot \ln\left(\frac{105}{0,1}\right)\right] = 3,89$$

con:

c_t = coefficiente di topografia assunto pari a 1

 edp renewables	Progetto per la costruzione di un impianto di produzione di energia elettrica da fonte eolica con potenza di 37.1 MW e opere di connessione alla rete Relazione preliminare sulle strutture	Marzo 2019
--	---	------------

$$\begin{cases} K_r = 0,20 \\ z_0 = 0,1 \end{cases} \text{ funzione della categoria di esposizione del sito (III nel caso in esame)}$$

Avremo quindi:

$$p = 1933 \frac{N}{m^2}$$

Ai fini del calcolo è stata considerata, sulla torre, un'azione variabile lungo l'altezza con valore massimo pari a 2000 N/m in corrispondenza del vertice alto della torre.

6.2. AZIONE SISMICA

L'aerogeneratore è progettato e certificato secondo la normativa internazionale CEIEN 61400-1. Coerentemente con tale normativa la sua vita utile di progetto è di 20 anni; tuttavia l'evoluzione tecnologica di queste macchine le rende obsolete anche prima di tale periodo. Per quanto riguarda la vita nominale, la vita di progetto dell'intero aerogeneratore è quindi di 20 anni, e il dato è riportato in maniera evidente nei documenti di certificazione dello stesso (design assessment).

Conservativamente, per la verifica sismica al parametro Vita Nominale viene associato il valore $V_n=30$ anni.

La classe d'uso di queste strutture, da un punto di vista tecnico-funzionale e di sicurezza dovrebbe essere considerata inferiore alla Classe II. Infatti il loro uso non prevede nemmeno i normali affollamenti attribuibili a questa classe.

Deve inoltre essere sottolineato che benché l'opera sia connessa alla produzione di energia elettrica, il suo funzionamento dipende esclusivamente dalla presenza del vento, e quindi non può essere programmato. Pertanto, il ruolo di questi impianti durante e successivamente ad un evento sismico non può essere considerato "strategico".

Nonostante quanto sopra espresso, in ottemperanza alle NTC 2018, la verifica per gli stati limite di esercizio viene eseguita considerando una classe d'uso IV, con coefficiente d'uso pari a 2.



Lo spettro di progetto orizzontale e verticale viene calcolato localmente, in funzione delle coordinate dei singoli aerogeneratori e dei corrispondenti parametri relativi alle categorie di sottosuolo e topografiche.

Classe dell'edificio	[/]	4
Vita utile	[anni]	30
Periodo di riferimento dell'azione sismica	[anni]	60
Latitudine	[°]	41.0469
Longitudine	[°]	15.7944
Altitudine	[m s.l.m.]	200
Fattore di struttura	[/]	3,15

Sulla base dei dati a disposizione e considerando la tipologia strutturale, assimilabile a quella di un oscillatore ad un grado di libertà, secondo quanto previsto dalle vigenti norme, è possibile schematizzare la sollecitazione sismica mediante una sollecitazione statica equivalente. Per la struttura in esame è possibile stimare il periodo di oscillazione del primo modo di vibrare come:

$$T_1 = C_1 \cdot H^{\frac{3}{4}} = 0,085 \cdot 105^{\frac{3}{4}} = 2,79s$$

dove il coefficiente C_1 è posto pari a 0,085 trattandosi di una struttura metallica.

Attraverso questo valore di periodo e sulla base dello spettro di risposta in termini di accelerazione, è possibile determinare il parametro S_d allo Stato Limite di Collasso (SLU). La sollecitazione statica equivalente a quella sismica è:

$$F_{se} = W \cdot S_d = 89000N$$

avendo indicato con W la massa dell'aerogeneratore.

E' opportuno precisare che tale sollecitazione deve essere applicata nel vertice alto della torre e non nel baricentro. Tale ipotesi è giustificata dal fatto che in cima alla torre è posizionata la

 edp renewables	Progetto per la costruzione di un impianto di produzione di energia elettrica da fonte eolica con potenza di 37.1 MW e opere di connessione alla rete Relazione preliminare sulle strutture	Marzo 2019
--	---	------------

strumentazione metallica che fornisce inerzia alla struttura. Questa assunzione è sicuramente fatta a favore di sicurezza dal momento che aumenta il braccio della forza sollecitante.

Oltre alle azioni sopra citate che determinano una forza tagliante ed un momento ribaltante nei confronti della fondazione, c'è da portare in conto un ulteriore momento che tende a far ruotare la piastra di fondazione:

$$M_z = 3914325 \text{ Nm.}$$

M_z è stato calcolato tenendo conto dell'azione del vento applicata nel baricentro della pala.

 edp renewables	Progetto per la costruzione di un impianto di produzione di energia elettrica da fonte eolica con potenza di 37.1 MW e opere di connessione alla rete Relazione preliminare sulle strutture	Marzo 2019
--	---	------------

7. CODICE DI CALCOLO IMPIEGATO

Nome del Software	EdiLus
Versione	42.00d BIM
Caratteristiche del Software	Software per il calcolo di strutture agli elementi finiti per Windows
Produzione e Distribuzione	ACCA software S.p.A. Contrada Rosole 13 83043 BAGNOLI IRPINO (AV) Tel. 0827/69504 r.a. - Fax 0827/601235 e-mail: info@acca.it - Internet: www.acca.it



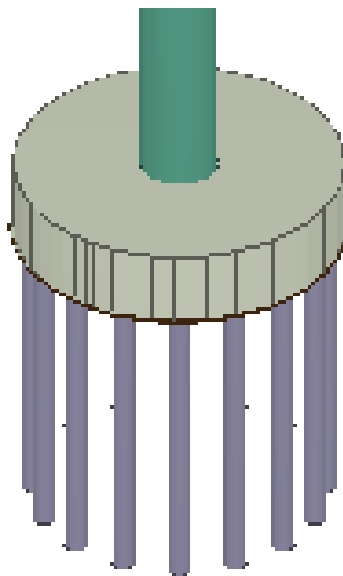
8. MODELLI USATI PER IL CALCOLO FEM

Per i plinti, la condizione di vincolo è rappresentata da vincoli ad elevata rigidezza sia traslazionale che rotazionale in corrispondenza delle posizioni in cui sono dislocati i pali, mentre per i pali, sulla base delle risultanze della relazione geologica, è possibile costruire un modello di palo per ogni plinto.

I pali giacciono nel piano ZX. L'asse dei pali è orientato lungo l'asse Z verticale. I nodi di testa sono caricati con le 3 diverse combinazioni di carico.

Le condizioni di vincolo sono costituite da vincoli di rigidezza opportuna. In particolare i vincoli di testa sono impediti di ruotare, i vincoli di base sono impediti di traslare lungo l'asse Z.

I vincoli intermedi sono lisci lungo la direzione Z e presentano rigidezza orizzontale pari a quella derivante dalla costante laterale di reazione del terreno k_h , attraverso le aree di influenza derivanti dalle dimensioni dei conci e dal diametro del palo.



Il plinto di fondazione è costituito da due cilindri coassiali tra cui è interposto un tronco di cono. All'interno dello stesso, prima della gettata di cls, viene collocato un mantello in acciaio a forma cilindrica (ancho cage) su cui, successivamente, verrà abbullonato il primo concio della torre in metallo. Tale plinto è collegato a 16 pali verticali aventi diametro pari a 1,20 m e profondità pari a 25 m.



Il concio metallico di base sarà schematizzato con elementi bidimensionali del tipo shell, in quanto rappresentano correttamente la parete cilindrica su cui si innesta la torre. L'anello in c.a. sviluppandosi in tutte e tre le direzioni, sarà invece modellato con elementi tridimensionali del tipo brick, mentre, per quanto riguarda la piastra in c.a. avente altezza variabile da 2,20 m a 2,70 m, questa verrà modellata con elementi bidimensionali del tipo shell.

I pali, invece, saranno assimilati ad elementi monodimensionali immersi nel terreno modellato come un continuo stratificato. Tali pali vengono considerati incastrati in testa, essendo il diametro degli stessi confrontabile con lo spessore della piastra e pertanto si ritengono trascurabili gli spostamenti e le rotazioni della testa del palo. Le lunghezze dei pali che verranno determinate in fase di calcolo, qualora le caratteristiche del terreno lo richiedano, potranno subire delle variazioni in fase esecutiva.

La verifica della sicurezza degli elementi strutturali avviene con i metodi della scienza delle costruzioni.

L'analisi strutturale è condotta con il metodo degli spostamenti per la valutazione dello stato tensodeformativo indotto da carichi statici. L'analisi strutturale è condotta con il metodo dell'analisi modale e dello spettro di risposta in termini di accelerazione per la valutazione dello stato tensodeformativo indotto da carichi dinamici (tra cui quelli di tipo sismico).

L'analisi strutturale viene effettuata con il metodo degli elementi finiti. Il metodo sopraindicato si basa sulla schematizzazione della struttura in elementi connessi solo in corrispondenza di un numero prefissato di punti denominati nodi. I nodi sono definiti dalle tre coordinate cartesiane in un sistema di riferimento globale. Le incognite del problema (nell'ambito del metodo degli spostamenti) sono le componenti di spostamento dei nodi riferite al sistema di riferimento globale (traslazioni secondo X, Y, Z, rotazioni attorno X, Y, Z).

La soluzione del problema si ottiene con un sistema di equazioni algebriche lineari i cui termini noti sono costituiti dai carichi agenti sulla struttura opportunamente concentrati ai nodi:

$K * u = F$ dove K = matrice di rigidità

u = vettore spostamenti nodali

F = vettore forze nodali

 edp renewables	Progetto per la costruzione di un impianto di produzione di energia elettrica da fonte eolica con potenza di 37.1 MW e opere di connessione alla rete Relazione preliminare sulle strutture	Marzo 2019
--	---	------------

Dagli spostamenti ottenuti con la risoluzione del sistema vengono quindi dedotte le sollecitazioni e/o le tensioni di ogni elemento, riferite generalmente ad una terna locale all'elemento stesso.

Il sistema di riferimento utilizzato è costituito da una terna cartesiana destrorsa XYZ. Si assume l'asse Z verticale ed orientato verso l'alto.



9. VERIFICHE

Le verifiche sono condotte considerando per la platea una gabbia di armatura composta da ferri di diametro 26 mm e passo 20 cm con un'aggiunta, nella parte più sollecitata, di altri ferri di diametro 30 mm con passo 15 cm.

Per i pali si considera una sezione circolare di diametro 1.20 m, con 18 ferri di diametro 24 mm con un copriferro di 50 mm ed un'armatura trasversale composta da una spirale del diametro di 8 mm e passo 10 cm.20

9.1. PLATEA

PLATEE - VERIFICHE PRESSOFLESSIONE RETTA ALLO SLU (Fondazione)

Platee - Verifiche pressoflessione retta allo SLU																			
Dir	Pos	Nodo	N _{Ed}	M _{Ed}	A _s	A _{df}	CS	Nodo	N _{Ed}	M _{Ed}	A _s	A _{df}	CS	Nodo	N _{Ed}	M _{Ed}	A _s	A _{df}	CS
			[N]	[N-m]	[cm ² /cm]	[cm ² /cm]			[N]	[N-m]	[cm ² /cm]	[cm ² /cm]			[N]	[N-m]	[cm ² /cm]	[cm ² /cm]	
Fondazione			Platea 1																
P	S	00001	0	0	1,274 16	1,274 16	-	00003	-1.270	278.8 99	0,212 36	0,212 36	1,41	00004	4.903	274.3 50	0,212 36	0,212 36	1,41
	I		- 271.7 78	11.42 0.762	3,716 30	3,716 30	7,35		-4.185	61.88 0	1,061 80	1,061 80	1,55		2.913	64.50 4	1,061 80	1,061 80	1,55
S	S		- 173.7 06	3.459. 043	1,274 16	1,274 16	1,72		0	0	0,212 36	0,212 36	-		0	0	0,212 36	0,212 36	-
	I		86.83 4	12.16 1.134	3,008 43	3,008 43	3,04		6.644	441.7 01	0,353 93	0,353 93	16,7 3		9.817	496.4 91	0,353 93	0,353 93	27,45
P	S	00005	831	227.2 23	0,212 36	0,212 36	1,42	00006	- 27.06 5	60.22 8	0,212 36	0,212 36	1,50	00007	211	98.25 0	0,212 36	0,212 36	1,48
	I		16.06 3	201.4 10	1,061 80	1,061 80	1,61		8.118	434.5 59	1,061 80	1,061 80	1,74		16.08 2	218.4 69	1,061 80	1,061 80	1,62
S	S		7.185	143.9 01	0,212 36	0,212 36	3,22		3.309	371.8 61	0,212 36	0,212 36	2,46		-856	246.8 86	0,212 36	0,212 36	2,83
	I		16.16 4	213.7 68	0,353 93	0,353 93	6,33		3.979	31.08 8	0,353 93	0,353 93	4,25		-2.467	199.5 50	0,353 93	0,353 93	6,15
P	S	00008	0	0	0,212 36	0,212 36	-	00009	-8.421	570.2 00	0,212 36	0,212 36	1,30	00010	- 16.27 7	482.8 63	0,212 36	0,212 36	1,34
	I		- 15.79 4	482.5 53	1,061 80	1,061 80	1,78		0	0	1,061 80	1,061 80	-		0	0	1,061 80	1,061 80	-
S	S		-6.768	484.0 40	0,212 36	0,212 36	2,21		0	0	0,212 36	0,212 36	-		0	0	0,212 36	0,212 36	-
	I		- 11.63 9	73.22 2	0,353 93	0,353 93	4,64		6.713	643.0 28	0,353 93	0,353 93	38,0 6		15.15 7	726.7 63	0,353 93	0,353 93	16,05
P	S	00011	- 27.04 5	62.22 8	0,212 36	0,212 36	1,50	00012	869	224.5 73	0,212 36	0,212 36	1,43	00013	0	0	0,212 36	0,212 36	-
	I		8.112	429.2 01	1,061 80	1,061 80	1,74		15.19 3	202.2 45	1,061 80	1,061 80	1,61		- 15.81 1	487.2 57	1,061 80	1,061 80	1,78
S	S		3.303	361.3	0,212	0,212	2,48		6.565	144.9	0,212	0,212	3,22		-6.758	495.3	0,212	0,212	2,19



Relazione preliminare sulle strutture

Platee - Verifiche pressoflessione retta allo SLU

Dir	Pos	Nodo	N _{Ed}	M _{Ed}	A _s	A _{df}	CS	Nodo	N _{Ed}	M _{Ed}	A _s	A _{df}	CS	Nodo	N _{Ed}	M _{Ed}	A _s	A _{df}	CS
			[N]	[N-m]	[cm ² /cm]	[cm ² /cm]			[N]	[N-m]	[cm ² /cm]	[cm ² /cm]			[N]	[N-m]	[cm ² /cm]	[cm ² /cm]	
	I		4.154	38 35.36 9	36 0,353 93	36 0,353 93	4,29		14.92 3	73 212.9 55	36 0,353 93	36 0,353 93	6,32		- 11.78 4	28 69.10 4	36 0,353 93	36 0,353 93	4,60
P	S	00014	314	96.81 0	0,212 36	0,212 36	1,48	00015	-1.383	282.4 63	0,212 36	0,212 36	1,40	00016	0	0	0,212 36	0,212 36	-
	I		17.11 7	219.5 29	1,061 80	1,061 80	1,62		-4.133	59.18 6	1,061 80	1,061 80	1,55		1.624	590.7 38	1,061 80	1,061 80	1,84
S	S		-2.192	245.3 69	0,212 36	0,212 36	2,84		0	0	0,212 36	0,212 36	-		939	440.3 12	0,212 36	0,212 36	2,30
	I		-4.302	200.5 25	0,353 93	0,353 93	6,17		6.601	442.2 67	0,353 93	0,353 93	16,7 9		0	0	0,353 93	0,353 93	-
P	S	00017	5.083	276.1 66	0,212 36	0,212 36	1,40	00018	0	0	0,212 36	0,212 36	-	00019	0	0	0,212 36	0,212 36	-
	I		2.832	65.92 6	1,061 80	1,061 80	1,55		1.769	587.9 94	1,061 80	1,061 80	1,84		7	553.2 90	1,061 80	1,061 80	1,82
S	S		0	0	0,212 36	0,212 36	-		1.003	439.7 57	0,212 36	0,212 36	2,30		-26	24.59 7	0,212 36	0,212 36	3,87
	I		9.637	497.0 62	0,353 93	0,353 93	27,6 4		0	0	0,353 93	0,353 93	-		0	0	0,353 93	0,353 93	-
P	S	00020	0	0	0,212 36	0,212 36	-	00021	-3.909	6.056	0,212 36	0,212 36	1,52	00022	-157	33.31 9	0,212 36	0,212 36	1,51
	I		1.119	507.7 76	1,061 80	1,061 80	1,79		1.172	330.3 48	1,061 80	1,061 80	1,68		157	83.47 1	1,061 80	1,061 80	1,56
S	S		158	30.97 5	0,212 36	0,212 36	3,83		0	0	0,212 36	0,212 36	-		0	0	0,212 36	0,212 36	-
	I		-411	131.5 21	0,353 93	0,353 93	5,21		-2.337	306.5 08	0,353 93	0,353 93	8,54		2.846	495.8 25	0,353 93	0,353 93	27,33
P	S	00023	386	36.44 7	0,212 36	0,212 36	1,50	00024	-200	33.32 6	0,212 36	0,212 36	1,51	00025	-3.913	5.830	0,212 36	0,212 36	1,52
	I		0	0	1,061 80	1,061 80	-		200	83.72 6	1,061 80	1,061 80	1,56		1.174	331.0 46	1,061 80	1,061 80	1,68
S	S		0	0	0,212 36	0,212 36	-		0	0	0,212 36	0,212 36	-		0	0	0,212 36	0,212 36	-
	I		3.275	573.4 04	0,353 93	0,353 93	NS		2.829	494.3 69	0,353 93	0,353 93	26,8 8		-2.372	308.1 97	0,353 93	0,353 93	8,59
P	S	00026	0	0	0,212 36	0,212 36	-	00027	0	0	0,212 36	0,212 36	-	00028	0	0	0,212 36	0,212 36	-
	I		1.114	507.6 27	1,061 80	1,061 80	1,79		-11	553.0 95	1,061 80	1,061 80	1,82		1.604	546.9 62	1,061 80	1,061 80	1,81
S	S		191	31.12 0	0,212 36	0,212 36	3,83		-32	24.98 0	0,212 36	0,212 36	3,87		569	57.44 0	0,212 36	0,212 36	3,67
	I		-388	131.5 94	0,353 93	0,353 93	5,22		0	0	0,353 93	0,353 93	-		-284	99.12 3	0,353 93	0,353 93	4,86
P	S	00029	0	0	0,212 36	0,212 36	-	00030	-230	35.40 2	0,212 36	0,212 36	1,50	00031	112	11.06 7	0,212 36	0,212 36	1,52
	I		4.093	369.1 27	1,061 80	1,061 80	1,70		1.655	88.95 3	1,061 80	1,061 80	1,56		0	0	1,061 80	1,061 80	-
S	S		0	0	0,212 36	0,212 36	-		0	0	0,212 36	0,212 36	-		0	0	0,212 36	0,212 36	-
	I		-1.400	279.1 40	0,353 93	0,353 93	7,76		5.803	514.7 25	0,353 93	0,353 93	35,0 1		7.291	580.4 48	0,353 93	0,353 93	NS
P	S	00032	-448	16.31 9	0,212 36	0,212 36	1,51	00033	0	0	0,212 36	0,212 36	-	00034	0	0	0,212 36	0,212 36	-



Relazione preliminare sulle strutture

Platee - Verifiche pressoflessione retta allo SLU

Dir	Pos	Nodo	N _{Ed}	M _{Ed}	A _s	A _{df}	CS	Nodo	N _{Ed}	M _{Ed}	A _s	A _{df}	CS	Nodo	N _{Ed}	M _{Ed}	A _s	A _{df}	CS
			[N]	[N-m]	[cm ² /cm]	[cm ² /cm]			[N]	[N-m]	[cm ² /cm]	[cm ² /cm]			[N]	[N-m]	[cm ² /cm]	[cm ² /cm]	
	I		2.086	124.8 41	1,061 80	1,061 80	1,58		4.383	370.3 86	1,061 80	1,061 80	1,71		1.556	549.6 55	1,061 80	1,061 80	1,81
S	S		0	0	0,212 36	0,212 36	-		0	0	0,212 36	0,212 36	-		363	55.19 7	0,212 36	0,212 36	3,68
	I		5.975	515.4 09	0,353 93	0,353 93	35,3 7		-1.431	278.3 62	0,353 93	0,353 93	7,74		-182	93.28 0	0,353 93	0,353 93	4,81
P	S	00035	0	0	0,212 36	0,212 36	-	00036	0	0	0,212 36	0,212 36	-	00037	0	0	0,212 36	0,212 36	-
	I		2.648	627.4 84	1,061 80	1,061 80	1,86		9.430	696.0 60	1,061 80	1,061 80	1,91		12.11 6	717.5 20	1,061 80	1,061 80	1,92
S	S		1.225	23.40 8	0,212 36	0,212 36	3,88		1.663	55.69 0	0,212 36	0,212 36	3,68		8.089	15.81 4	0,212 36	0,212 36	3,91
	I		-367	181.7 53	0,353 93	0,353 93	5,87		-831	204.7 07	0,353 93	0,353 93	6,23		-846	252.2 52	0,353 93	0,353 93	7,13
P	S	00038	0	0	0,212 36	0,212 36	-	00039	0	0	0,212 36	0,212 36	-	00040	0	0	0,212 36	0,212 36	-
	I		15.26 2	734.2 89	1,061 80	1,061 80	1,93		14.47 3	694.4 78	1,061 80	1,061 80	1,91		12.55 7	599.6 75	1,061 80	1,061 80	1,84
S	S		10.11 8	12.90 5	0,212 36	0,212 36	3,93		0	0	0,212 36	0,212 36	-		0	0	0,212 36	0,212 36	-
	I		-1.901	256.0 81	0,353 93	0,353 93	7,22		-2.307	314.6 29	0,353 93	0,353 93	8,80		-2.179	310.3 88	0,353 93	0,353 93	8,66
P	S	00041	0	0	0,212 36	0,212 36	-	00042	0	0	0,212 36	0,212 36	-	00043	0	0	0,212 36	0,212 36	-
	I		7.009	545.1 71	1,061 80	1,061 80	1,81		6.237	401.7 54	1,061 80	1,061 80	1,72		8.863	373.2 69	1,061 80	1,061 80	1,71
S	S		0	0	0,212 36	0,212 36	-		0	0	0,212 36	0,212 36	-		0	0	0,212 36	0,212 36	-
	I		-1.471	290.4 35	0,353 93	0,353 93	8,07		-1.841	423.1 16	0,353 93	0,353 93	14,8 2		-3.153	496.2 65	0,353 93	0,353 93	27,55
P	S	00044	0	0	0,212 36	0,212 36	-	00045	0	0	0,212 36	0,212 36	-	00046	10.16 8	4.803	0,212 36	0,212 36	1,51
	I		10.06 5	379.4 81	1,061 80	1,061 80	1,71		9.863	397.4 87	1,061 80	1,061 80	1,72		9.826	320.4 81	1,061 80	1,061 80	1,68
S	S		0	0	0,212 36	0,212 36	-		0	0	0,212 36	0,212 36	-		0	0	0,212 36	0,212 36	-
	I		9.426	512.0 53	0,353 93	0,353 93	33,6 1		13.14 2	618.5 99	0,353 93	0,353 93	63,0 2		12.45 8	658.9 75	0,353 93	0,353 93	30,15
P	S	00047	8.480	9.189	0,212 36	0,212 36	1,51	00048	465	25.46 0	0,212 36	0,212 36	1,51	00049	-144	20.31 9	0,212 36	0,212 36	1,51
	I		8.306	325.0 21	1,061 80	1,061 80	1,68		2.478	186.4 39	1,061 80	1,061 80	1,61		1.214	119.2 54	1,061 80	1,061 80	1,58
S	S		0	0	0,212 36	0,212 36	-		0	0	0,212 36	0,212 36	-		0	0	0,212 36	0,212 36	-
	I		11.35 7	619.2 49	0,353 93	0,353 93	61,9 8		8.118	594.9 50	0,353 93	0,353 93	NS		7.882	699.4 04	0,353 93	0,353 93	19,84
P	S	00050	441	40.37 9	0,212 36	0,212 36	1,50	00051	113	11.72 2	0,212 36	0,212 36	1,52	00052	1.416	43.13 7	0,212 36	0,212 36	1,50
	I		-441	48.39 9	1,061 80	1,061 80	1,54		2.138	95.80 3	1,061 80	1,061 80	1,56		-1.416	45.24 0	1,061 80	1,061 80	1,54
S	S		0	0	0,212 36	0,212 36	-		0	0	0,212 36	0,212 36	-		0	0	0,212 36	0,212 36	-
	I		15.13 3	849.9 60	0,353 93	0,353 93	8,68		18.33 2	862.7 97	0,353 93	0,353 93	8,28		35.15 6	933.2 47	0,353 93	0,353 93	6,57



Relazione preliminare sulle strutture

Platee - Verifiche pressoflessione retta allo SLU

Dir	Pos	Nodo	N _{Ed}	M _{Ed}	A _s	A _{df}	CS	Nodo	N _{Ed}	M _{Ed}	A _s	A _{df}	CS	Nodo	N _{Ed}	M _{Ed}	A _s	A _{df}	CS
			[N]	[N-m]	[cm ² /cm]	[cm ² /cm]			[N]	[N-m]	[cm ² /cm]	[cm ² /cm]			[N]	[N-m]	[cm ² /cm]	[cm ² /cm]	
P	S	00053	473	17.87 6	0,212 36	0,212 36	1,51	00054	1.135	53.31 2	0,212 36	0,212 36	1,50	00055	-2.496	35.95 8	0,212 36	0,212 36	1,51
	I		2.697	89.89 8	1,061 80	1,061 80	1,56		-1.135	37.66 4	1,061 80	1,061 80	1,54		-1.329	4.646	1,061 80	1,061 80	1,52
S	S		0	0	0,212 36	0,212 36	-		0	0	0,212 36	0,212 36	-		0	0	0,212 36	0,212 36	-
	I		19.72 5	885.4 26	0,353 93	0,353 93	7,65		17.70 4	883.3 28	0,353 93	0,353 93	7,71		10.10 7	801.9 06	0,353 93	0,353 93	10,60
P	S	00056	-2.362	35.76 5	0,212 36	0,212 36	1,51	00057	1.115	53.64 6	0,212 36	0,212 36	1,50	00058	486	18.19 5	0,212 36	0,212 36	1,51
	I		-1.264	4.340	1,061 80	1,061 80	1,52		-1.115	36.84 9	1,061 80	1,061 80	1,54		2.560	90.62 8	1,061 80	1,061 80	1,56
S	S		0	0	0,212 36	0,212 36	-		0	0	0,212 36	0,212 36	-		0	0	0,212 36	0,212 36	-
	I		10.07 5	801.3 14	0,353 93	0,353 93	10,6 3		17.75 2	885.0 42	0,353 93	0,353 93	7,67		19.71 9	884.8 27	0,353 93	0,353 93	7,67
P	S	00059	1.348	42.54 7	0,212 36	0,212 36	1,50	00060	118	11.86 3	0,212 36	0,212 36	1,52	00061	342	40.18 9	0,212 36	0,212 36	1,50
	I		-1.348	44.75 9	1,061 80	1,061 80	1,54		2.128	97.41 4	1,061 80	1,061 80	1,56		-342	48.05 5	1,061 80	1,061 80	1,54
S	S		0	0	0,212 36	0,212 36	-		0	0	0,212 36	0,212 36	-		0	0	0,212 36	0,212 36	-
	I		35.16 9	933.2 12	0,353 93	0,353 93	6,57		18.19 6	861.7 66	0,353 93	0,353 93	8,31		15.23 7	849.5 47	0,353 93	0,353 93	8,70
P	S	00062	-347	23.07 3	0,212 36	0,212 36	1,51	00063	753	22.54 4	0,212 36	0,212 36	1,51	00064	8.266	5.715	0,212 36	0,212 36	1,52
	I		1.382	118.5 10	1,061 80	1,061 80	1,57		1.939	202.1 42	1,061 80	1,061 80	1,62		8.041	343.7 18	1,061 80	1,061 80	1,69
S	S		0	0	0,212 36	0,212 36	-		0	0	0,212 36	0,212 36	-		0	0	0,212 36	0,212 36	-
	I		8.058	693.1 69	0,353 93	0,353 93	20,9 5		9.314	587.4 83	0,353 93	0,353 93	NS		11.42 2	625.1 00	0,353 93	0,353 93	53,64
P	S	00065	10.15 7	381	0,212 36	0,212 36	1,52	00066	0	0	0,212 36	0,212 36	-	00067	0	0	0,212 36	0,212 36	-
	I		9.829	336.0 43	1,061 80	1,061 80	1,68		10.01 8	393.9 51	1,061 80	1,061 80	1,72		9.948	392.3 23	1,061 80	1,061 80	1,72
S	S		0	0	0,212 36	0,212 36	-		0	0	0,212 36	0,212 36	-		0	0	0,212 36	0,212 36	-
	I		12.48 4	659.0 22	0,353 93	0,353 93	30,1 3		13.36 0	618.5 93	0,353 93	0,353 93	63,0 3		9.000	535.3 25	0,353 93	0,353 93	50,53
P	S	00068	0	0	0,212 36	0,212 36	-	00069	0	0	0,212 36	0,212 36	-	00070	0	0	0,212 36	0,212 36	-
	I		8.189	424.0 12	1,061 80	1,061 80	1,73		6.568	371.1 12	1,061 80	1,061 80	1,70		7.006	542.5 73	1,061 80	1,061 80	1,81
S	S		0	0	0,212 36	0,212 36	-		0	0	0,212 36	0,212 36	-		0	0	0,212 36	0,212 36	-
	I		-3.366	496.3 79	0,353 93	0,353 93	27,5 9		-2.031	416.6 19	0,353 93	0,353 93	14,2 4		-1.480	292.1 07	0,353 93	0,353 93	8,11
P	S	00071	0	0	0,212 36	0,212 36	-	00072	0	0	0,212 36	0,212 36	-	00073	0	0	0,212 36	0,212 36	-
	I		12.55 0	599.2 88	1,061 80	1,061 80	1,84		14.46 5	691.7 68	1,061 80	1,061 80	1,90		15.24 3	735.1 92	1,061 80	1,061 80	1,93
S	S		0	0	0,212 36	0,212 36	-		0	0	0,212 36	0,212 36	-		10.14 2	13.16 1	0,212 36	0,212 36	3,93



Relazione preliminare sulle strutture

Platee - Verifiche pressoflessione retta allo SLU

Dir	Pos	Nodo	N _{Ed}	M _{Ed}	A _s	A _{df}	CS	Nodo	N _{Ed}	M _{Ed}	A _s	A _{df}	CS	Nodo	N _{Ed}	M _{Ed}	A _s	A _{df}	CS
			[N]	[N-m]	[cm ² /cm]	[cm ² /cm]			[N]	[N-m]	[cm ² /cm]	[cm ² /cm]			[N]	[N-m]	[cm ² /cm]	[cm ² /cm]	
	I		-2.183	310.5 59	0,353 93	0,353 93	8,67		-2.282	315.8 67	0,353 93	0,353 93	8,84		-1.884	255.9 91	0,353 93	0,353 93	7,21
P	S	00074	0	0	0,212 36	0,212 36	-	00075	0	0	0,212 36	0,212 36	-	00076	0	0	0,212 36	0,212 36	-
	I		12.13 7	715.9 68	1,061 80	1,061 80	1,92		9.553	696.8 84	1,061 80	1,061 80	1,91		2.595	626.2 50	1,061 80	1,061 80	1,86
S	S		8.155	15.50 8	0,212 36	0,212 36	3,92		1.643	54.90 6	0,212 36	0,212 36	3,68		1.204	26.70 4	0,212 36	0,212 36	3,86
	I		-858	252.4 37	0,353 93	0,353 93	7,13		-821	206.4 37	0,353 93	0,353 93	6,26		-361	186.6 37	0,353 93	0,353 93	5,94
P	S	00077	0	0	0,212 36	0,212 36	-	00078	0	0	0,212 36	0,212 36	-	00079	0	0	0,212 36	0,212 36	-
	I		4.668	761.6 87	1,061 80	1,061 80	1,96		5.961	789.5 15	1,061 80	1,061 80	1,98		5.428	877.1 66	1,061 80	1,061 80	2,05
S	S		409	44.21 7	0,212 36	0,212 36	3,75		387	14.80 0	0,212 36	0,212 36	3,93		869	56.81 7	0,212 36	0,212 36	3,67
	I		-204	48.37 4	0,353 93	0,353 93	4,40		-194	73.08 7	0,353 93	0,353 93	4,61		-434	65.14 4	0,353 93	0,353 93	4,54
P	S	00080	0	0	0,212 36	0,212 36	-	00081	0	0	0,212 36	0,212 36	-	00082	0	0	0,212 36	0,212 36	-
	I		3.999	856.6 99	1,061 80	1,061 80	2,03		3.111	872.8 82	1,061 80	1,061 80	2,05		741	788.2 38	1,061 80	1,061 80	1,98
S	S		828	31.29 1	0,212 36	0,212 36	3,83		-974	81.47 6	0,212 36	0,212 36	3,54		286	36.06 8	0,212 36	0,212 36	3,80
	I		-414	67.60 3	0,353 93	0,353 93	4,57		-852	38.26 6	0,353 93	0,353 93	4,32		1.296	17.66 3	0,353 93	0,353 93	4,16
P	S	00083	0	0	0,212 36	0,212 36	-	00084	0	0	0,212 36	0,212 36	-	00085	0	0	0,212 36	0,212 36	-
	I		31	701.6 85	1,061 80	1,061 80	1,92		-167	694.1 82	1,061 80	1,061 80	1,91		399	780.8 47	1,061 80	1,061 80	1,98
S	S		-137	44.52 3	0,212 36	0,212 36	3,75		911	13.55 9	0,212 36	0,212 36	3,94		713	41.04 3	0,212 36	0,212 36	3,77
	I		492	29.25 3	0,353 93	0,353 93	4,25		404	24.21 3	0,353 93	0,353 93	4,21		702	79.35 8	0,353 93	0,353 93	4,67
P	S	00086	0	0	0,212 36	0,212 36	-	00087	0	0	0,212 36	0,212 36	-	00088	0	0	0,212 36	0,212 36	-
	I		1.240	831.6 45	1,061 80	1,061 80	2,01		2.334	829.1 15	1,061 80	1,061 80	2,01		2.643	825.0 09	1,061 80	1,061 80	2,01
S	S		-1.793	30.85 0	0,212 36	0,212 36	3,83		1.227	32.19 7	0,212 36	0,212 36	3,82		-2.123	28.20 4	0,212 36	0,212 36	3,85
	I		-567	47.47 8	0,353 93	0,353 93	4,39		63	103.0 44	0,353 93	0,353 93	4,90		-1.819	68.28 5	0,353 93	0,353 93	4,58
P	S	00089	0	0	0,212 36	0,212 36	-	00090	0	0	0,212 36	0,212 36	-	00091	0	0	0,212 36	0,212 36	-
	I		2.710	742.3 74	1,061 80	1,061 80	1,95		1.650	683.5 33	1,061 80	1,061 80	1,90		1.710	581.9 18	1,061 80	1,061 80	1,83
S	S		1.080	32.30 1	0,212 36	0,212 36	3,82		-435	26.85 8	0,212 36	0,212 36	3,86		404	16.55 9	0,212 36	0,212 36	3,92
	I		-476	79.31 8	0,353 93	0,353 93	4,67		-582	134.7 26	0,353 93	0,353 93	5,25		-235	236.4 61	0,353 93	0,353 93	6,80
P	S	00092	0	0	0,212 36	0,212 36	-	00093	0	0	0,212 36	0,212 36	-	00094	0	0	0,212 36	0,212 36	-
	I		2.482	611.5 39	1,061 80	1,061 80	1,85		4.312	664.8 97	1,061 80	1,061 80	1,89		4.487	604.3 25	1,061 80	1,061 80	1,85



Relazione preliminare sulle strutture

Platee - Verifiche pressoflessione retta allo SLU

Dir	Pos	Nodo	N _{Ed}	M _{Ed}	A _s	A _{df}	CS	Nodo	N _{Ed}	M _{Ed}	A _s	A _{df}	CS	Nodo	N _{Ed}	M _{Ed}	A _s	A _{df}	CS
			[N]	[N-m]	[cm ² /cm]	[cm ² /cm]			[N]	[N-m]	[cm ² /cm]	[cm ² /cm]			[N]	[N-m]	[cm ² /cm]	[cm ² /cm]	
S	S		785	9.955	0,212 36	0,212 36	3,97		-898	23.52 5	0,212 36	0,212 36	3,88		0	0	0,212 36	0,212 36	-
	I		-534	273.4 93	0,353 93	0,353 93	7,62		-3.102	288.8 16	0,353 93	0,353 93	8,03		-3.386	339.9 25	0,353 93	0,353 93	9,73
P	S	00095	0	0	0,212 36	0,212 36	-	00096	- 10.20 1	4.206	0,212 36	0,212 36	1,52	00097	0	0	0,212 36	0,212 36	-
	I		4.440	577.2 19	1,061 80	1,061 80	1,83		3.060	515.9 74	1,061 80	1,061 80	1,79		2.332	474.6 99	1,061 80	1,061 80	1,77
S	S		0	0	0,212 36	0,212 36	-		0	0	0,212 36	0,212 36	-		0	0	0,212 36	0,212 36	-
	I		-4.325	324.5 11	0,353 93	0,353 93	9,15		-4.476	350.0 53	0,353 93	0,353 93	10,1 6		-2.758	296.9 30	0,353 93	0,353 93	8,25
P	S	00098	-3.985	12.10 8	0,212 36	0,212 36	1,52	00099	-8.135	6.235	0,212 36	0,212 36	1,52	00100	- 11.27 7	30.22 8	0,212 36	0,212 36	1,51
	I		1.195	294.2 32	1,061 80	1,061 80	1,66		2.440	332.1 00	1,061 80	1,061 80	1,68		3.382	299.4 06	1,061 80	1,061 80	1,67
S	S		0	0	0,212 36	0,212 36	-		0	0	0,212 36	0,212 36	-		0	0	0,212 36	0,212 36	-
	I		-3.274	452.3 40	0,353 93	0,353 93	18,1 9		-7.385	477.8 20	0,353 93	0,353 93	22,7 0		5.010	554.4 85	0,353 93	0,353 93	86,45
P	S	00101	- 10.29 8	24.76 2	0,212 36	0,212 36	1,51	00102	-8.798	38.21 6	0,212 36	0,212 36	1,51	00103	-6.642	22.64 3	0,212 36	0,212 36	1,51
	I		3.089	284.7 86	1,061 80	1,061 80	1,66		4.398	255.7 80	1,061 80	1,061 80	1,64		1.992	211.5 47	1,061 80	1,061 80	1,62
S	S		0	0	0,212 36	0,212 36	-		0	0	0,212 36	0,212 36	-		0	0	0,212 36	0,212 36	-
	I		6.436	585.7 76	0,353 93	0,353 93	NS		6.690	619.0 02	0,353 93	0,353 93	62,5 0		5.586	599.8 07	0,353 93	0,353 93	NS
P	S	00104	-1.524	24.05 5	0,212 36	0,212 36	1,51	00105	-523	22.99 6	0,212 36	0,212 36	1,51	00106	-512	17.97 0	0,212 36	0,212 36	1,51
	I		457	177.5 74	1,061 80	1,061 80	1,60		613	67.93 8	1,061 80	1,061 80	1,55		512	49.63 5	1,061 80	1,061 80	1,54
S	S		0	0	0,212 36	0,212 36	-		0	0	0,212 36	0,212 36	-		0	0	0,212 36	0,212 36	-
	I		4.051	560.2 61	0,353 93	0,353 93	NS		3.862	678.8 67	0,353 93	0,353 93	24,0 7		8.112	771.9 59	0,353 93	0,353 93	12,28
P	S	00107	1.399	15.37 8	0,212 36	0,212 36	1,51	00108	686	43.58 5	0,212 36	0,212 36	1,50	00109	897	28.36 0	0,212 36	0,212 36	1,51
	I		2.210	77.30 6	1,061 80	1,061 80	1,56		-686	54.36 2	1,061 80	1,061 80	1,55		-897	34.08 4	1,061 80	1,061 80	1,54
S	S		0	0	0,212 36	0,212 36	-		0	0	0,212 36	0,212 36	-		0	0	0,212 36	0,212 36	-
	I		9.602	814.7 52	0,353 93	0,353 93	10,0 2		10.15 6	834.2 98	0,353 93	0,353 93	9,24		9.440	839.7 28	0,353 93	0,353 93	9,05
P	S	00110	1.003	41.34 1	0,212 36	0,212 36	1,50	00111	202	17.61 4	0,212 36	0,212 36	1,51	00112	259	18.68 9	0,212 36	0,212 36	1,51
	I		-1.003	51.79 2	1,061 80	1,061 80	1,54		-202	16.56 6	1,061 80	1,061 80	1,53		-259	16.16 6	1,061 80	1,061 80	1,53
S	S		0	0	0,212 36	0,212 36	-		0	0	0,212 36	0,212 36	-		0	0	0,212 36	0,212 36	-
	I		8.517	796.7 95	0,353 93	0,353 93	10,8 6		4.806	740.7 72	0,353 93	0,353 93	14,7 1		4.813	742.7 42	0,353 93	0,353 93	14,53



Relazione preliminare sulle strutture

Platee - Verifiche pressoflessione retta allo SLU

Dir	Pos	Nodo	N _{Ed}	M _{Ed}	A _s	A _{df}	CS	Nodo	N _{Ed}	M _{Ed}	A _s	A _{df}	CS	Nodo	N _{Ed}	M _{Ed}	A _s	A _{df}	CS
			[N]	[N-m]	[cm ² /cm]	[cm ² /cm]			[N]	[N-m]	[cm ² /cm]	[cm ² /cm]			[N]	[N-m]	[cm ² /cm]	[cm ² /cm]	
P	S	00113	980	41.08 0	0,212 36	0,212 36	1,50	00114	934	29.22 8	0,212 36	0,212 36	1,51	00115	728	33.91 4	0,212 36	0,212 36	1,51
	I		-980	52.55 7	1,061 80	1,061 80	1,54		-934	32.04 6	1,061 80	1,061 80	1,54		-728	65.33 6	1,061 80	1,061 80	1,55
S	S		0	0	0,212 36	0,212 36	-		0	0	0,212 36	0,212 36	-		0	0	0,212 36	0,212 36	-
	I	8.436	795.4 02	0,353 93	0,353 93	10,9 3		9.387	842.2 14	0,353 93	0,353 93	8,96		10.37 8	839.4 28	0,353 93	0,353 93	9,06	
P	S	00116	465	34.74 8	0,212 36	0,212 36	1,50	00117	-785	9.582	0,212 36	0,212 36	1,52	00118	-378	22.06 3	0,212 36	0,212 36	1,51
	I		-465	53.40 3	1,061 80	1,061 80	1,54		255	45.31 3	1,061 80	1,061 80	1,54		717	69.93 1	1,061 80	1,061 80	1,55
S	S		0	0	0,212 36	0,212 36	-		0	0	0,212 36	0,212 36	-		0	0	0,212 36	0,212 36	-
	I	8.314	815.7 64	0,353 93	0,353 93	9,98		8.207	770.8 84	0,353 93	0,353 93	12,3 5		3.776	679.2 80	0,353 93	0,353 93	23,97	
P	S	00119	-1.527	23.73 9	0,212 36	0,212 36	1,51	00120	-6.645	22.51 6	0,212 36	0,212 36	1,51	00121	-8.711	38.57 9	0,212 36	0,212 36	1,51
	I		458	178.1 81	1,061 80	1,061 80	1,60		1.993	209.5 84	1,061 80	1,061 80	1,62		4.354	256.7 50	1,061 80	1,061 80	1,64
S	S		0	0	0,212 36	0,212 36	-		0	0	0,212 36	0,212 36	-		0	0	0,212 36	0,212 36	-
	I	4.013	558.9 69	0,353 93	0,353 93	NS		5.581	600.8 48	0,353 93	0,353 93	NS		6.657	618.0 82	0,353 93	0,353 93	64,07	
P	S	00122	-10.42 7	25.36 6	0,212 36	0,212 36	1,51	00123	-10.33 6	26.96 9	0,212 36	0,212 36	1,51	00124	-7.132	11.66 8	0,212 36	0,212 36	1,52
	I		3.127	279.8 43	1,061 80	1,061 80	1,66		3.100	318.7 46	1,061 80	1,061 80	1,68		2.139	304.2 79	1,061 80	1,061 80	1,67
S	S		0	0	0,212 36	0,212 36	-		0	0	0,212 36	0,212 36	-		0	0	0,212 36	0,212 36	-
	I	6.517	588.6 61	0,353 93	0,353 93	NS		4.825	551.5 80	0,353 93	0,353 93	78,0 8		-7.398	486.5 90	0,353 93	0,353 93	24,79	
P	S	00125	-4.362	12.29 9	0,212 36	0,212 36	1,52	00126	0	0	0,212 36	0,212 36	-	00127	-10.15 7	3.947	0,212 36	0,212 36	1,52
	I		1.308	286.3 99	1,061 80	1,061 80	1,66		2.277	475.9 42	1,061 80	1,061 80	1,77		3.046	516.5 89	1,061 80	1,061 80	1,79
S	S		0	0	0,212 36	0,212 36	-		0	0	0,212 36	0,212 36	-		0	0	0,212 36	0,212 36	-
	I	-3.358	453.7 52	0,353 93	0,353 93	18,3 9		-2.695	298.0 39	0,353 93	0,353 93	8,29		-4.469	349.6 77	0,353 93	0,353 93	10,14	
P	S	00128	0	0	0,212 36	0,212 36	-	00129	0	0	0,212 36	0,212 36	-	00130	0	0	0,212 36	0,212 36	-
	I		4.451	577.0 51	1,061 80	1,061 80	1,83		4.492	605.7 28	1,061 80	1,061 80	1,85		4.322	664.4 31	1,061 80	1,061 80	1,89
S	S		0	0	0,212 36	0,212 36	-		0	0	0,212 36	0,212 36	-		-937	23.17 6	0,212 36	0,212 36	3,88
	I	-4.332	324.8 55	0,353 93	0,353 93	9,16		-3.391	339.7 50	0,353 93	0,353 93	9,72		-3.165	288.7 06	0,353 93	0,353 93	8,02	
P	S	00131	0	0	0,212 36	0,212 36	-	00132	0	0	0,212 36	0,212 36	-	00133	0	0	0,212 36	0,212 36	-
	I		2.463	611.5 92	1,061 80	1,061 80	1,85		1.710	582.8 14	1,061 80	1,061 80	1,84		1.673	683.2 45	1,061 80	1,061 80	1,90



Relazione preliminare sulle strutture

Platee - Verifiche pressoflessione retta allo SLU

Dir	Pos	Nodo	N _{Ed}	M _{Ed}	A _s	A _{df}	CS	Nodo	N _{Ed}	M _{Ed}	A _s	A _{df}	CS	Nodo	N _{Ed}	M _{Ed}	A _s	A _{df}	CS
			[N]	[N-m]	[cm ² /cm]	[cm ² /cm]			[N]	[N-m]	[cm ² /cm]	[cm ² /cm]			[N]	[N-m]	[cm ² /cm]	[cm ² /cm]	
S	S		816	9.972	0,212 36	0,212 36	3,97		336	16.90 8	0,212 36	0,212 36	3,92		-428	27.04 5	0,212 36	0,212 36	3,86
	I		-514	274.2 79	0,353 93	0,353 93	7,64		-271	236.6 76	0,353 93	0,353 93	6,80		-566	134.0 95	0,353 93	0,353 93	5,24
P	S	00134	0	0	0,212 36	0,212 36	-	00135	0	0	0,212 36	0,212 36	-	00136	0	0	0,212 36	0,212 36	-
	I		2.710	741.5 85	1,061 80	1,061 80	1,94		2.648	824.7 18	1,061 80	1,061 80	2,01		2.333	829.7 98	1,061 80	1,061 80	2,01
S	S		1.042	31.86 8	0,212 36	0,212 36	3,82		-2.228	27.68 6	0,212 36	0,212 36	3,86		1.279	32.39 1	0,212 36	0,212 36	3,82
	I		-486	79.10 7	0,353 93	0,353 93	4,67		-1.878	68.82 0	0,353 93	0,353 93	4,58		79	102.3 57	0,353 93	0,353 93	4,90
P	S	00137	0	0	0,212 36	0,212 36	-	00138	0	0	0,212 36	0,212 36	-	00139	0	0	0,212 36	0,212 36	-
	I		1.228	831.3 65	1,061 80	1,061 80	2,01		391	781.4 27	1,061 80	1,061 80	1,98		-142	694.9 42	1,061 80	1,061 80	1,91
S	S		-1.872	30.39 5	0,212 36	0,212 36	3,84		710	41.09 6	0,212 36	0,212 36	3,77		853	13.63 2	0,212 36	0,212 36	3,94
	I		-610	48.03 1	0,353 93	0,353 93	4,40		710	79.08 9	0,353 93	0,353 93	4,67		378	24.54 8	0,353 93	0,353 93	4,21
P	S	00140	0	0	0,212 36	0,212 36	-	00141	0	0	0,212 36	0,212 36	-	00142	0	0	0,212 36	0,212 36	-
	I		7	701.2 70	1,061 80	1,061 80	1,92		733	788.6 29	1,061 80	1,061 80	1,98		3.066	875.7 92	1,061 80	1,061 80	2,05
S	S		-176	45.49 2	0,212 36	0,212 36	3,74		263	35.32 7	0,212 36	0,212 36	3,80		-971	79.41 1	0,212 36	0,212 36	3,55
	I		462	29.28 0	0,353 93	0,353 93	4,25		-132	18.45 3	0,353 93	0,353 93	4,17		-822	37.49 5	0,353 93	0,353 93	4,31
P	S	00143	0	0	0,212 36	0,212 36	-	00144	0	0	0,212 36	0,212 36	-	00145	0	0	0,212 36	0,212 36	-
	I		4.070	868.3 25	1,061 80	1,061 80	2,04		5.169	847.2 79	1,061 80	1,061 80	2,02		5.508	823.2 21	1,061 80	1,061 80	2,01
S	S		877	35.55 4	0,212 36	0,212 36	3,80		599	57.55 8	0,212 36	0,212 36	3,67		652	66.09 0	0,212 36	0,212 36	3,62
	I		-438	72.37 2	0,353 93	0,353 93	4,61		-296	42.15 7	0,353 93	0,353 93	4,35		-326	82.04 3	0,353 93	0,353 93	4,70
P	S	00146	0	0	0,212 36	0,212 36	-	00147	0	0	0,212 36	0,212 36	-	00148	199	14.73 2	0,212 36	0,212 36	1,51
	I		3.445	728.5 77	1,061 80	1,061 80	1,93		5.297	431.0 70	1,061 80	1,061 80	1,74		907	127.2 85	1,061 80	1,061 80	1,58
S	S		265	20.05 6	0,212 36	0,212 36	3,90		0	0	0,212 36	0,212 36	-		0	0	0,212 36	0,212 36	-
	I		-132	79.46 3	0,353 93	0,353 93	4,67		-1.638	355.5 61	0,353 93	0,353 93	10,3 9		8.295	650.3 65	0,353 93	0,353 93	33,98
P	S	00149	-643	36.35 7	0,212 36	0,212 36	1,50	00150	271	25.29 2	0,212 36	0,212 36	1,51	00151	0	0	0,212 36	0,212 36	-
	I		0	0	1,061 80	1,061 80	-		425	113.7 24	1,061 80	1,061 80	1,57		5.192	428.3 06	1,061 80	1,061 80	1,74
S	S		0	0	0,212 36	0,212 36	-		0	0	0,212 36	0,212 36	-		0	0	0,212 36	0,212 36	-
	I		10.15 4	735.5 32	0,353 93	0,353 93	15,1 7		7.947	642.1 52	0,353 93	0,353 93	38,5 9		-1.629	355.7 91	0,353 93	0,353 93	10,40
P	S	00152	0	0	0,212 36	0,212 36	-	00153	0	0	0,212 36	0,212 36	-	00154	0	0	0,212 36	0,212 36	-



Relazione preliminare sulle strutture

Platee - Verifiche pressoflessione retta allo SLU

Dir	Pos	Nodo	N _{Ed}	M _{Ed}	A _s	A _{df}	CS	Nodo	N _{Ed}	M _{Ed}	A _s	A _{df}	CS	Nodo	N _{Ed}	M _{Ed}	A _s	A _{df}	CS
			[N]	[N-m]	[cm ² /cm]	[cm ² /cm]			[N]	[N-m]	[cm ² /cm]	[cm ² /cm]			[N]	[N-m]	[cm ² /cm]	[cm ² /cm]	
	I		3.978	684.971	1,06180	1,06180	1,90		154	677.761	1,06180	1,06180	1,90		1.899	628.309	1,06180	1,06180	1,87
S	S		445	59.920	0,21236	0,21236	3,66		12	22.396	0,21236	0,21236	3,88		-208	26.861	0,21236	0,21236	3,86
	I		-222	127.361	0,35393	0,35393	5,17		-2.628	467	0,35393	0,35393	4,04		-341	156.202	0,35393	0,35393	5,52
P	S	00155	-7.589	19.483	0,21236	0,21236	1,51	00156	-26	22.351	0,21236	0,21236	1,51	00157	1.844	1.484	0,21236	0,21236	1,52
	I		2.276	378.714	1,06180	1,06180	1,71		262	108.230	1,06180	1,06180	1,57		1.549	8.202	1,06180	1,06180	1,52
S	S		0	0	0,21236	0,21236	-		0	0	0,21236	0,21236	-		0	0	0,21236	0,21236	-
	I		-4.298	366.435	0,35393	0,35393	10,93		4.135	598.336	0,35393	0,35393	NS		6.035	725.415	0,35393	0,35393	16,27
P	S	00158	-32	21.318	0,21236	0,21236	1,51	00159	-7.480	19.297	0,21236	0,21236	1,51	00160	0	0	0,21236	0,21236	-
	I		264	107.291	1,06180	1,06180	1,57		2.244	379.298	1,06180	1,06180	1,71		1.891	627.885	1,06180	1,06180	1,87
S	S		0	0	0,21236	0,21236	-		0	0	0,21236	0,21236	-		-181	26.574	0,21236	0,21236	3,86
	I		4.102	600.302	0,35393	0,35393	NS		-4.275	365.595	0,35393	0,35393	10,89		-316	156.211	0,35393	0,35393	5,52
P	S	00161	0	0	0,21236	0,21236	-	00162	0	0	0,21236	0,21236	-	00163	0	0	0,21236	0,21236	-
	I		152	677.759	1,06180	1,06180	1,90		4.017	675.323	1,06180	1,06180	1,90		3.673	909.918	1,06180	1,06180	2,08
S	S		10	22.055	0,21236	0,21236	3,89		375	53.880	0,21236	0,21236	3,69		-975	87.077	0,21236	0,21236	3,51
	I		-2.637	536	0,35393	0,35393	4,04		-188	117.340	0,35393	0,35393	5,05		-1.149	44.908	0,35393	0,35393	4,37
P	S	00164	0	0	0,21236	0,21236	-	00165	0	0	0,21236	0,21236	-	00166	0	0	0,21236	0,21236	-
	I		3.720	870.837	1,06180	1,06180	2,04		-164	744.487	1,06180	1,06180	1,95		1.448	803.896	1,06180	1,06180	1,99
S	S		-1.574	124.064	0,21236	0,21236	3,33		-456	60.690	0,21236	0,21236	3,65		-340	61.669	0,21236	0,21236	3,65
	I		-3.577	16.635	0,35393	0,35393	4,16		0	0	0,35393	0,35393	-		681	13.884	0,35393	0,35393	4,13
P	S	00167	0	0	0,21236	0,21236	-	00168	0	0	0,21236	0,21236	-	00169	0	0	0,21236	0,21236	-
	I		1.903	863.999	1,06180	1,06180	2,04		2.192	801.686	1,06180	1,06180	1,99		12.070	711.161	1,06180	1,06180	1,92
S	S		-596	65.350	0,21236	0,21236	3,63		2.117	44.448	0,21236	0,21236	3,74		-214	70.586	0,21236	0,21236	3,60
	I		1.192	62.116	0,35393	0,35393	4,51		864	97.877	0,35393	0,35393	4,85		107	177.721	0,35393	0,35393	5,81
P	S	00170	0	0	0,21236	0,21236	-	00171	0	0	0,21236	0,21236	-	00172	0	0	0,21236	0,21236	-
	I		3.984	777.672	1,06180	1,06180	1,97		508	912.117	1,06180	1,06180	2,08		3.352	1.001.824	1,06180	1,06180	2,16
S	S		-2.296	96.669	0,21236	0,21236	3,46		701	150.611	0,21236	0,21236	3,20		-295	178.302	0,21236	0,21236	3,09
	I		-4.937	93.374	0,35393	0,35393	4,82		1.382	57.946	0,35393	0,35393	4,48		-3.581	14.887	0,35393	0,35393	4,15



Relazione preliminare sulle strutture

Platee - Verifiche pressoflessione retta allo SLU

Dir	Pos	Nodo	N _{Ed}	M _{Ed}	A _s	A _{df}	CS	Nodo	N _{Ed}	M _{Ed}	A _s	A _{df}	CS	Nodo	N _{Ed}	M _{Ed}	A _s	A _{df}	CS
			[N]	[N-m]	[cm ² /cm]	[cm ² /cm]			[N]	[N-m]	[cm ² /cm]	[cm ² /cm]			[N]	[N-m]	[cm ² /cm]	[cm ² /cm]	
P	S	00173	0	0	0,212 36	0,212 36	-	00174	0	0	0,212 36	0,212 36	-	00175	0	0	0,212 36	0,212 36	-
	I		6.947	889.7 20	1,061 80	1,061 80	2,06		-7.019	794.5 01	1,061 80	1,061 80	1,99		2.610	944.5 83	1,061 80	1,061 80	2,11
S	S		-826	244.8 52	0,212 36	0,212 36	2,84		-802	202.0 01	0,212 36	0,212 36	3,00		-239	151.3 80	0,212 36	0,212 36	3,20
	I		-5.765	2.344	0,353 93	0,353 93	4,06		-8.503	28.23 3	0,353 93	0,353 93	4,26		478	16.01 4	0,353 93	0,353 93	4,15
P	S	00176	0	0	0,212 36	0,212 36	-	00177	0	0	0,212 36	0,212 36	-	00178	0	0	0,212 36	0,212 36	-
	I		614	907.5 20	1,061 80	1,061 80	2,08		1.708	750.8 80	1,061 80	1,061 80	1,95		3.730	646.4 85	1,061 80	1,061 80	1,88
S	S		113	110.5 81	0,212 36	0,212 36	3,39		-175	69.03 5	0,212 36	0,212 36	3,61		2.472	37.56 5	0,212 36	0,212 36	3,79
	I		-226	65.25 6	0,353 93	0,353 93	4,54		-1.905	136.6 61	0,353 93	0,353 93	5,28		1.644	213.0 21	0,353 93	0,353 93	6,36
P	S	00179	0	0	0,212 36	0,212 36	-	00180	0	0	0,212 36	0,212 36	-	00181	0	0	0,212 36	0,212 36	-
	I		11.72 4	684.4 91	1,061 80	1,061 80	1,90		12.92 0	784.4 30	1,061 80	1,061 80	1,97		17.11 1	804.6 71	1,061 80	1,061 80	1,99
S	S		9.719	4.961	0,212 36	0,212 36	3,98		1.500	49.27 8	0,212 36	0,212 36	3,72		-828	209.3 22	0,212 36	0,212 36	2,97
	I		-1.787	305.7 14	0,353 93	0,353 93	8,51		-750	228.8 31	0,353 93	0,353 93	6,65		1.659	156.8 38	0,353 93	0,353 93	5,52
P	S	00182	0	0	0,212 36	0,212 36	-	00183	0	0	0,212 36	0,212 36	-	00184	0	0	0,212 36	0,212 36	-
	I		3.984	842.0 41	1,061 80	1,061 80	2,02		-2.123	1.111. 088	1,061 80	1,061 80	2,26		2.548	1.130. 582	1,061 80	1,061 80	2,28
S	S		6.870	331.9 26	0,212 36	0,212 36	2,56		-901	178.7 19	0,212 36	0,212 36	3,09		-1.052	168.0 87	0,212 36	0,212 36	3,13
	I		12.20 0	9.837	0,353 93	0,353 93	4,08		4.025	41.10 9	0,353 93	0,353 93	4,33		5.636	5.046	0,353 93	0,353 93	4,06
P	S	00185	0	0	0,212 36	0,212 36	-	00186	0	0	0,212 36	0,212 36	-	00187	0	0	0,212 36	0,212 36	-
	I		4.842	908.6 01	1,061 80	1,061 80	2,07		2.994	1.084. 442	1,061 80	1,061 80	2,23		62	1.073. 930	1,061 80	1,061 80	2,23
S	S		-1.232	169.5 16	0,212 36	0,212 36	3,13		-629	151.5 46	0,212 36	0,212 36	3,20		-376	116.2 24	0,212 36	0,212 36	3,36
	I		0	0	0,353 93	0,353 93	-		0	0	0,353 93	0,353 93	-		752	59.04 6	0,353 93	0,353 93	4,49
P	S	00188	0	0	0,212 36	0,212 36	-	00189	0	0	0,212 36	0,212 36	-	00190	0	0	0,212 36	0,212 36	-
	I		-2.242	906.5 53	1,061 80	1,061 80	2,08		1.079	680.4 35	1,061 80	1,061 80	1,90		4.453	699.5 74	1,061 80	1,061 80	1,91
S	S		-11	178.7 24	0,212 36	0,212 36	3,09		-4.355	217.6 94	0,212 36	0,212 36	2,94		-1.400	53.56 3	0,212 36	0,212 36	3,70
	I		23	33.99 9	0,353 93	0,353 93	4,29		8.712	150.7 42	0,353 93	0,353 93	5,42		-812	273.5 02	0,353 93	0,353 93	7,62
P	S	00191	0	0	0,212 36	0,212 36	-	00192	0	0	0,212 36	0,212 36	-	00193	0	0	0,212 36	0,212 36	-
	I		3.572	618.3 30	1,061 80	1,061 80	1,86		6.681	561.2 40	1,061 80	1,061 80	1,82		3.740	755.2 28	1,061 80	1,061 80	1,95
S	S		8.846	14.01 8	0,212 36	0,212 36	3,92		0	0	0,212 36	0,212 36	-		5.944	24.85 6	0,212 36	0,212 36	3,86



Relazione preliminare sulle strutture

Platee - Verifiche pressoflessione retta allo SLU

Dir	Pos	Nodo	N _{Ed}	M _{Ed}	A _s	A _{df}	CS	Nodo	N _{Ed}	M _{Ed}	A _s	A _{df}	CS	Nodo	N _{Ed}	M _{Ed}	A _s	A _{df}	CS
			[N]	[N-m]	[cm ² /cm]	[cm ² /cm]			[N]	[N-m]	[cm ² /cm]	[cm ² /cm]			[N]	[N-m]	[cm ² /cm]	[cm ² /cm]	
	I		-4.280	333.959	0,35393	0,35393	9,49		-2.261	330.208	0,35393	0,35393	9,34		-1.015	295.333	0,35393	0,35393	8,20
P	S	00194	0	0	0,21236	0,21236	-	00195	0	0	0,21236	0,21236	-	00196	0	0	0,21236	0,21236	-
	I		5.844	918.611	1,06180	1,06180	2,08		1.724	921.906	1,06180	1,06180	2,09		-4.918	1.191.236	1,06180	1,06180	2,35
S	S		1.474	72.041	0,21236	0,21236	3,59		-31.383	100.522	0,21236	0,21236	3,49		8	115.114	0,21236	0,21236	3,37
	I		9.679	212.824	0,35393	0,35393	6,34		31.383	194.982	0,35393	0,35393	5,98		27.635	160.724	0,35393	0,35393	5,51
P	S	00197	0	0	0,21236	0,21236	-	00198	0	0	0,21236	0,21236	-	00199	0	0	0,21236	0,21236	-
	I		-890	1.325.285	1,06180	1,06180	2,50		112	1.277.110	1,06180	1,06180	2,44		-3	1.213.484	1,06180	1,06180	2,37
S	S		-27.882	121.855	0,21236	0,21236	3,38		-36.795	111.103	0,21236	0,21236	3,44		-40.550	104.159	0,21236	0,21236	3,48
	I		27.882	142.244	0,35393	0,35393	5,27		36.795	131.763	0,35393	0,35393	5,13		40.550	128.606	0,35393	0,35393	5,09
P	S	00200	0	0	0,21236	0,21236	-	00201	0	0	0,21236	0,21236	-	00202	0	0	0,21236	0,21236	-
	I		-109	1.253.326	1,06180	1,06180	2,41		-1.047	1.160.885	1,06180	1,06180	2,31		300	833.780	1,06180	1,06180	2,02
S	S		-30.969	113.892	0,21236	0,21236	3,42		-25.802	123.154	0,21236	0,21236	3,37		-35.278	105.688	0,21236	0,21236	3,47
	I		30.969	138.777	0,35393	0,35393	5,22		315	188.116	0,35393	0,35393	5,96		-2.059	274.255	0,35393	0,35393	7,64
P	S	00203	0	0	0,21236	0,21236	-	00204	-4.203	17.116	0,21236	0,21236	1,51	00205	-5.373	39.604	0,21236	0,21236	1,50
	I		2.162	810.232	1,06180	1,06180	2,00		1.261	690.353	1,06180	1,06180	1,91		1.612	507.960	1,06180	1,06180	1,79
S	S		-17.615	94.140	0,21236	0,21236	3,50		-1.196	43.314	0,21236	0,21236	3,76		0	0	0,21236	0,21236	-
	I		-324	264.011	0,35393	0,35393	7,39		-2.762	327.831	0,35393	0,35393	9,26		-3.333	361.593	0,35393	0,35393	10,68
P	S	00206	-6.396	5.737	0,21236	0,21236	1,52	00207	0	0	0,21236	0,21236	-	00208	-9.067	51.457	0,21236	0,21236	1,50
	I		1.919	435.927	1,06180	1,06180	1,74		11.636	443.813	1,06180	1,06180	1,74		-6.998	525.093	1,06180	1,06180	1,80
S	S		0	0	0,21236	0,21236	-		0	0	0,21236	0,21236	-		0	0	0,21236	0,21236	-
	I		-4.502	363.828	0,35393	0,35393	10,80		63	401.158	0,35393	0,35393	13,01		-6.064	326.226	0,35393	0,35393	9,21
P	S	00209	0	0	0,21236	0,21236	-	00210	0	0	0,21236	0,21236	-	00211	0	0	0,21236	0,21236	-
	I		-8.092	934.007	1,06180	1,06180	2,10		-4.120	1.159.392	1,06180	1,06180	2,31		-2.615	1.342.386	1,06180	1,06180	2,52
S	S		-8.979	66.500	0,21236	0,21236	3,64		-22.494	104.118	0,21236	0,21236	3,46		-30.837	129.106	0,21236	0,21236	3,35
	I		-1.434	320.874	0,35393	0,35393	9,01		22.494	341.550	0,35393	0,35393	9,68		30.837	352.719	0,35393	0,35393	10,11



Relazione preliminare sulle strutture

Platee - Verifiche pressoflessione retta allo SLU

Dir	Pos	Nodo	N _{Ed}	M _{Ed}	A _s	A _{df}	CS	Nodo	N _{Ed}	M _{Ed}	A _s	A _{df}	CS	Nodo	N _{Ed}	M _{Ed}	A _s	A _{df}	CS
			[N]	[N-m]	[cm ² /cm]	[cm ² /cm]			[N]	[N-m]	[cm ² /cm]	[cm ² /cm]			[N]	[N-m]	[cm ² /cm]	[cm ² /cm]	
P	S	00212	0	0	0,212 36	0,212 36	-	00213	0	0	0,212 36	0,212 36	-	00214	0	0	0,212 36	0,212 36	-
	I		-2.213	1.504. 982	1,061 80	1,061 80	2,74		-747	1.566. 816	1,061 80	1,061 80	2,83		-155	1.479. 717	1,061 80	1,061 80	2,70
S	S		-33.04 4	142.2 31	0,212 36	0,212 36	3,29		-38.32 4	136.6 99	0,212 36	0,212 36	3,32		-43.13 7	120.9 81	0,212 36	0,212 36	3,40
	I	33.04 4	335.4 92	0,353 93	0,353 93	9,39		38.32 4	313.2 38	0,353 93	0,353 93	8,59		43.13 7	296.1 46	0,353 93	0,353 93	8,06	
P	S	00215	0	0	0,212 36	0,212 36	-	00216	0	0	0,212 36	0,212 36	-	00217	0	0	0,212 36	0,212 36	-
	I		-279	1.477. 365	1,061 80	1,061 80	2,69		-554	1.423. 309	1,061 80	1,061 80	2,62		-712	1.238. 711	1,061 80	1,061 80	2,40
S	S		-40.75 9	128.6 95	0,212 36	0,212 36	3,36		-34.77 6	138.1 72	0,212 36	0,212 36	3,31		-31.95 0	132.4 59	0,212 36	0,212 36	3,33
	I	40.75 9	306.8 38	0,353 93	0,353 93	8,38		1.378	396.3 40	0,353 93	0,353 93	12,6 6		2.249	437.0 95	0,353 93	0,353 93	16,23	
P	S	00218	3.398	17.97 7	0,212 36	0,212 36	1,51	00219	5.760	55.33 7	0,212 36	0,212 36	1,49	00220	8.903	122.3 49	0,212 36	0,212 36	1,46
	I		-1.019	1.021. 428	1,061 80	1,061 80	2,18		-1.728	839.6 29	1,061 80	1,061 80	2,02		-4.451	555.4 02	1,061 80	1,061 80	1,82
S	S		-27.23 8	111.0 29	0,212 36	0,212 36	3,43		-14.23 1	80.15 1	0,212 36	0,212 36	3,57		-960	19.47 7	0,212 36	0,212 36	3,91
	I	-1.614	438.4 85	0,353 93	0,353 93	16,4 1		-4.072	395.6 67	0,353 93	0,353 93	12,6 5		-9.179	344.4 07	0,353 93	0,353 93	9,94	
P	S	00221	-10.15 3	19.82 2	0,212 36	0,212 36	1,51	00222	-11.90 6	28.48 1	0,212 36	0,212 36	1,51	00223	9.293	5.911	0,212 36	0,212 36	1,51
	I		3.045	367.6 21	1,061 80	1,061 80	1,70		3.571	319.7 63	1,061 80	1,061 80	1,68		8.928	345.2 49	1,061 80	1,061 80	1,69
S	S		0	0	0,212 36	0,212 36	-		0	0	0,212 36	0,212 36	-		0	0	0,212 36	0,212 36	-
	I	2.822	377.1 20	0,353 93	0,353 93	11,4 6		-4.738	461.9 20	0,353 93	0,353 93	19,6 6		11.67 2	628.1 01	0,353 93	0,353 93	50,18	
P	S	00224	9.881	14.29 9	0,212 36	0,212 36	1,51	00225	4.854	9.409	0,212 36	0,212 36	1,51	00226	-21.61 5	31.72 0	0,212 36	0,212 36	1,51
	I		9.498	392.0 13	1,061 80	1,061 80	1,72		7.210	409.3 94	1,061 80	1,061 80	1,73		-15.71 9	851.7 06	1,061 80	1,061 80	2,04
S	S		0	0	0,212 36	0,212 36	-		-15.78 1	36.95 1	0,212 36	0,212 36	3,82		-16.77 9	72.41 4	0,212 36	0,212 36	3,61
	I	6.163	501.8 45	0,353 93	0,353 93	29,3 5		-1.503	406.2 45	0,353 93	0,353 93	13,3 9		16.77 9	407.5 19	0,353 93	0,353 93	13,38	
P	S	00227	0	0	0,212 36	0,212 36	-	00228	0	0	0,212 36	0,212 36	-	00229	0	0	0,212 36	0,212 36	-
	I		-10.40 3	1.227. 383	1,061 80	1,061 80	2,39		-7.146	1.513. 960	1,061 80	1,061 80	2,75		-4.292	1.747. 365	1,061 80	1,061 80	3,14
S	S		-17.74 9	87.02 2	0,212 36	0,212 36	3,54		-26.74 1	121.1 34	0,212 36	0,212 36	3,38		-34.19 5	150.9 31	0,212 36	0,212 36	3,25
	I	-1.443	539.0 57	0,353 93	0,353 93	55,2 5		-290	599.9 73	0,353 93	0,353 93	NS		690	614.2 43	0,353 93	0,353 93	71,76	



Relazione preliminare sulle strutture

Platee - Verifiche pressoflessione retta allo SLU

Dir	Pos	Nodo	N _{Ed}	M _{Ed}	A _s	A _{df}	CS	Nodo	N _{Ed}	M _{Ed}	A _s	A _{df}	CS	Nodo	N _{Ed}	M _{Ed}	A _s	A _{df}	CS
			[N]	[N-m]	[cm ² /cm]	[cm ² /cm]			[N]	[N-m]	[cm ² /cm]	[cm ² /cm]			[N]	[N-m]	[cm ² /cm]	[cm ² /cm]	
P	S	00230	0	0	0,212 36	0,212 36	-	00231	0	0	0,212 36	0,212 36	-	00232	0	0	0,212 36	0,212 36	-
	I		-1.462	1.846. 203	1,061 80	1,061 80	3,34		-604	1.832. 494	1,061 80	1,061 80	3,31		-132	1.736. 476	1,061 80	1,061 80	3,12
S	S		-41.36 7	161.9 01	0,212 36	0,212 36	3,21		-47.55 8	152.3 58	0,212 36	0,212 36	3,27		-48.99 9	144.0 60	0,212 36	0,212 36	3,30
	I	806	599.8 99	0,353 93	0,353 93	NS		382	576.9 21	0,353 93	0,353 93	NS		304	577.1 98	0,353 93	0,353 93	NS	
P	S	00233	0	0	0,212 36	0,212 36	-	00234	0	0	0,212 36	0,212 36	-	00235	5.814	44.38 0	0,212 36	0,212 36	1,50
	I		-547	1.724. 031	1,061 80	1,061 80	3,09		-1.027	1.576. 530	1,061 80	1,061 80	2,84		-1.744	1.330. 498	1,061 80	1,061 80	2,50
S	S		-44.18 3	156.7 20	0,212 36	0,212 36	3,24		-37.20 6	154.2 15	0,212 36	0,212 36	3,24		-30.11 9	131.3 71	0,212 36	0,212 36	3,34
	I	1.324	629.2 32	0,353 93	0,353 93	49,1 9		1.704	660.4 84	0,353 93	0,353 93	29,7 1		402	658.2 18	0,353 93	0,353 93	30,60	
P	S	00236	9.027	104.2 71	0,212 36	0,212 36	1,47	00237	12.91 5	142.4 32	0,212 36	0,212 36	1,46	00238	13.36 0	221.2 17	0,212 36	0,212 36	1,42
	I		-2.708	1.071. 321	1,061 80	1,061 80	2,22		-6.456	781.3 20	1,061 80	1,061 80	1,98		-6.679	343.2 28	1,061 80	1,061 80	1,69
S	S		-21.39 3	97.93 4	0,212 36	0,212 36	3,49		-13.93 7	69.97 5	0,212 36	0,212 36	3,62		-21.29 8	55.14 6	0,212 36	0,212 36	3,72
	I	-1.985	605.1 98	0,353 93	0,353 93	99,3 0		-4.011	514.0 57	0,353 93	0,353 93	34,8 3		-6.131	453.0 88	0,353 93	0,353 93	18,32	
P	S	00239	-11.22 9	68.52 6	0,212 36	0,212 36	1,49	00240	-8.533	43.46 0	0,212 36	0,212 36	1,50	00241	-94	20.36 9	0,212 36	0,212 36	1,51
	I		5.614	352.6 39	1,061 80	1,061 80	1,69		4.266	280.9 03	1,061 80	1,061 80	1,66		3.342	261.0 18	1,061 80	1,061 80	1,65
S	S		0	0	0,212 36	0,212 36	-		0	0	0,212 36	0,212 36	-		0	0	0,212 36	0,212 36	-
	I	-3.474	472.6 83	0,353 93	0,353 93	21,5 9		4.022	555.6 05	0,353 93	0,353 93	90,2 2		11.54 8	663.1 76	0,353 93	0,353 93	28,61	
P	S	00242	628	39.41 1	0,212 36	0,212 36	1,50	00243	-7.513	55.64 1	0,212 36	0,212 36	1,50	00244	-14.69 8	70.17 0	0,212 36	0,212 36	1,49
	I		227	283.0 15	1,061 80	1,061 80	1,66		-5.204	453.4 40	1,061 80	1,061 80	1,76		-10.20 0	730.8 61	1,061 80	1,061 80	1,94
S	S		0	0	0,212 36	0,212 36	-		0	0	0,212 36	0,212 36	-		0	0	0,212 36	0,212 36	-
	I	9.288	685.6 01	0,353 93	0,353 93	22,4 6		7.579	692.9 68	0,353 93	0,353 93	20,9 9		4.715	731.7 92	0,353 93	0,353 93	15,59	
P	S	00245	-14.38 0	34.21 0	0,212 36	0,212 36	1,51	00246	-12.21 6	10.88 2	0,212 36	0,212 36	1,52	00247	0	0	0,212 36	0,212 36	-
	I		-13.27 6	1.183. 926	1,061 80	1,061 80	2,34		-12.16 1	1.600. 807	1,061 80	1,061 80	2,89		-9.054	1.958. 260	1,061 80	1,061 80	3,61
S	S		-12.15 4	37.84 4	0,212 36	0,212 36	3,81		-21.99 3	89.81 7	0,212 36	0,212 36	3,53		-30.99 4	143.7 47	0,212 36	0,212 36	3,28
	I	3.496	760.0 99	0,353 93	0,353 93	13,1 2		-839	825.7 71	0,353 93	0,353 93	9,61		390	883.0 42	0,353 93	0,353 93	7,78	



Relazione preliminare sulle strutture

Platee - Verifiche pressoflessione retta allo SLU

Dir	Pos	Nodo	N _{Ed}	M _{Ed}	A _s	A _{df}	CS	Nodo	N _{Ed}	M _{Ed}	A _s	A _{df}	CS	Nodo	N _{Ed}	M _{Ed}	A _s	A _{df}	CS
			[N]	[N-m]	[cm ² /cm]	[cm ² /cm]			[N]	[N-m]	[cm ² /cm]	[cm ² /cm]			[N]	[N-m]	[cm ² /cm]	[cm ² /cm]	
P	S	00248	0	0	0,212 36	0,212 36	-	00249	0	0	0,212 36	0,212 36	-	00250	0	0	0,212 36	0,212 36	-
	I		-5.500	2.195. 730	1,061 80	1,061 80	4,32		-1.492	2.225. 952	1,061 80	1,061 80	4,43		-214	2.079. 017	1,061 80	1,061 80	3,93
S	S		- 41.65 8	182.5 32	0,212 36	0,212 36	3,13		- 51.99 9	191.1 95	0,212 36	0,212 36	3,11		- 58.24 3	173.3 05	0,212 36	0,212 36	3,19
	I		1.199	901.4 76	0,353 93	0,353 93	7,33		1.114	887.2 44	0,353 93	0,353 93	7,67		239	857.5 06	0,353 93	0,353 93	8,50
P	S	00251	0	0	0,212 36	0,212 36	-	00252	0	0	0,212 36	0,212 36	-	00253	7.528	89.94 6	0,212 36	0,212 36	1,48
	I		-454	2.061. 088	1,061 80	1,061 80	3,88		-1.232	1.950. 270	1,061 80	1,061 80	3,58		-2.258	1.692. 195	1,061 80	1,061 80	3,04
S	S		- 55.36 5	182.7 31	0,212 36	0,212 36	3,15		- 46.21 9	186.4 41	0,212 36	0,212 36	3,12		- 35.32 6	160.1 29	0,212 36	0,212 36	3,21
	I		1.615	905.8 56	0,353 93	0,353 93	7,23		2.582	945.8 69	0,353 93	0,353 93	6,43		1.661	934.9 10	0,353 93	0,353 93	6,64
P	S	00254	11.01 5	178.4 45	0,212 36	0,212 36	1,44	00255	13.15 0	197.2 85	0,212 36	0,212 36	1,43	00256	11.90 1	196.1 84	0,212 36	0,212 36	1,43
	I		-3.304	1.367. 878	1,061 80	1,061 80	2,55		-6.574	1.039. 288	1,061 80	1,061 80	2,20		-5.949	678.6 14	1,061 80	1,061 80	1,90
S	S		- 25.45 4	112.0 51	0,212 36	0,212 36	3,42		- 18.05 3	58.42 4	0,212 36	0,212 36	3,70		- 11.70 3	13.76 7	0,212 36	0,212 36	3,96
	I		-636	874.4 40	0,353 93	0,353 93	8,01		1.435	779.7 35	0,353 93	0,353 93	11,8 3		1.941	727.7 27	0,353 93	0,353 93	16,04
P	S	00257	7.553	148.9 91	0,212 36	0,212 36	1,45	00258	1.640	92.74 2	0,212 36	0,212 36	1,48	00259	-2.217	47.25 0	0,212 36	0,212 36	1,50
	I		-3.776	391.4 26	1,061 80	1,061 80	1,72		-820	252.4 27	1,061 80	1,061 80	1,64		1.108	190.0 66	1,061 80	1,061 80	1,61
S	S		0	0	0,212 36	0,212 36	-		0	0	0,212 36	0,212 36	-		0	0	0,212 36	0,212 36	-
	I		3.481	690.3 82	0,353 93	0,353 93	21,5 3		3.980	663.2 59	0,353 93	0,353 93	28,6 7		5.702	634.2 54	0,353 93	0,353 93	44,42
P	S	00260	-286	22.23 5	0,212 36	0,212 36	1,51	00261	4.433	73.34 0	0,212 36	0,212 36	1,49	00262	- 23.01 4	86.89 2	0,212 36	0,212 36	1,49
	I		2.596	148.4 59	1,061 80	1,061 80	1,59		-4.433	154.2 14	1,061 80	1,061 80	1,59		- 19.68 1	282.4 18	1,061 80	1,061 80	1,67
S	S		0	0	0,212 36	0,212 36	-		0	0	0,212 36	0,212 36	-		0	0	0,212 36	0,212 36	-
	I		9.648	577.3 27	0,353 93	0,353 93	NS		10.45 0	688.5 65	0,353 93	0,353 93	21,8 3		11.25 6	819.5 13	0,353 93	0,353 93	9,81
P	S	00263	- 21.69 9	92.71 2	0,212 36	0,212 36	1,49	00264	- 21.97 8	90.02 0	0,212 36	0,212 36	1,49	00265	- 20.48 9	63.70 4	0,212 36	0,212 36	1,50
	I		- 17.01 1	647.6 79	1,061 80	1,061 80	1,89		- 17.59 3	1.079. 260	1,061 80	1,061 80	2,24		- 17.82 4	1.573. 740	1,061 80	1,061 80	2,85
S	S		0	0	0,212 36	0,212 36	-		0	0	0,212 36	0,212 36	-		- 14.09 9	45.72 9	0,212 36	0,212 36	3,76
	I		8.159	941.6 68	0,353 93	0,353 93	6,49		5.444	1.064. 622	0,353 93	0,353 93	4,85		3.266	1.148. 014	0,353 93	0,353 93	4,14



Relazione preliminare sulle strutture

Platee - Verifiche pressoflessione retta allo SLU

Dir	Pos	Nodo	N _{Ed}	M _{Ed}	A _s	A _{df}	CS	Nodo	N _{Ed}	M _{Ed}	A _s	A _{df}	CS	Nodo	N _{Ed}	M _{Ed}	A _s	A _{df}	CS
			[N]	[N-m]	[cm ² /cm]	[cm ² /cm]			[N]	[N-m]	[cm ² /cm]	[cm ² /cm]			[N]	[N-m]	[cm ² /cm]	[cm ² /cm]	
P	S	00266	-17.679	47.868	0,21236	0,21236	1,50	00267	0	0	0,21236	0,21236	-	00268	0	0	0,21236	0,21236	-
	I		-15.976	2.070.477	1,06180	1,06180	3,92		-11.956	2.504.500	1,06180	1,06180	5,84		-6.615	2.733.336	1,06180	1,06180	7,86
S	S		-24.482	107.871	0,21236	0,21236	3,44		-37.303	178.252	0,21236	0,21236	3,14		-52.983	234.005	0,21236	0,21236	2,95
	I		670	1.188.574	0,35393	0,35393	3,86		1.087	1.220.151	0,35393	0,35393	3,67		1.893	1.244.057	0,35393	0,35393	3,54
P	S	00269	0	0	0,21236	0,21236	-	00270	0	0	0,21236	0,21236	-	00271	0	0	0,21236	0,21236	-
	I		-1.224	2.633.293	1,06180	1,06180	6,81		-240	2.416.726	1,06180	1,06180	5,29		-1.319	2.393.079	1,06180	1,06180	5,17
S	S		-66.920	236.033	0,21236	0,21236	2,96		-70.527	220.415	0,21236	0,21236	3,02		-59.575	237.365	0,21236	0,21236	2,94
	I		1.256	1.222.607	0,35393	0,35393	3,66		1.063	1.222.792	0,35393	0,35393	3,66		3.675	1.285.444	0,35393	0,35393	3,33
P	S	00272	9.757	178.264	0,21236	0,21236	1,44	00273	14.536	295.078	0,21236	0,21236	1,39	00274	17.335	294.501	0,21236	0,21236	1,39
	I		-2.926	2.120.227	1,06180	1,06180	4,06		-7.266	1.743.180	1,06180	1,06180	3,13		-8.666	1.347.473	1,06180	1,06180	2,53
S	S		-43.549	205.272	0,21236	0,21236	3,04		-30.342	133.717	0,21236	0,21236	3,33		-17.749	75.697	0,21236	0,21236	3,60
	I		3.160	1.267.507	0,35393	0,35393	3,42		-286	1.187.839	0,35393	0,35393	3,87		1.125	1.136.119	0,35393	0,35393	4,23
P	S	00275	17.835	252.960	0,21236	0,21236	1,41	00276	17.184	203.172	0,21236	0,21236	1,43	00277	16.738	152.353	0,21236	0,21236	1,45
	I		-8.916	953.316	1,06180	1,06180	2,12		-8.590	589.948	1,06180	1,06180	1,84		-8.367	303.357	1,06180	1,06180	1,67
S	S		-10.343	15.925	0,21236	0,21236	3,95		0	0	0,21236	0,21236	-		0	0	0,21236	0,21236	-
	I		2.242	1.050.234	0,35393	0,35393	5,00		3.515	939.466	0,35393	0,35393	6,55		4.866	803.693	0,35393	0,35393	10,54
P	S	00278	14.563	133.782	0,21236	0,21236	1,46	00279	3.116	34.528	0,21236	0,21236	1,50	00280	808	59.031	0,21236	0,21236	1,49
	I		56	150.703	1,06180	1,06180	1,59		-3.116	108.816	1,06180	1,06180	1,57		-808	87.812	1,06180	1,06180	1,56
S	S		0	0	0,21236	0,21236	-		0	0	0,21236	0,21236	-		0	0	0,21236	0,21236	-
	I		5.892	718.060	0,35393	0,35393	17,14		5.180	628.744	0,35393	0,35393	49,62		11.911	732.066	0,35393	0,35393	15,51
P	S	00281	11.988	269.514	0,21236	0,21236	1,40	00282	-30.702	112.673	0,21236	0,21236	1,48	00283	-29.046	119.844	0,21236	0,21236	1,48
	I		10.128	39.505	1,06180	1,06180	1,54		-25.711	477.629	1,06180	1,06180	1,78		-24.241	915.951	1,06180	1,06180	2,09
S	S		0	0	0,21236	0,21236	-		0	0	0,21236	0,21236	-		0	0	0,21236	0,21236	-
	I		13.087	608.333	0,35393	0,35393	87,21		10.058	1.035.066	0,35393	0,35393	5,15		8.277	1.291.940	0,35393	0,35393	3,29



Relazione preliminare sulle strutture

Platee - Verifiche pressoflessione retta allo SLU

Dir	Pos	Nodo	N _{Ed}	M _{Ed}	A _s	A _{df}	CS	Nodo	N _{Ed}	M _{Ed}	A _s	A _{df}	CS	Nodo	N _{Ed}	M _{Ed}	A _s	A _{df}	CS
			[N]	[N-m]	[cm ² /cm]	[cm ² /cm]			[N]	[N-m]	[cm ² /cm]	[cm ² /cm]			[N]	[N-m]	[cm ² /cm]	[cm ² /cm]	
P	S	00284	-29.192	119.500	0,21236	0,21236	1,48	00285	-29.761	109.172	0,21236	0,21236	1,48	00286	-26.519	109.628	0,21236	0,21236	1,48
	I		-24.658	1.436.314	1,06180	1,06180	2,65		-24.624	2.031.380	1,06180	1,06180	3,82		-22.323	2.663.739	1,06180	1,06180	7,14
S	S		0	0	0,21236	0,21236	-		-15.006	55.013	0,21236	0,21236	3,71		-28.664	155.790	0,21236	0,21236	3,22
	I		5.995	1.479.982	0,35393	0,35393	2,60		3.392	1.612.482	0,35393	0,35393	2,27		26	1.665.226	0,35393	0,35393	2,17
P	S	00287	-17.665	51.364	0,21236	0,21236	1,50	00288	0	0	0,21236	0,21236	-	00289	0	0	0,21236	0,21236	-
	I		-16.506	3.215.407	1,06180	1,06180	29,68		-7.662	3.407.788	1,06180	1,06180	NS		-441	2.968.641	1,06180	1,06180	12,21
S	S		-46.531	244.549	0,21236	0,21236	2,90		-71.082	325.879	0,21236	0,21236	2,67		-89.210	306.722	0,21236	0,21236	2,75
	I		1.899	1.631.590	0,35393	0,35393	2,23		71.082	1.614.851	0,35393	0,35393	2,20		89.210	1.572.638	0,35393	0,35393	2,27
P	S	00290	0	0	0,21236	0,21236	-	00291	12.940	340.081	0,21236	0,21236	1,38	00292	20.385	491.620	0,21236	0,21236	1,32
	I		-1.201	2.928.254	1,06180	1,06180	11,15		-3.881	2.658.692	1,06180	1,06180	7,05		-10.190	2.209.190	1,06180	1,06180	4,37
S	S		-80.943	321.879	0,21236	0,21236	2,69		-56.333	290.212	0,21236	0,21236	2,76		-36.794	202.035	0,21236	0,21236	3,04
	I		4.574	1.699.600	0,35393	0,35393	2,09		5.118	1.680.291	0,35393	0,35393	2,13		-812	1.623.116	0,35393	0,35393	2,25
P	S	00293	24.053	449.165	0,21236	0,21236	1,34	00294	24.834	352.060	0,21236	0,21236	1,37	00295	24.335	259.828	0,21236	0,21236	1,40
	I		-12.024	1.712.176	1,06180	1,06180	3,08		-12.414	1.238.989	1,06180	1,06180	2,40		-12.165	818.894	1,06180	1,06180	2,01
S	S		-19.812	104.887	0,21236	0,21236	3,45		-9.923	12.363	0,21236	0,21236	3,97		0	0	0,21236	0,21236	-
	I		1.043	1.556.984	0,35393	0,35393	2,40		2.485	1.433.129	0,35393	0,35393	2,75		3.676	1.266.967	0,35393	0,35393	3,42
P	S	00296	24.782	189.287	0,21236	0,21236	1,43	00297	25.694	165.824	0,21236	0,21236	1,44	00298	-1.283	73.320	0,21236	0,21236	1,49
	I		-12.388	461.681	1,06180	1,06180	1,76		30.948	147.885	1,06180	1,06180	1,58		1.283	91.132	1,06180	1,06180	1,56
S	S		0	0	0,21236	0,21236	-		0	0	0,21236	0,21236	-		0	0	0,21236	0,21236	-
	I		4.744	1.059.743	0,35393	0,35393	4,90		5.533	733.019	0,35393	0,35393	15,45		5.275	639.827	0,35393	0,35393	40,18
P	S	00299	863	40.862	0,21236	0,21236	1,50	00300	1.378	51.933	0,21236	0,21236	1,50	00301	3.381	108.468	0,21236	0,21236	1,47
	I		-863	70.263	1,06180	1,06180	1,55		-1.378	48.650	1,06180	1,06180	1,54		6.986	42.443	1,06180	1,06180	1,54
S	S		0	0	0,21236	0,21236	-		0	0	0,21236	0,21236	-		0	0	0,21236	0,21236	-



Relazione preliminare sulle strutture

Platee - Verifiche pressoflessione retta allo SLU

Dir	Pos	Nodo	N _{Ed}	M _{Ed}	A _s	A _{df}	CS	Nodo	N _{Ed}	M _{Ed}	A _s	A _{df}	CS	Nodo	N _{Ed}	M _{Ed}	A _s	A _{df}	CS
			[N]	[N-m]	[cm ² /cm]	[cm ² /cm]			[N]	[N-m]	[cm ² /cm]	[cm ² /cm]			[N]	[N-m]	[cm ² /cm]	[cm ² /cm]	
	I		6.103	724.8 51	0,353 93	0,353 93	16,3 3		14.61 2	917.5 90	0,353 93	0,353 93	6,94		19.81 8	1.024. 382	0,353 93	0,353 93	5,25
P	S	00302	- 27.05 1	124.7 74	0,212 36	0,212 36	1,47	00303	- 32.26 0	130.3 85	0,212 36	0,212 36	1,47	00304	- 35.54 6	145.9 27	0,212 36	0,212 36	1,47
	I		- 23.35 8	229.0 05	1,061 80	1,061 80	1,64		- 27.60 1	689.6 16	1,061 80	1,061 80	1,92		- 30.49 0	1.204. 429	1,061 80	1,061 80	2,37
S	S		0	0	0,212 36	0,212 36	-		0	0	0,212 36	0,212 36	-		0	0	0,212 36	0,212 36	-
	I		19.07 4	1.186. 862	0,353 93	0,353 93	3,84		17.61 3	1.447. 605	0,353 93	0,353 93	2,69		14.92 1	1.738. 280	0,353 93	0,353 93	2,01
P	S	00305	- 38.31 2	162.1 66	0,212 36	0,212 36	1,46	00306	- 43.37 0	176.0 64	0,212 36	0,212 36	1,46	00307	- 41.28 3	220.8 56	0,212 36	0,212 36	1,44
	I		- 33.22 5	1.824. 850	1,061 80	1,061 80	3,32		- 34.85 1	2.579. 675	1,061 80	1,061 80	6,42		- 33.19 5	3.445. 682	1,061 80	1,061 80	90,46
S	S		0	0	0,212 36	0,212 36	-		- 14.53 1	53.61 2	0,212 36	0,212 36	3,72		- 32.11 4	237.9 15	0,212 36	0,212 36	2,90
	I		11.56 8	2.006. 037	0,353 93	0,353 93	1,64		4.205	2.215. 834	0,353 93	0,353 93	1,43		32	2.302. 502	0,353 93	0,353 93	1,36
P	S	00308	- 28.57 6	190.0 26	0,212 36	0,212 36	1,45	00309	24.33 2	27.16 0	0,212 36	0,212 36	1,50	00310	35.91 0	182.2 53	0,212 36	0,212 36	1,43
	I		- 24.67 0	4.223. 204	1,061 80	1,061 80	6,21		-8.367	4.316. 224	1,061 80	1,061 80	5,58		-820	3.556. 384	1,061 80	1,061 80	31,16
S	S		- 68.14 3	411.5 20	0,212 36	0,212 36	2,44		- 103.3 01	535.0 64	0,212 36	0,212 36	2,20		- 118.6 59	476.5 36	0,212 36	0,212 36	2,34
	I		68.14 3	2.210. 724	0,353 93	0,353 93	1,40		103.3 01	2.318. 022	0,353 93	0,353 93	1,29		118.6 59	2.248. 291	0,353 93	0,353 93	1,33
P	S	00311	18.15 6	657.4 62	0,212 36	0,212 36	1,27	00312	30.78 0	832.6 13	0,212 36	0,212 36	1,21	00313	34.82 1	692.1 64	0,212 36	0,212 36	1,25
	I		-5.446	3.388. 618	1,061 80	1,061 80	NS		- 15.38 7	2.817. 966	1,061 80	1,061 80	9,04		- 17.40 7	2.152. 451	1,061 80	1,061 80	4,18
S	S		- 78.46 0	484.5 43	0,212 36	0,212 36	2,28		- 44.18 5	333.0 28	0,212 36	0,212 36	2,62		- 20.41 9	143.0 51	0,212 36	0,212 36	3,27
	I		78.46 0	2.290. 048	0,353 93	0,353 93	1,33		-1.160	2.189. 470	0,353 93	0,353 93	1,46		1.349	2.096. 979	0,353 93	0,353 93	1,55
P	S	00314	34.18 1	494.8 09	0,212 36	0,212 36	1,32	00315	31.70 2	337.8 84	0,212 36	0,212 36	1,37	00316	28.87 5	232.1 22	0,212 36	0,212 36	1,41
	I		- 17.08 7	1.553. 927	1,061 80	1,061 80	2,82		- 15.84 8	1.055. 849	1,061 80	1,061 80	2,22		- 14.43 4	640.8 95	1,061 80	1,061 80	1,88
S	S		0	0	0,212 36	0,212 36	-		0	0	0,212 36	0,212 36	-		0	0	0,212 36	0,212 36	-
	I		2.967	1.900. 498	0,353 93	0,353 93	1,78		4.088	1.657. 133	0,353 93	0,353 93	2,18		4.983	1.403. 398	0,353 93	0,353 93	2,85
P	S	00317	25.69 0	173.3 07	0,212 36	0,212 36	1,44	00318	14.39 9	161.0 74	0,212 36	0,212 36	1,45	00319	2.409	67.55 8	0,212 36	0,212 36	1,49
	I		- 12.84	282.2 32	1,061 80	1,061 80	1,66		8.363	51.13 9	1,061 80	1,061 80	1,54		-2.409	48.39 3	1,061 80	1,061 80	1,54



Relazione preliminare sulle strutture

Platee - Verifiche pressoflessione retta allo SLU

Dir	Pos	Nodo	N _{Ed}	M _{Ed}	A _s	A _{df}	CS	Nodo	N _{Ed}	M _{Ed}	A _s	A _{df}	CS	Nodo	N _{Ed}	M _{Ed}	A _s	A _{df}	CS	
			[N]	[N-m]	[cm ² /cm]	[cm ² /cm]			[N]	[N-m]	[cm ² /cm]	[cm ² /cm]			[N]	[N-m]	[cm ² /cm]	[cm ² /cm]		
			2																	
S	S		0	0	0,212 36	0,212 36	-		0	0	0,212 36	0,212 36	-		0	0	0,212 36	0,212 36	-	
	I		5.634	1.163. 695	0,353 93	0,353 93	4,02		6.216	1.028. 965	0,353 93	0,353 93	5,23		6.814	865.8 70	0,353 93	0,353 93	8,23	
P	S	00320	914	42.60 9	0,212 36	0,212 36	1,50	00321	2.884	100.6 70	0,212 36	0,212 36	1,48	00322	9.555	87.14 9	0,212 36	0,212 36	1,48	
	I		-914	33.90 5	1,061 80	1,061 80	1,54		-6.412	14.00 2	1,061 80	1,061 80	1,53		- 19.11 3	80.02 6	1,061 80	1,061 80	1,56	
S	S		0	0	0,212 36	0,212 36	-		0	0	0,212 36	0,212 36	-		0	0	0,212 36	0,212 36	-	
	I		29.27 1	941.8 90	0,353 93	0,353 93	6,43		24.93 9	1.101. 014	0,353 93	0,353 93	4,47		20.16 1	1.301. 586	0,353 93	0,353 93	3,23	
P	S	00323	- 32.11 7	122.9 28	0,212 36	0,212 36	1,48	00324	- 39.05 3	142.9 39	0,212 36	0,212 36	1,47	00325	- 45.48 6	169.8 41	0,212 36	0,212 36	1,46	
	I		- 27.20 6	446.9 01	1,061 80	1,061 80	1,76		- 33.41 1	929.2 37	1,061 80	1,061 80	2,11		- 39.23 8	1.511. 634	1,061 80	1,061 80	2,77	
S	S		0	0	0,212 36	0,212 36	-		0	0	0,212 36	0,212 36	-		0	0	0,212 36	0,212 36	-	
	I		19.08 4	1.553. 877	0,353 93	0,353 93	2,39		18.36 7	1.888. 276	0,353 93	0,353 93	1,78		16.77 5	2.287. 274	3,008 43	3,008 43	1,53	
P	S	00326	- 52.16 2	211.8 16	0,212 36	0,212 36	1,45	00327	- 58.33 8	281.3 98	0,212 36	0,212 36	1,42	00328	- 69.30 2	435.4 17	0,212 36	0,212 36	1,37	
	I		- 45.51 5	2.248. 307	1,061 80	1,061 80	4,57		- 51.63 7	3.236. 748	1,061 80	1,061 80	34,6 8		- 54.44 6	4.564. 436	1,061 80	1,061 80	4,42	
S	S		0	0	0,212 36	0,212 36	-		0	0	0,212 36	0,212 36	-		- 32.21 3	370.7 45	0,212 36	0,212 36	1,14	
	I		14.50 1	2.729. 634	3,008 43	3,008 43	1,63		10.83 2	3.141. 785	3,008 43	3,008 43	1,73		2.111	3.276. 761	3,008 43	3,008 43	1,76	
P	S	00329	- 53.70 9	543.9 15	0,212 36	0,212 36	1,32	00330	50.20 0	419.2 30	0,212 36	0,212 36	1,34	00331	28.32 4	1.225. 468	0,212 36	0,212 36	1,11	
	I		- 43.64 7	5.868. 332	1,061 80	1,061 80	2,10		- 3.969	4.782. 974	1,061 80	1,061 80	3,71		- 14.15 9	4.527. 961	1,061 80	1,061 80	4,54	
S	S		- 97.19 4	818.2 60	0,212 36	0,212 36	1,10		- 173.2 29	999.0 34	0,212 36	0,212 36	1,09		- 127.7 89	959.2 37	0,212 36	0,212 36	1,09	
	I		97.19 4	3.347. 134	3,008 43	3,008 43	1,76		173.2 29	3.481. 126	3,008 43	3,008 43	1,78		127.7 89	3.498. 523	3,008 43	3,008 43	1,80	
P	S	00332	53.19 7	1.523. 414	0,212 36	0,212 36	1,04	00333	53.81 3	1.073. 502	0,212 36	0,212 36	1,14	00334	48.26 0	676.8 25	0,212 36	0,212 36	1,25	
	I		- 26.59 3	3.708. 127	1,061 80	1,061 80	16,2 3		- 26.90 1	2.696. 626	1,061 80	1,061 80	7,49		- 24.12 5	1.901. 064	1,061 80	1,061 80	3,48	
S	S		- 50.66 1	629.9 02	0,212 36	0,212 36	1,11		- 17.78 3	144.9 13	0,212 36	0,212 36	1,16		0	0	0,212 36	0,212 36	-	
	I		50.66 1	3.059. 868	3,008 43	3,008 43	1,70		2.576	2.834. 720	3,008 43	3,008 43	1,65		3.978	2.476. 379	3,008 43	3,008 43	1,57	
P	S	00335	41.82	432.1	0,212	0,212	1,34	00336	35.82	281.9	0,212	0,212	1,39	00337	29.95	191.6	0,212	0,212	1,43	



Relazione preliminare sulle strutture

Platee - Verifiche pressoflessione retta allo SLU

Dir	Pos	Nodo	N _{Ed}	M _{Ed}	A _s	A _{df}	CS	Nodo	N _{Ed}	M _{Ed}	A _s	A _{df}	CS	Nodo	N _{Ed}	M _{Ed}	A _s	A _{df}	CS
			[N]	[N-m]	[cm ² /cm]	[cm ² /cm]			[N]	[N-m]	[cm ² /cm]	[cm ² /cm]			[N]	[N-m]	[cm ² /cm]	[cm ² /cm]	
	I		7	44	36	36			2	08	36	36			3	09	36	36	
			-20.909	1.306.413	1,06180	1,06180	2,48		-17.907	836.990	1,06180	1,06180	2,03		-14.973	446.959	1,06180	1,06180	1,76
S	S		0	0	0,21236	0,21236	-		0	0	0,21236	0,21236	-		0	0	0,21236	0,21236	-
	I		4.781	2.101.784	0,35393	0,35393	1,54		5.338	1.762.507	0,35393	0,35393	1,98		5.677	1.470.694	0,35393	0,35393	2,63
P	S	00338	22.631	137.443	0,21236	0,21236	1,45	00339	13.560	122.348	0,21236	0,21236	1,46	00340	3.332	61.616	0,21236	0,21236	1,49
	I		27.190	114.948	1,06180	1,06180	1,56		4.337	16.411	1,06180	1,06180	1,53		-3.332	24.523	1,06180	1,06180	1,53
S	S		0	0	0,21236	0,21236	-		0	0	0,21236	0,21236	-		0	0	0,21236	0,21236	-
	I		5.817	1.242.356	0,35393	0,35393	3,54		6.765	1.065.007	0,35393	0,35393	4,84		8.236	909.522	0,35393	0,35393	7,13
P	S	00341	-3.072	121.742	0,21236	0,21236	1,47	00342	7.206	191.013	0,21236	0,21236	1,44	00343	-	107.656	0,21236	0,21236	1,48
	I		-1.761	11.609	1,06180	1,06180	1,53		0	0	1,06180	1,06180	-		-28.797	237.919	1,06180	1,06180	1,65
S	S		0	0	0,21236	0,21236	-		0	0	0,21236	0,21236	-		0	0	0,21236	0,21236	-
	I		26.036	954.887	0,35393	0,35393	6,21		25.379	1.203.560	0,35393	0,35393	3,73		22.302	1.492.472	0,35393	0,35393	2,55
P	S	00344	-40.655	125.198	0,21236	0,21236	1,48	00345	-48.500	149.699	0,21236	0,21236	1,47	00346	-	187.740	0,21236	0,21236	1,46
	I		-34.288	673.325	1,06180	1,06180	1,91		-41.223	1.193.535	1,06180	1,06180	2,37		-50.225	1.844.194	1,06180	1,06180	3,37
S	S		0	0	0,21236	0,21236	-		0	0	0,21236	0,21236	-		0	0	0,21236	0,21236	-
	I		20.743	1.871.148	0,35393	0,35393	1,80		19.938	2.321.809	3,00843	3,00843	1,54		19.326	2.873.416	3,00843	3,00843	1,66
P	S	00347	-72.467	257.918	0,21236	0,21236	1,43	00348	-91.347	406.290	0,21236	0,21236	1,38	00349	-	829.550	0,21236	0,21236	1,25
	I		-62.484	2.708.997	1,06180	1,06180	7,71		-79.671	3.975.780	1,06180	1,06180	8,85		-103.004	6.208.832	1,06180	1,06180	1,86
S	S		0	0	0,21236	0,21236	-		18.410	6.720	0,21236	0,21236	1,18		-22.856	301.934	0,21236	0,21236	1,15
	I		18.823	3.584.874	3,00843	3,00843	1,85		18.219	4.558.269	3,00843	3,00843	2,18		16.861	5.486.456	3,00843	3,00843	2,64
P	S	00350	-157.972	2.443.879	1,27416	1,27416	1,73	00351	150.225	5.334.602	1,27416	1,27416	1,35	00352	115.179	3.214.731	1,27416	1,27416	4,05
	I		-124.084	11.490.610	3,71630	3,71630	7,23		-150.225	10.013.206	3,71630	3,71630	15,98		-57.577	5.230.866	1,06180	1,06180	1,59
S	S		-145.246	1.911.107	1,27416	1,27416	2,03		-133.401	681.582	1,27416	1,27416	2,38		-46.728	944.063	1,27416	1,27416	2,28
	I		145.2	5.733.	3,008	3,008	19,7		-	6.197.	3,008	3,008	47,4		4.129	4.536.	3,008	3,008	8,40



Relazione preliminare sulle strutture

Platee - Verifiche pressoflessione retta allo SLU

Dir	Pos	Nodo	N _{Ed}	M _{Ed}	A _s	A _{df}	CS	Nodo	N _{Ed}	M _{Ed}	A _s	A _{df}	CS	Nodo	N _{Ed}	M _{Ed}	A _s	A _{df}	CS
			[N]	[N-m]	[cm ² /cm]	[cm ² /cm]			[N]	[N-m]	[cm ² /cm]	[cm ² /cm]			[N]	[N-m]	[cm ² /cm]	[cm ² /cm]	
			46	924	43	43	0		42.269	966	43	43	0		829	43	43		
P	S	00353	88.876	1.563.384	1,27416	1,27416	13,73	00354	68.914	887.040	0,21236	0,21236	1,19	00355	54.824	540.864	0,21236	0,21236	1,30
	I		-44.429	3.331.358	1,06180	1,06180	2,30		-34.450	2.281.509	1,06180	1,06180	4,69		-27.406	1.576.994	1,06180	1,06180	2,86
S	S		-17.557	745.538	1,27416	1,27416	2,34		-18.549	402.098	0,21236	0,21236	1,13		-19.092	177.167	0,21236	0,21236	1,16
	I		5.266	3.892.135	3,00843	3,00843	6,37		5.564	3.140.887	3,00843	3,00843	1,73		5.726	2.567.401	3,00843	3,00843	1,59
P	S	00356	44.655	341.607	0,21236	0,21236	1,37	00357	36.982	221.826	0,21236	0,21236	1,42	00358	30.928	152.822	0,21236	0,21236	1,45
	I		-22.323	1.050.231	1,06180	1,06180	2,21		-18.487	628.997	1,06180	1,06180	1,87		-15.461	276.280	1,06180	1,06180	1,66
S	S		-19.663	47.205	0,21236	0,21236	3,76		0	0	0,21236	0,21236	-		0	0	0,21236	0,21236	-
	I		5.898	2.114.854	0,35393	0,35393	1,53		6.109	1.741.042	0,35393	0,35393	2,02		6.444	1.421.429	0,35393	0,35393	2,79
P	S	00359	26.117	162.368	0,21236	0,21236	1,44	00360	-4.053	191.053	0,21236	0,21236	1,44	00361	-133	34.264	0,21236	0,21236	1,51
	I		32.091	17.078	1,06180	1,06180	1,52		0	0	1,06180	1,06180	-		133	16.000	1,06180	1,06180	1,53
S	S		0	0	0,21236	0,21236	-		0	0	0,21236	0,21236	-		0	0	0,21236	0,21236	-
	I		7.133	1.159.470	0,35393	0,35393	4,05		7.325	965.170	0,35393	0,35393	6,10		7.635	815.770	0,35393	0,35393	9,98
P	S	00362	288	23.685	0,21236	0,21236	1,51	00363	16.666	95.634	0,21236	0,21236	1,47	00364	-40.663	105.769	0,21236	0,21236	1,49
	I		331	2.691	1,06180	1,06180	1,52		-33.340	81.013	1,06180	1,06180	1,57		-34.088	449.273	1,06180	1,06180	1,77
S	S		0	0	0,21236	0,21236	-		0	0	0,21236	0,21236	-		0	0	0,21236	0,21236	-
	I		14.736	819.663	0,35393	0,35393	9,79		22.880	1.248.642	0,35393	0,35393	3,48		21.980	1.708.529	0,35393	0,35393	2,06
P	S	00365	-47.061	125.150	0,21236	0,21236	1,48	00366	-57.221	153.370	0,21236	0,21236	1,47	00367	-72.091	202.257	0,21236	0,21236	1,46
	I		-39.456	916.487	1,06180	1,06180	2,10		-47.976	1.489.878	1,06180	1,06180	2,74		-60.444	2.228.947	1,06180	1,06180	4,51
S	S		0	0	0,21236	0,21236	-		0	0	0,21236	0,21236	-		0	0	0,21236	0,21236	-
	I		21.054	2.156.962	0,35393	0,35393	1,48		20.715	2.691.426	3,00843	3,00843	1,62		20.813	3.379.940	3,00843	3,00843	1,79
P	S	00368	-95.326	305.363	0,21236	0,21236	1,42	00369	-136.177	574.923	0,21236	0,21236	1,34	00370	-220.465	1.255.356	0,21236	0,21236	1,06
	I		-79.922	3.262.247	1,06180	1,06180	42,79		-114.159	4.933.289	1,06180	1,06180	3,39		-184.907	9.389.800	3,71630	3,71630	5,87
S	S		0	0	0,212	0,212	-		23.86	94.63	0,212	0,212	1,16		6.048	1.701.	0,212	0,212	1,00



Relazione preliminare sulle strutture

Platee - Verifiche pressoflessione retta allo SLU

Dir	Pos	Nodo	N _{Ed}	M _{Ed}	A _s	A _{df}	CS	Nodo	N _{Ed}	M _{Ed}	A _s	A _{df}	CS	Nodo	N _{Ed}	M _{Ed}	A _s	A _{df}	CS
			[N]	[N-m]	[cm ² /cm]	[cm ² /cm]			[N]	[N-m]	[cm ² /cm]	[cm ² /cm]			[N]	[N-m]	[cm ² /cm]	[cm ² /cm]	
	I		21.16 1	4.336. 106	3,008 43	3,008 43	2,09		3 20.04 1	9 5.965. 358	36 3,008 43	36 3,008 43	2,96		279 5.129	36 10.74 1.961	36 3,008 43	36 3,008 43	13,59
P	S	00371	146.2 31	7.099. 554	1,274 16	1,274 16	1,20	00372	218.0 68	7.564. 926	1,274 16	1,274 16	1,16	00373	135.1 34	2.289. 781	1,274 16	1,274 16	6,67
	I		115.3 35	23.16 3.186	3,716 30	3,716 30	1,35		- 109.0 11	8.327. 464	3,716 30	3,716 30	40,4 3		- 67.55 3	4.171. 654	1,061 80	1,061 80	1,92
S	S		224.4 51	3.567. 111	1,274 16	1,274 16	1,66		- 14.40 6	7.638. 958	1,274 16	1,274 16	1,20		- 19.27 6	2.037. 403	1,274 16	1,274 16	1,99
	I		184.0 55	20.48 5.838	3,008 43	3,008 43	1,22		7.202	9.634. 691	3,008 43	3,008 43	5,56		9.636	5.184. 012	3,008 43	3,008 43	12,32
P	S	00374	91.04 5	1.168. 832	0,212 36	0,212 36	1,11	00375	67.23 8	683.5 21	0,212 36	0,212 36	1,25	00376	52.51 7	422.4 64	0,212 36	0,212 36	1,34
	I		- 45.51 3	2.741. 314	1,061 80	1,061 80	8,05		- 33.61 2	1.891. 042	1,061 80	1,061 80	3,47		- 26.25 3	1.289. 929	1,061 80	1,061 80	2,47
S	S		- 21.32 4	801.7 16	0,212 36	0,212 36	1,09		- 20.97 4	377.9 84	0,212 36	0,212 36	1,14		- 20.70 0	159.0 14	0,212 36	0,212 36	3,20
	I		10.66 0	3.732. 447	3,008 43	3,008 43	1,89		6.291	2.967. 254	3,008 43	3,008 43	1,68		6.209	2.413. 084	0,353 93	0,353 93	1,28
P	S	00377	42.61 0	269.3 90	0,212 36	0,212 36	1,40	00378	35.91 1	177.3 47	0,212 36	0,212 36	1,43	00379	33.00 2	130.6 88	0,212 36	0,212 36	1,45
	I		- 21.30 1	825.4 02	1,061 80	1,061 80	2,02		- 17.95 2	446.2 49	1,061 80	1,061 80	1,76		39.36 2	93.13 1	1,061 80	1,061 80	1,55
S	S		- 20.85 3	31.97 8	0,212 36	0,212 36	3,86		0	0	0,212 36	0,212 36	-		0	0	0,212 36	0,212 36	-
	I		6.254	1.976. 257	0,353 93	0,353 93	1,68		6.452	1.610. 289	0,353 93	0,353 93	2,27		6.780	1.260. 902	0,353 93	0,353 93	3,44
P	S	00380	14.54 0	282.4 16	0,212 36	0,212 36	1,40	00381	-380	100.2 77	0,212 36	0,212 36	1,48	00382	942	5.088	0,212 36	0,212 36	1,52
	I		0	0	1,061 80	1,061 80	-		760	10.44 8	1,061 80	1,061 80	1,52		811	3.235	1,061 80	1,061 80	1,52
S	S		0	0	0,212 36	0,212 36	-		0	0	0,212 36	0,212 36	-		0	0	0,212 36	0,212 36	-
	I		8.704	792.7 14	0,353 93	0,353 93	11,0 7		7.840	800.7 02	0,353 93	0,353 93	10,6 7		4.093	657.0 68	0,353 93	0,353 93	31,02
P	S	00383	-3.012	123.3 43	0,212 36	0,212 36	1,47	00384	7.276	192.7 68	0,212 36	0,212 36	1,44	00385	- 34.89 8	107.4 96	0,212 36	0,212 36	1,48
	I		-1.769	11.04 4	1,061 80	1,061 80	1,53		0	0	1,061 80	1,061 80	-		- 28.91 9	237.9 07	1,061 80	1,061 80	1,65
S	S		0	0	0,212 36	0,212 36	-		0	0	0,212 36	0,212 36	-		0	0	0,212 36	0,212 36	-
	I		25.85 1	952.3 97	0,353 93	0,353 93	6,25		25.58 1	1.201. 054	0,353 93	0,353 93	3,74		22.35 5	1.492. 639	0,353 93	0,353 93	2,55
P	S	00386	- 40.73 1	125.0 13	0,212 36	0,212 36	1,48	00387	- 48.58 8	149.5 14	0,212 36	0,212 36	1,47	00388	- 58.86 1	187.5 71	0,212 36	0,212 36	1,46
	I		- 34.35 2	673.3 66	1,061 80	1,061 80	1,91		- 41.29 5	1.193. 394	1,061 80	1,061 80	2,37		- 50.34 1	1.843. 985	1,061 80	1,061 80	3,37



Relazione preliminare sulle strutture

Platee - Verifiche pressoflessione retta allo SLU

Dir	Pos	Nodo	N _{Ed}	M _{Ed}	A _s	A _{df}	CS	Nodo	N _{Ed}	M _{Ed}	A _s	A _{df}	CS	Nodo	N _{Ed}	M _{Ed}	A _s	A _{df}	CS
			[N]	[N-m]	[cm ² /cm]	[cm ² /cm]			[N]	[N-m]	[cm ² /cm]	[cm ² /cm]			[N]	[N-m]	[cm ² /cm]	[cm ² /cm]	
S	S		0	0	0,212 36	0,212 36	-		0	0	0,212 36	0,212 36	-		0	0	0,212 36	0,212 36	-
	I		20.77 2	1.873. 124	0,353 93	0,353 93	1,80		19.97 2	2.325. 035	3,008 43	3,008 43	1,54		19.37 9	2.878. 334	3,008 43	3,008 43	1,66
P	S	00389	- 72.72 3	257.8 37	0,212 36	0,212 36	1,43	00390	- 91.86 4	406.9 17	0,212 36	0,212 36	1,38	00391	- 116.9 62	831.6 00	0,212 36	0,212 36	1,25
	I		- 62.69 5	2.708. 877	1,061 80	1,061 80	7,70		- 80.10 1	3.977. 034	1,061 80	1,061 80	8,83		- 104.0 44	6.212. 336	1,061 80	1,061 80	1,86
S	S		0	0	0,212 36	0,212 36	-		18.66 6	5.540	0,212 36	0,212 36	1,18		- 22.20 0	270.6 54	0,212 36	0,212 36	1,15
	I		18.91 2	3.593. 091	3,008 43	3,008 43	1,85		18.37 6	4.573. 976	3,008 43	3,008 43	2,19		17.23 8	5.533. 146	3,008 43	3,008 43	2,67
P	S	00392	- 162.4 82	2.467. 838	1,274 16	1,274 16	1,73	00393	157.7 42	5.804. 806	1,274 16	1,274 16	1,31	00394	116.7 90	3.238. 426	1,274 16	1,274 16	4,01
	I		- 127.9 19	11.57 3.795	3,716 30	3,716 30	7,01		- 157.7 42	10.52 2.761	3,716 30	3,716 30	11,2 5		- 58.38 3	5.245. 500	1,061 80	1,061 80	1,58
S	S		- 142.9 62	1.916. 464	1,274 16	1,274 16	2,03		- 139.5 18	726.5 24	1,274 16	1,274 16	2,36		- 45.94 8	938.3 72	1,274 16	1,274 16	2,28
	I		142.9 62	5.775. 630	3,008 43	3,008 43	20,7 2		- 48.54 3	6.315. 202	3,008 43	3,008 43	70,6 0		4.212	4.584. 938	3,008 43	3,008 43	8,60
P	S	00395	89.54 6	1.566. 544	1,274 16	1,274 16	13,6 7	00396	69.22 7	887.2 46	0,212 36	0,212 36	1,19	00397	54.98 7	540.6 88	0,212 36	0,212 36	1,30
	I		- 44.76 4	3.332. 852	1,061 80	1,061 80	2,30		- 34.60 6	2.281. 404	1,061 80	1,061 80	4,69		- 27.48 7	1.576. 718	1,061 80	1,061 80	2,86
S	S		- 17.72 2	768.5 63	1,274 16	1,274 16	2,33		- 18.65 9	409.8 66	0,212 36	0,212 36	1,13		- 19.15 9	180.6 59	0,212 36	0,212 36	1,16
	I		5.315	3.908. 662	3,008 43	3,008 43	6,41		5.597	3.148. 351	3,008 43	3,008 43	1,73		5.747	2.571. 732	3,008 43	3,008 43	1,59
P	S	00398	44.74 8	341.4 18	0,212 36	0,212 36	1,37	00399	37.04 5	221.6 40	0,212 36	0,212 36	1,42	00400	31.00 4	152.6 24	0,212 36	0,212 36	1,45
	I		- 22.36 9	1.050. 026	1,061 80	1,061 80	2,21		- 18.51 9	628.9 05	1,061 80	1,061 80	1,87		- 15.49 9	276.3 97	1,061 80	1,061 80	1,66
S	S		- 19.70 4	48.99 0	0,212 36	0,212 36	3,75		0	0	0,212 36	0,212 36	-		0	0	0,212 36	0,212 36	-
	I		5.910	2.117. 685	0,353 93	0,353 93	1,52		6.118	1.742. 993	0,353 93	0,353 93	2,01		6.456	1.422. 389	0,353 93	0,353 93	2,78
P	S	00401	26.32 7	162.7 10	0,212 36	0,212 36	1,44	00402	-4.134	193.3 64	0,212 36	0,212 36	1,44	00403	-142	34.26 7	0,212 36	0,212 36	1,51
	I		32.33 8	16.76 0	1,061 80	1,061 80	1,52		0	0	1,061 80	1,061 80	-		142	15.22 9	1,061 80	1,061 80	1,53
S	S		0	0	0,212 36	0,212 36	-		0	0	0,212 36	0,212 36	-		0	0	0,212 36	0,212 36	-
	I		7.167	1.158. 131	0,353 93	0,353 93	4,06		7.277	963.0 02	0,353 93	0,353 93	6,13		7.614	814.8 29	0,353 93	0,353 93	10,02
P	S	00404	936	42.78 0	0,212 36	0,212 36	1,50	00405	2.908	102.3 96	0,212 36	0,212 36	1,47	00406	9.605	86.86 4	0,212 36	0,212 36	1,48



Relazione preliminare sulle strutture

Platee - Verifiche pressoflessione retta allo SLU

Dir	Pos	Nodo	N _{Ed}	M _{Ed}	A _s	A _{df}	CS	Nodo	N _{Ed}	M _{Ed}	A _s	A _{df}	CS	Nodo	N _{Ed}	M _{Ed}	A _s	A _{df}	CS
			[N]	[N-m]	[cm ² /cm]	[cm ² /cm]			[N]	[N-m]	[cm ² /cm]	[cm ² /cm]			[N]	[N-m]	[cm ² /cm]	[cm ² /cm]	
	I		-936	33.74 5	1,061 80	1,061 80	1,54		-6.479	13.29 0	1,061 80	1,061 80	1,53		- 19.21 3	80.32 4	1,061 80	1,061 80	1,56
S	S		0	0	0,212 36	0,212 36	-		0	0	0,212 36	0,212 36	-		0	0	0,212 36	0,212 36	-
	I		29.28 6	941.1 01	0,353 93	0,353 93	6,44		24.93 4	1.102. 490	0,353 93	0,353 93	4,45		20.23 1	1.303. 742	0,353 93	0,353 93	3,22
P	S	00407	- 32.19 2	122.8 56	0,212 36	0,212 36	1,48	00408	- 39.15 6	142.9 44	0,212 36	0,212 36	1,47	00409	- 45.64 8	169.9 77	0,212 36	0,212 36	1,46
	I		- 27.26 3	446.9 55	1,061 80	1,061 80	1,76		- 33.49 6	929.1 28	1,061 80	1,061 80	2,11		- 39.37 5	1.511. 619	1,061 80	1,061 80	2,77
S	S		0	0	0,212 36	0,212 36	-		0	0	0,212 36	0,212 36	-		0	0	0,212 36	0,212 36	-
	I		19.11 7	1.557. 451	0,353 93	0,353 93	2,38		18.40 9	1.893. 243	0,353 93	0,353 93	1,77		16.84 3	2.294. 253	3,008 43	3,008 43	1,53
P	S	00410	- 52.42 4	212.3 03	0,212 36	0,212 36	1,45	00411	- 58.78 0	282.8 80	0,212 36	0,212 36	1,42	00412	- 70.07 0	437.5 94	0,212 36	0,212 36	1,37
	I		- 45.73 7	2.248. 834	1,061 80	1,061 80	4,57		- 52.00 8	3.238. 995	1,061 80	1,061 80	35,2 2		- 55.09 2	4.574. 506	1,061 80	1,061 80	4,38
S	S		0	0	0,212 36	0,212 36	-		0	0	0,212 36	0,212 36	-		- 31.92 3	367.1 82	0,212 36	0,212 36	1,14
	I		14.60 6	2.740. 244	3,008 43	3,008 43	1,63		11.00 2	3.159. 573	3,008 43	3,008 43	1,73		2.289	3.300. 987	3,008 43	3,008 43	1,77
P	S	00413	- 54.94 1	552.9 77	0,212 36	0,212 36	1,32	00414	50.26 2	438.7 20	0,212 36	0,212 36	1,33	00415	29.12 7	1.275. 679	0,212 36	0,212 36	1,10
	I		- 44.68 7	5.901. 622	1,061 80	1,061 80	2,07		- 4.129	4.830. 844	1,061 80	1,061 80	3,58		- 14.56 1	4.564. 294	1,061 80	1,061 80	4,40
S	S		- 96.87 5	832.6 81	0,212 36	0,212 36	1,10		- 174.0 15	1.017. 735	0,212 36	0,212 36	1,09		- 129.1 10	972.6 66	0,212 36	0,212 36	1,09
	I		96.87 5	3.380. 213	3,008 43	3,008 43	1,77		174.0 15	3.519. 150	3,008 43	3,008 43	1,79		129.1 10	3.531. 591	3,008 43	3,008 43	1,81
P	S	00416	54.03 8	1.544. 366	0,212 36	0,212 36	1,03	00417	54.31 1	1.078. 311	0,212 36	0,212 36	1,14	00418	48.55 7	677.9 38	0,212 36	0,212 36	1,25
	I		- 27.01 3	3.722. 168	1,061 80	1,061 80	15,5 5		- 27.15 0	2.699. 714	1,061 80	1,061 80	7,52		- 24.27 3	1.901. 662	1,061 80	1,061 80	3,48
S	S		- 50.01 3	633.3 40	0,212 36	0,212 36	1,11		- 17.40 7	141.1 34	0,212 36	0,212 36	1,16		0	0	0,212 36	0,212 36	-
	I		50.01 3	3.077. 945	3,008 43	3,008 43	1,70		2.636	2.850. 378	3,008 43	3,008 43	1,66		4.017	2.485. 789	3,008 43	3,008 43	1,57
P	S	00419	42.00 9	432.3 02	0,212 36	0,212 36	1,34	00420	35.93 5	281.8 06	0,212 36	0,212 36	1,39	00421	30.01 8	191.3 85	0,212 36	0,212 36	1,43
	I		- 21.00 0	1.306. 390	1,061 80	1,061 80	2,48		- 17.96 4	836.8 44	1,061 80	1,061 80	2,03		- 15.00 6	446.9 11	1,061 80	1,061 80	1,76
S	S		0	0	0,212 36	0,212 36	-		0	0	0,212 36	0,212 36	-		0	0	0,212 36	0,212 36	-
	I		4.806	2.107.	0,353	0,353	1,53		5.354	1.766.	0,353	0,353	1,97		5.686	1.473.	0,353	0,353	2,62



Relazione preliminare sulle strutture

Platee - Verifiche pressoflessione retta allo SLU

Dir	Pos	Nodo	N _{Ed}	M _{Ed}	A _s	A _{df}	CS	Nodo	N _{Ed}	M _{Ed}	A _s	A _{df}	CS	Nodo	N _{Ed}	M _{Ed}	A _s	A _{df}	CS
			[N]	[N-m]	[cm ² /cm]	[cm ² /cm]			[N]	[N-m]	[cm ² /cm]	[cm ² /cm]			[N]	[N-m]	[cm ² /cm]	[cm ² /cm]	
				879	93	93				818	93	93				870	93	93	
P	S	00422	22.71 0	137.0 81	0,212 36	0,212 36	1,45	00423	13.56 2	123.1 71	0,212 36	0,212 36	1,46	00424	3.327	62.17 1	0,212 36	0,212 36	1,49
	I		27.29 0	114.5 73	1,061 80	1,061 80	1,56		4.286	15.99 1	1,061 80	1,061 80	1,53		-3.327	23.74 5	1,061 80	1,061 80	1,53
S	S		0	0	0,212 36	0,212 36	-		0	0	0,212 36	0,212 36	-		0	0	0,212 36	0,212 36	-
	I		5.842	1.244. 750	0,353 93	0,353 93	3,53		6.750	1.068. 079	0,353 93	0,353 93	4,81		8.307	912.8 67	0,353 93	0,353 93	7,06
P	S	00425	1.384	52.27 1	0,212 36	0,212 36	1,50	00426	3.358	108.7 07	0,212 36	0,212 36	1,47	00427	- 26.93 4	124.6 39	0,212 36	0,212 36	1,47
	I		-1.384	47.78 2	1,061 80	1,061 80	1,54		6.710	42.10 4	1,061 80	1,061 80	1,54		- 23.24 4	229.6 88	1,061 80	1,061 80	1,64
S	S		0	0	0,212 36	0,212 36	-		0	0	0,212 36	0,212 36	-		0	0	0,212 36	0,212 36	-
	I		14.63 7	919.8 70	0,353 93	0,353 93	6,89		20.03 0	1.029. 588	0,353 93	0,353 93	5,19		19.01 3	1.193. 490	0,353 93	0,353 93	3,80
P	S	00428	- 32.31 6	130.6 24	0,212 36	0,212 36	1,47	00429	- 35.67 9	146.2 96	0,212 36	0,212 36	1,47	00430	- 38.51 5	162.9 24	0,212 36	0,212 36	1,46
	I		- 27.64 9	689.3 78	1,061 80	1,061 80	1,92		- 30.60 9	1.204. 775	1,061 80	1,061 80	2,37		- 33.40 4	1.826. 066	1,061 80	1,061 80	3,32
S	S		0	0	0,212 36	0,212 36	-		0	0	0,212 36	0,212 36	-		0	0	0,212 36	0,212 36	-
	I		17.63 8	1.453. 644	0,353 93	0,353 93	2,67		14.98 2	1.745. 468	3,008 43	3,008 43	1,43		11.65 4	2.015. 974	3,008 43	3,008 43	1,48
P	S	00431	- 43.68 8	176.8 64	0,212 36	0,212 36	1,46	00432	- 41.72 6	222.7 57	0,212 36	0,212 36	1,44	00433	- 29.10 2	194.2 12	0,212 36	0,212 36	1,45
	I		- 35.10 8	2.583. 044	1,061 80	1,061 80	6,45		- 33.55 0	3.454. 209	1,061 80	1,061 80	78,7 2		- 25.08 1	4.240. 597	1,061 80	1,061 80	6,08
S	S		- 14.41 2	51.21 0	0,212 36	0,212 36	1,17		- 31.96 0	238.1 31	0,212 36	0,212 36	1,15		- 68.02 1	416.2 45	0,212 36	0,212 36	1,14
	I		4.273	2.228. 032	3,008 43	3,008 43	1,52		112	2.318. 238	3,008 43	3,008 43	1,54		68.02 1	2.227. 649	3,008 43	3,008 43	1,51
P	S	00434	24.11 4	27.73 5	0,212 36	0,212 36	1,50	00435	36.16 5	190.2 08	0,212 36	0,212 36	1,43	00436	18.47 8	673.0 61	0,212 36	0,212 36	1,26
	I		-8.571	4.347. 052	1,061 80	1,061 80	5,40		-844	3.571. 225	1,061 80	1,061 80	28,6 0		-5.542	3.401. 508	1,061 80	1,061 80	NS
S	S		- 103.4 54	542.1 54	0,212 36	0,212 36	1,13		- 119.6 57	481.4 98	0,212 36	0,212 36	1,14		- 78.84 8	487.9 43	0,212 36	0,212 36	1,13
	I		103.4 54	2.337. 873	3,008 43	3,008 43	1,53		119.6 57	2.265. 701	3,008 43	3,008 43	1,51		78.84 8	2.305. 800	3,008 43	3,008 43	1,52
P	S	00437	31.17 0	843.1 04	0,212 36	0,212 36	1,21	00438	35.12 8	696.9 48	0,212 36	0,212 36	1,25	00439	34.40 3	496.5 02	0,212 36	0,212 36	1,32
	I		- 15.58 2	2.826. 654	1,061 80	1,061 80	9,18		- 17.56 0	2.156. 159	1,061 80	1,061 80	4,19		- 17.19 8	1.555. 228	1,061 80	1,061 80	2,82
S	S		- 43.96 8	334.7 07	0,212 36	0,212 36	1,14		- 20.19 4	142.1 57	0,212 36	0,212 36	1,16		0	0	0,212 36	0,212 36	-



Relazione preliminare sulle strutture

Platee - Verifiche pressoflessione retta allo SLU

Dir	Pos	Nodo	N _{Ed}	M _{Ed}	A _s	A _{df}	CS	Nodo	N _{Ed}	M _{Ed}	A _s	A _{df}	CS	Nodo	N _{Ed}	M _{Ed}	A _s	A _{df}	CS
			[N]	[N-m]	[cm ² /cm]	[cm ² /cm]			[N]	[N-m]	[cm ² /cm]	[cm ² /cm]			[N]	[N-m]	[cm ² /cm]	[cm ² /cm]	
	I		-1.132	2.203.312	3,008 43	3,008 43	1,52		1.382	2.108.559	3,008 43	3,008 43	1,50		2.996	1.909.110	3,008 43	3,008 43	1,46
P	S	00440	31.85 9	338.4 04	0,212 36	0,212 36	1,37	00441	28.96 9	232.2 30	0,212 36	0,212 36	1,41	00442	25.68 1	173.1 85	0,212 36	0,212 36	1,44
	I		- 15.92 6	1.056. 248	1,061 80	1,061 80	2,22		- 14.48 1	640.8 62	1,061 80	1,061 80	1,88		- 12.83 8	282.1 62	1,061 80	1,061 80	1,66
S	S		0	0	0,212 36	0,212 36	-		0	0	0,212 36	0,212 36	-		0	0	0,212 36	0,212 36	-
	I		4.110	1.663. 388	0,353 93	0,353 93	2,16		4.997	1.408. 298	0,353 93	0,353 93	2,83		5.632	1.168. 650	0,353 93	0,353 93	3,99
P	S	00443	14.61 7	159.8 97	0,212 36	0,212 36	1,45	00444	2.369	68.11 3	0,212 36	0,212 36	1,49	00445	93	34.00 0	0,212 36	0,212 36	1,51
	I		8.199	51.62 8	1,061 80	1,061 80	1,54		-2.369	48.40 1	1,061 80	1,061 80	1,54		-93	55.32 8	1,061 80	1,061 80	1,55
S	S		0	0	0,212 36	0,212 36	-		0	0	0,212 36	0,212 36	-		0	0	0,212 36	0,212 36	-
	I		6.169	1.032. 943	0,353 93	0,353 93	5,18		6.763	867.8 50	0,353 93	0,353 93	8,17		8.314	824.5 09	0,353 93	0,353 93	9,62
P	S	00446	558	60.07 4	0,212 36	0,212 36	1,49	00447	12.15 2	267.3 33	0,212 36	0,212 36	1,41	00448	- 30.76 7	113.2 25	0,212 36	0,212 36	1,48
	I		-558	85.85 3	1,061 80	1,061 80	1,56		10.64 8	39.61 1	1,061 80	1,061 80	1,53		- 25.78 5	477.2 37	1,061 80	1,061 80	1,78
S	S		0	0	0,212 36	0,212 36	-		0	0	0,212 36	0,212 36	-		0	0	0,212 36	0,212 36	-
	I		11.91 7	735.1 76	0,353 93	0,353 93	15,1 9		12.92 7	619.0 86	0,353 93	0,353 93	62,2 1		10.08 9	1.039. 811	0,353 93	0,353 93	5,10
P	S	00449	- 29.16 6	120.2 86	0,212 36	0,212 36	1,48	00450	- 29.34 7	120.2 66	0,212 36	0,212 36	1,48	00451	- 29.98 8	109.9 40	0,212 36	0,212 36	1,48
	I		- 24.35 8	916.7 97	1,061 80	1,061 80	2,09		- 24.80 0	1.438. 024	1,061 80	1,061 80	2,65		- 24.80 0	2.034. 860	1,061 80	1,061 80	3,83
S	S		0	0	0,212 36	0,212 36	-		0	0	0,212 36	0,212 36	-		- 14.93 0	54.07 0	0,212 36	0,212 36	3,72
	I		8.314	1.297. 681	0,353 93	0,353 93	3,26		6.036	1.487. 622	0,353 93	0,353 93	2,58		3.433	1.622. 145	0,353 93	0,353 93	2,25
P	S	00452	- 26.79 8	111.0 12	0,212 36	0,212 36	1,48	00453	- 17.95 9	53.79 3	0,212 36	0,212 36	1,50	00454	0	0	0,212 36	0,212 36	-
	I		- 22.53 7	2.670. 504	1,061 80	1,061 80	7,20		- 16.72 4	3.227. 345	1,061 80	1,061 80	31,8 7		-7.790	3.425. 655	1,061 80	1,061 80	NS
S	S		- 28.58 0	156.1 29	0,212 36	0,212 36	3,22		- 46.49 8	245.2 84	0,212 36	0,212 36	2,90		- 71.16 4	328.4 32	0,212 36	0,212 36	2,66
	I		64	1.676. 570	0,353 93	0,353 93	2,14		1.896	1.640. 214	0,353 93	0,353 93	2,21		71.16 4	1.626. 570	0,353 93	0,353 93	2,17
P	S	00455	0	0	0,212 36	0,212 36	-	00456	0	0	0,212 36	0,212 36	-	00457	13.11 6	348.8 72	0,212 36	0,212 36	1,37
	I		-431	2.983. 201	1,061 80	1,061 80	12,6 5		-1.214	2.939. 716	1,061 80	1,061 80	11,4 3		-3.934	2.667. 422	1,061 80	1,061 80	7,13
S	S		- 89.60	309.1 72	0,212 36	0,212 36	2,74		- 81.43	324.3 54	0,212 36	0,212 36	2,68		- 56.49	291.6 04	0,212 36	0,212 36	2,76



Relazione preliminare sulle strutture

Platee - Verifiche pressoflessione retta allo SLU

Dir	Pos	Nodo	N _{Ed}	M _{Ed}	A _s	A _{df}	CS	Nodo	N _{Ed}	M _{Ed}	A _s	A _{df}	CS	Nodo	N _{Ed}	M _{Ed}	A _s	A _{df}	CS
			[N]	[N-m]	[cm ² /cm]	[cm ² /cm]			[N]	[N-m]	[cm ² /cm]	[cm ² /cm]			[N]	[N-m]	[cm ² /cm]	[cm ² /cm]	
	I		3 89.60 3	1.584. 083	0,353 93	0,353 93	2,25		8 4.625	1.710. 528	0,353 93	0,353 93	2,07		8 5.152	1.689. 426	0,353 93	0,353 93	2,11
P	S	00458	20.60 3	497.8 10	0,212 36	0,212 36	1,32	00459	24.25 0	452.6 69	0,212 36	0,212 36	1,33	00460	24.99 9	353.7 07	0,212 36	0,212 36	1,37
	I		- 10.29 9	2.215. 404	1,061 80	1,061 80	4,40		- 12.12 2	1.715. 516	1,061 80	1,061 80	3,09		- 12.49 7	1.240. 626	1,061 80	1,061 80	2,40
S	S		- 36.71 5	202.8 65	0,212 36	0,212 36	3,04		- 19.68 9	104.6 05	0,212 36	0,212 36	3,45		-9.814	11.39 5	0,212 36	0,212 36	3,97
	I		-803	1.632. 984	0,353 93	0,353 93	2,23		1.061	1.565. 940	0,353 93	0,353 93	2,38		2.506	1.440. 470	0,353 93	0,353 93	2,73
P	S	00461	24.48 2	260.4 47	0,212 36	0,212 36	1,40	00462	24.89 7	189.5 59	0,212 36	0,212 36	1,43	00463	25.76 5	165.6 35	0,212 36	0,212 36	1,44
	I		- 12.23 8	819.7 32	1,061 80	1,061 80	2,01		- 12.44 6	461.8 94	1,061 80	1,061 80	1,76		31.10 7	147.6 17	1,061 80	1,061 80	1,58
S	S		0	0	0,212 36	0,212 36	-		0	0	0,212 36	0,212 36	-		0	0	0,212 36	0,212 36	-
	I		3.696	1.272. 632	0,353 93	0,353 93	3,39		4.756	1.064. 000	0,353 93	0,353 93	4,85		5.539	736.4 80	0,353 93	0,353 93	15,11
P	S	00464	-1.622	73.78 1	0,212 36	0,212 36	1,49	00465	1.057	43.00 9	0,212 36	0,212 36	1,50	00466	4.410	68.98 5	0,212 36	0,212 36	1,49
	I		1.622	90.12 2	1,061 80	1,061 80	1,56		-1.057	70.96 2	1,061 80	1,061 80	1,55		-4.410	151.1 06	1,061 80	1,061 80	1,59
S	S		0	0	0,212 36	0,212 36	-		0	0	0,212 36	0,212 36	-		0	0	0,212 36	0,212 36	-
	I		5.347	644.9 88	0,353 93	0,353 93	36,9 1		6.096	727.2 99	0,353 93	0,353 93	16,0 6		10.39 9	688.0 28	0,353 93	0,353 93	21,94
P	S	00467	- 23.43 1	88.12 0	0,212 36	0,212 36	1,49	00468	- 21.89 0	93.20 9	0,212 36	0,212 36	1,49	00469	- 22.11 6	90.60 8	0,212 36	0,212 36	1,49
	I		- 20.03 2	281.9 99	1,061 80	1,061 80	1,67		- 17.19 6	649.0 41	1,061 80	1,061 80	1,89		- 17.72 3	1.081. 368	1,061 80	1,061 80	2,24
S	S		0	0	0,212 36	0,212 36	-		0	0	0,212 36	0,212 36	-		0	0	0,212 36	0,212 36	-
	I		11.33 3	820.9 77	0,353 93	0,353 93	9,75		8.194	945.7 83	0,353 93	0,353 93	6,42		5.481	1.071. 106	0,353 93	0,353 93	4,78
P	S	00470	- 20.65 2	64.36 5	0,212 36	0,212 36	1,50	00471	- 17.86 6	48.89 3	0,212 36	0,212 36	1,50	00472	0	0	0,212 36	0,212 36	-
	I		- 17.94 6	1.577. 012	1,061 80	1,061 80	2,85		- 16.11 2	2.075. 981	1,061 80	1,061 80	3,94		- 12.08 9	2.513. 149	1,061 80	1,061 80	5,89
S	S		- 14.05 8	45.26 3	0,212 36	0,212 36	3,77		- 24.44 1	108.0 76	0,212 36	0,212 36	3,44		- 37.29 3	178.4 38	0,212 36	0,212 36	3,14
	I		3.290	1.155. 963	0,353 93	0,353 93	4,08		686	1.197. 368	0,353 93	0,353 93	3,81		1.087	1.227. 242	0,353 93	0,353 93	3,63
P	S	00473	0	0	0,212 36	0,212 36	-	00474	0	0	0,212 36	0,212 36	-	00475	0	0	0,212 36	0,212 36	-
	I		-6.700	2.745. 206	1,061 80	1,061 80	8,00		-1.232	2.644. 714	1,061 80	1,061 80	6,91		-244	2.424. 956	1,061 80	1,061 80	5,34
S	S		- 53.03	235.1	0,212	0,212	2,94		- 67.11	237.5	0,212	0,212	2,95		- 70.85	221.5	0,212	0,212	3,01



Relazione preliminare sulle strutture

Platee - Verifiche pressoflessione retta allo SLU

Dir	Pos	Nodo	N _{Ed}	M _{Ed}	A _s	A _{df}	CS	Nodo	N _{Ed}	M _{Ed}	A _s	A _{df}	CS	Nodo	N _{Ed}	M _{Ed}	A _s	A _{df}	CS
			[N]	[N-m]	[cm ² /cm]	[cm ² /cm]			[N]	[N-m]	[cm ² /cm]	[cm ² /cm]			[N]	[N-m]	[cm ² /cm]	[cm ² /cm]	
	I		6 1.909	50 1.251.792	36 0,35393	36 0,35393	3,50		8 1.276	44 1.230.565	36 0,35393	36 0,35393	3,61		7 1.065	90 1.230.913	36 0,35393	36 0,35393	3,61
P	S	00476	0	0	0,21236	0,21236	-	00477	9.866	183.279	0,21236	0,21236	1,44	00478	14.670	299.011	0,21236	0,21236	1,39
	I		-1.332	2.401.384	1,06180	1,06180	5,21		-2.959	2.126.561	1,06180	1,06180	4,08		-7.333	1.747.988	1,06180	1,06180	3,14
S	S		-59.833	238.525	0,21236	0,21236	2,94		-43.633	205.795	0,21236	0,21236	3,04		-30.316	134.131	0,21236	0,21236	3,32
	I		3.711	1.293.686	0,35393	0,35393	3,29		3.180	1.274.712	0,35393	0,35393	3,38		-284	1.195.674	0,35393	0,35393	3,82
P	S	00479	17.464	296.996	0,21236	0,21236	1,39	00480	17.968	254.251	0,21236	0,21236	1,41	00481	17.353	203.666	0,21236	0,21236	1,43
	I		-8.730	1.350.382	1,06180	1,06180	2,53		-8.982	955.096	1,06180	1,06180	2,12		-8.675	591.352	1,06180	1,06180	1,84
S	S		-17.696	75.558	0,21236	0,21236	3,60		-10.267	15.408	0,21236	0,21236	3,95		0	0	0,21236	0,21236	-
	I		1.133	1.143.360	0,35393	0,35393	4,17		2.260	1.056.462	0,35393	0,35393	4,94		3.533	944.158	0,35393	0,35393	6,46
P	S	00482	17.003	152.990	0,21236	0,21236	1,45	00483	14.960	135.914	0,21236	0,21236	1,46	00484	3.183	34.720	0,21236	0,21236	1,50
	I		-8.500	303.086	1,06180	1,06180	1,67		-28	149.496	1,06180	1,06180	1,59		-3.183	108.759	1,06180	1,06180	1,57
S	S		0	0	0,21236	0,21236	-		0	0	0,21236	0,21236	-		0	0	0,21236	0,21236	-
	I		4.880	805.811	0,35393	0,35393	10,44		5.944	717.893	0,35393	0,35393	17,17		5.155	628.946	0,35393	0,35393	49,41
P	S	00485	-381	11.024	0,21236	0,21236	1,52	00486	423	41.221	0,21236	0,21236	1,50	00487	-7.819	56.304	0,21236	0,21236	1,50
	I		4.220	280.877	1,06180	1,06180	1,66		27	279.722	1,06180	1,06180	1,66		-5.454	454.024	1,06180	1,06180	1,76
S	S		0	0	0,21236	0,21236	-		0	0	0,21236	0,21236	-		0	0	0,21236	0,21236	-
	I		11.643	653.710	0,35393	0,35393	32,36		9.297	685.757	0,35393	0,35393	22,43		7.633	696.730	0,35393	0,35393	20,31
P	S	00488	-14.794	70.361	0,21236	0,21236	1,49	00489	-14.447	34.766	0,21236	0,21236	1,51	00490	-12.336	11.693	0,21236	0,21236	1,52
	I		-10.297	733.999	1,06180	1,06180	1,94		-13.327	1.186.692	1,06180	1,06180	2,35		-12.241	1.605.221	1,06180	1,06180	2,90
S	S		0	0	0,21236	0,21236	-		-12.177	37.500	0,21236	0,21236	3,81		-21.984	89.279	0,21236	0,21236	3,53
	I		4.761	737.819	0,35393	0,35393	14,98		3.498	767.318	0,35393	0,35393	12,61		-839	831.382	0,35393	0,35393	9,40
P	S	00491	0	0	0,21236	0,21236	-	00492	0	0	0,21236	0,21236	-	00493	0	0	0,21236	0,21236	-
	I		-9.146	1.964.905	1,06180	1,06180	3,62		-5.562	2.204.444	1,06180	1,06180	4,35		-1.504	2.234.732	1,06180	1,06180	4,46
S	S		-30.994	143.800	0,21236	0,21236	3,28		-41.702	183.122	0,21236	0,21236	3,13		-52.116	192.068	0,21236	0,21236	3,10



Relazione preliminare sulle strutture

Platee - Verifiche pressoflessione retta allo SLU

Dir	Pos	Nodo	N _{Ed}	M _{Ed}	A _s	A _{df}	CS	Nodo	N _{Ed}	M _{Ed}	A _s	A _{df}	CS	Nodo	N _{Ed}	M _{Ed}	A _s	A _{df}	CS
			[N]	[N-m]	[cm ² /cm]	[cm ² /cm]			[N]	[N-m]	[cm ² /cm]	[cm ² /cm]			[N]	[N-m]	[cm ² /cm]	[cm ² /cm]	
	I		390	889.0 26	0,353 93	0,353 93	7,63		1.209	907.9 05	0,353 93	0,353 93	7,19		1.129	893.8 87	0,353 93	0,353 93	7,51
P	S	00494	0	0	0,212 36	0,212 36	-	00495	0	0	0,212 36	0,212 36	-	00496	0	0	0,212 36	0,212 36	-
	I		-213	2.086. 985	1,061 80	1,061 80	3,95		-458	2.068. 132	1,061 80	1,061 80	3,90		-1.245	1.956. 628	1,061 80	1,061 80	3,60
S	S		- 58.44 6	174.0 61	0,212 36	0,212 36	3,19		- 55.58 4	183.4 67	0,212 36	0,212 36	3,14		- 46.36 7	187.0 76	0,212 36	0,212 36	3,12
	I		245	864.0 89	0,353 93	0,353 93	8,30		1.630	912.7 28	0,353 93	0,353 93	7,08		2.605	952.6 08	0,353 93	0,353 93	6,32
P	S	00497	7.606	93.00 7	0,212 36	0,212 36	1,48	00498	11.09 7	181.0 28	0,212 36	0,212 36	1,44	00499	13.21 2	199.0 71	0,212 36	0,212 36	1,43
	I		-2.281	1.697. 172	1,061 80	1,061 80	3,05		-3.328	1.371. 277	1,061 80	1,061 80	2,55		-6.605	1.041. 612	1,061 80	1,061 80	2,20
S	S		- 35.36 9	160.3 69	0,212 36	0,212 36	3,21		- 25.44 5	111.7 56	0,212 36	0,212 36	3,42		- 18.06 0	57.55 1	0,212 36	0,212 36	3,70
	I		1.673	940.9 07	0,353 93	0,353 93	6,52		-629	879.5 93	0,353 93	0,353 93	7,87		1.432	786.1 99	0,353 93	0,353 93	11,46
P	S	00500	11.96 7	196.8 11	0,212 36	0,212 36	1,43	00501	7.759	149.7 64	0,212 36	0,212 36	1,45	00502	1.888	93.56 8	0,212 36	0,212 36	1,48
	I		-5.982	680.6 28	1,061 80	1,061 80	1,90		-3.879	392.9 82	1,061 80	1,061 80	1,72		-944	251.7 88	1,061 80	1,061 80	1,64
S	S		- 11.62 6	13.29 2	0,212 36	0,212 36	3,97		0	0	0,212 36	0,212 36	-		0	0	0,212 36	0,212 36	-
	I		1.965	733.8 58	0,353 93	0,353 93	15,3 9		3.488	695.1 46	0,353 93	0,353 93	20,6 2		3.993	665.8 17	0,353 93	0,353 93	27,80
P	S	00503	-2.110	47.38 7	0,212 36	0,212 36	1,50	00504	9.084	5.594	0,212 36	0,212 36	1,51	00505	9.580	15.24 9	0,212 36	0,212 36	1,51
	I		1.055	187.3 32	1,061 80	1,061 80	1,61		8.737	341.8 62	1,061 80	1,061 80	1,69		9.196	391.4 00	1,061 80	1,061 80	1,72
S	S		0	0	0,212 36	0,212 36	-		0	0	0,212 36	0,212 36	-		0	0	0,212 36	0,212 36	-
	I		5.712	635.3 25	0,353 93	0,353 93	43,5 4		11.74 4	631.3 15	0,353 93	0,353 93	46,9 3		5.880	505.3 91	0,353 93	0,353 93	30,72
P	S	00506	4.459	10.38 1	0,212 36	0,212 36	1,51	00507	- 21.49 5	32.56 0	0,212 36	0,212 36	1,51	00508	0	0	0,212 36	0,212 36	-
	I		6.835	413.8 17	1,061 80	1,061 80	1,73		- 15.63 0	852.9 44	1,061 80	1,061 80	2,04		- 10.46 5	1.230. 804	1,061 80	1,061 80	2,39
S	S		- 16.07 4	34.60 9	0,212 36	0,212 36	3,84		- 16.88 2	71.67 1	0,212 36	0,212 36	3,62		- 17.77 5	86.84 8	0,212 36	0,212 36	3,54
	I		-1.624	414.6 17	0,353 93	0,353 93	14,0 7		16.88 2	411.5 08	0,353 93	0,353 93	13,6 9		-1.446	543.7 20	0,353 93	0,353 93	62,06
P	S	00509	0	0	0,212 36	0,212 36	-	00510	0	0	0,212 36	0,212 36	-	00511	0	0	0,212 36	0,212 36	-
	I		-7.227	1.519. 424	1,061 80	1,061 80	2,76		-4.346	1.754. 149	1,061 80	1,061 80	3,15		-1.474	1.853. 123	1,061 80	1,061 80	3,35
S	S		- 26.72 7	121.1 99	0,212 36	0,212 36	3,38		- 34.24 1	151.2 55	0,212 36	0,212 36	3,25		- 41.45 4	162.4 37	0,212 36	0,212 36	3,21
	I		-292	604.8	0,353	0,353	NS		692	619.7	0,353	0,353	61,4		818	605.6	0,353	0,353	97,25



Relazione preliminare sulle strutture

Platee - Verifiche pressoflessione retta allo SLU

Dir	Pos	Nodo	N _{Ed}	M _{Ed}	A _s	A _{df}	CS	Nodo	N _{Ed}	M _{Ed}	A _s	A _{df}	CS	Nodo	N _{Ed}	M _{Ed}	A _s	A _{df}	CS
			[N]	[N-m]	[cm ² /cm]	[cm ² /cm]			[N]	[N-m]	[cm ² /cm]	[cm ² /cm]			[N]	[N-m]	[cm ² /cm]	[cm ² /cm]	
				93	93	93				05	93	93	8			73	93	93	
P	S	00512	0	0	0,212 36	0,212 36	-	00513	0	0	0,212 36	0,212 36	-	00514	0	0	0,212 36	0,212 36	-
	I		-605	1.839. 602	1,061 80	1,061 80	3,32		-132	1.742. 350	1,061 80	1,061 80	3,13		-551	1.729. 780	1,061 80	1,061 80	3,10
S	S		- 47.68 1	152.9 30	0,212 36	0,212 36	3,26		- 49.15 6	144.5 50	0,212 36	0,212 36	3,30		- 44.34 2	157.1 98	0,212 36	0,212 36	3,24
	I		392	582.6 41	0,353 93	0,353 93	NS		308	582.9 19	0,353 93	0,353 93	NS		1.341	635.1 92	0,353 93	0,353 93	43,72
P	S	00515	0	0	0,212 36	0,212 36	-	00516	5.879	46.20 7	0,212 36	0,212 36	1,50	00517	9.103	106.0 65	0,212 36	0,212 36	1,47
	I		-1.038	1.581. 606	1,061 80	1,061 80	2,85		-1.763	1.334. 804	1,061 80	1,061 80	2,51		-2.730	1.074. 032	1,061 80	1,061 80	2,23
S	S		- 37.30 0	154.5 77	0,212 36	0,212 36	3,24		- 30.12 1	131.5 26	0,212 36	0,212 36	3,34		- 21.41 6	97.85 0	0,212 36	0,212 36	3,49
	I		1.713	666.2 25	0,353 93	0,353 93	27,6 9		410	663.2 55	0,353 93	0,353 93	28,7 1		-1.980	609.5 47	0,353 93	0,353 93	83,87
P	S	00518	12.92 6	143.8 93	0,212 36	0,212 36	1,45	00519	13.14 5	219.6 33	0,212 36	0,212 36	1,42	00520	- 10.96 0	69.72 6	0,212 36	0,212 36	1,49
	I		-6.462	782.7 35	1,061 80	1,061 80	1,98		-6.571	348.2 32	1,061 80	1,061 80	1,70		5.479	352.2 94	1,061 80	1,061 80	1,69
S	S		- 14.04 4	69.60 6	0,212 36	0,212 36	3,63		- 21.39 2	52.96 2	0,212 36	0,212 36	3,73		0	0	0,212 36	0,212 36	-
	I		-4.027	518.6 11	0,353 93	0,353 93	37,3 5		-5.955	460.2 05	0,353 93	0,353 93	19,3 9		-3.546	476.6 71	0,353 93	0,353 93	22,41
P	S	00521	-7.697	45.83 1	0,212 36	0,212 36	1,50	00522	0	0	0,212 36	0,212 36	-	00523	0	0	0,212 36	0,212 36	-
	I		3.848	270.6 39	1,061 80	1,061 80	1,65		8.771	393.8 27	1,061 80	1,061 80	1,72		11.77 0	443.3 57	1,061 80	1,061 80	1,74
S	S		0	0	0,212 36	0,212 36	-		0	0	0,212 36	0,212 36	-		0	0	0,212 36	0,212 36	-
	I		4.069	560.9 73	0,353 93	0,353 93	NS		-3.284	497.2 74	0,353 93	0,353 93	27,8 8		160	401.9 19	0,353 93	0,353 93	13,06
P	S	00524	-8.377	53.26 2	0,212 36	0,212 36	1,50	00525	0	0	0,212 36	0,212 36	-	00526	0	0	0,212 36	0,212 36	-
	I		-6.469	521.5 97	1,061 80	1,061 80	1,80		-8.332	936.3 08	1,061 80	1,061 80	2,10		-4.278	1.163. 850	1,061 80	1,061 80	2,32
S	S		0	0	0,212 36	0,212 36	-		-9.103	66.96 9	0,212 36	0,212 36	3,63		- 22.46 5	104.1 87	0,212 36	0,212 36	3,46
	I		-6.427	324.0 40	0,353 93	0,353 93	9,14		-1.422	322.6 11	0,353 93	0,353 93	9,07		22.46 5	344.8 10	0,353 93	0,353 93	9,81
P	S	00527	0	0	0,212 36	0,212 36	-	00528	0	0	0,212 36	0,212 36	-	00529	0	0	0,212 36	0,212 36	-
	I		-2.681	1.348. 214	1,061 80	1,061 80	2,53		-2.215	1.511. 079	1,061 80	1,061 80	2,74		-753	1.572. 761	1,061 80	1,061 80	2,84
S	S		- 30.86 4	129.2 48	0,212 36	0,212 36	3,35		- 33.13 0	142.5 26	0,212 36	0,212 36	3,29		- 38.41 7	137.1 44	0,212 36	0,212 36	3,32
	I		30.86 4	356.5 24	0,353 93	0,353 93	10,2 8		33.13 0	339.5 88	0,353 93	0,353 93	9,55		38.41 7	317.3 40	0,353 93	0,353 93	8,72



Relazione preliminare sulle strutture

Platee - Verifiche pressoflessione retta allo SLU

Dir	Pos	Nodo	N _{Ed}	M _{Ed}	A _s	A _{df}	CS	Nodo	N _{Ed}	M _{Ed}	A _s	A _{df}	CS	Nodo	N _{Ed}	M _{Ed}	A _s	A _{df}	CS
			[N]	[N-m]	[cm ² /cm]	[cm ² /cm]			[N]	[N-m]	[cm ² /cm]	[cm ² /cm]			[N]	[N-m]	[cm ² /cm]	[cm ² /cm]	
P	S	00530	0	0	0,212 36	0,212 36	-	00531	0	0	0,212 36	0,212 36	-	00532	0	0	0,212 36	0,212 36	-
	I		-160	1.485. 636	1,061 80	1,061 80	2,71		-281	1.482. 432	1,061 80	1,061 80	2,70		-554	1.427. 871	1,061 80	1,061 80	2,63
S	S		-43.22 0	121.3 97	0,212 36	0,212 36	3,40		-40.87 8	129.0 72	0,212 36	0,212 36	3,36		-34.93 4	138.4 85	0,212 36	0,212 36	3,31
	I	43.22 0	300.0 84	0,353 93	0,353 93	8,17	40.87 8	310.8 68	0,353 93	0,353 93	8,51	1.410	401.2 96	0,353 93	0,353 93	13,01			
P	S	00533	0	0	0,212 36	0,212 36	-	00534	3.511	19.15 5	0,212 36	0,212 36	1,51	00535	5.964	56.70 3	0,212 36	0,212 36	1,49
	I		-721	1.243. 183	1,061 80	1,061 80	2,40		-1.053	1.025. 356	1,061 80	1,061 80	2,18		-1.789	841.4 40	1,061 80	1,061 80	2,02
S	S		-31.97 3	132.6 38	0,212 36	0,212 36	3,33		-27.21 6	111.0 77	0,212 36	0,212 36	3,43		-14.30 9	80.25 8	0,212 36	0,212 36	3,57
	I	2.230	441.6 04	0,353 93	0,353 93	16,7 5	-1.573	442.2 37	0,353 93	0,353 93	16,8 5	-4.078	398.1 57	0,353 93	0,353 93	12,82			
P	S	00536	8.617	125.0 93	0,212 36	0,212 36	1,46	00537	-9.540	19.77 9	0,212 36	0,212 36	1,51	00538	-11.60 5	27.91 0	0,212 36	0,212 36	1,51
	I		-4.307	555.7 26	1,061 80	1,061 80	1,82		2.861	365.3 04	1,061 80	1,061 80	1,70		3.481	325.9 92	1,061 80	1,061 80	1,68
S	S		-1.224	19.37 7	0,212 36	0,212 36	3,91		0	0	0,212 36	0,212 36	-		0	0	0,212 36	0,212 36	-
	I	-9.559	344.8 98	0,353 93	0,353 93	9,96	3.445	377.5 01	0,353 93	0,353 93	11,4 8	-4.891	467.0 51	0,353 93	0,353 93	20,54			
P	S	00539	0	0	0,212 36	0,212 36	-	00540	0	0	0,212 36	0,212 36	-	00541	0	0	0,212 36	0,212 36	-
	I		6.682	558.7 37	1,061 80	1,061 80	1,82		3.477	755.1 64	1,061 80	1,061 80	1,95		5.582	921.1 35	1,061 80	1,061 80	2,08
S	S		0	0	0,212 36	0,212 36	-		5.891	24.84 5	0,212 36	0,212 36	3,86		-9.807	76.19 5	0,212 36	0,212 36	3,58
	I	-2.241	330.4 68	0,353 93	0,353 93	9,35	-1.038	295.7 26	0,353 93	0,353 93	8,21	9.807	214.5 82	0,353 93	0,353 93	6,37			
P	S	00542	0	0	0,212 36	0,212 36	-	00543	0	0	0,212 36	0,212 36	-	00544	0	0	0,212 36	0,212 36	-
	I		1.827	930.9 10	1,061 80	1,061 80	2,09		-4.781	1.195. 842	1,061 80	1,061 80	2,35		-907	1.329. 981	1,061 80	1,061 80	2,50
S	S		-31.86 3	100.9 12	0,212 36	0,212 36	3,49		27.77 6	131.6 05	0,212 36	0,212 36	3,33		-28.00 2	122.4 46	0,212 36	0,212 36	3,37
	I	31.86 3	197.8 05	0,353 93	0,353 93	6,03	27.77 6	164.4 10	0,353 93	0,353 93	5,55	28.00 2	145.6 06	0,353 93	0,353 93	5,31			
P	S	00545	0	0	0,212 36	0,212 36	-	00546	0	0	0,212 36	0,212 36	-	00547	0	0	0,212 36	0,212 36	-
	I		80	1.282. 617	1,061 80	1,061 80	2,45		-11	1.218. 816	1,061 80	1,061 80	2,37		-120	1.257. 170	1,061 80	1,061 80	2,42
S	S		-36.87 3	111.4 22	0,212 36	0,212 36	3,44		-40.52 7	104.3 99	0,212 36	0,212 36	3,48		-31.14 9	114.2 84	0,212 36	0,212 36	3,42
	I	36.87 3	135.0 92	0,353 93	0,353 93	5,17	40.52 7	131.8 37	0,353 93	0,353 93	5,12	31.14 9	142.0 44	0,353 93	0,353 93	5,26			
P	S	00548	0	0	0,212 36	0,212 36	-	00549	0	0	0,212 36	0,212 36	-	00550	0	0	0,212 36	0,212 36	-



Relazione preliminare sulle strutture

Platee - Verifiche pressoflessione retta allo SLU

Dir	Pos	Nodo	N _{Ed}	M _{Ed}	A _s	A _{df}	CS	Nodo	N _{Ed}	M _{Ed}	A _s	A _{df}	CS	Nodo	N _{Ed}	M _{Ed}	A _s	A _{df}	CS
			[N]	[N-m]	[cm ² /cm]	[cm ² /cm]			[N]	[N-m]	[cm ² /cm]	[cm ² /cm]			[N]	[N-m]	[cm ² /cm]	[cm ² /cm]	
	I		-1.033	1.164.203	1,061 80	1,061 80	2,32		218	842.6 20	1,061 80	1,061 80	2,02		2.067	812.5 57	1,061 80	1,061 80	2,00
S	S		-25.98 1	123.5 46	0,212 36	0,212 36	3,37		-35.51 6	106.1 58	0,212 36	0,212 36	3,47		-17.78 9	94.35 6	0,212 36	0,212 36	3,50
	I		336	192.7 49	0,353 93	0,353 93	6,03		-1.756	277.6 76	0,353 93	0,353 93	7,73		-451	266.7 72	0,353 93	0,353 93	7,46
P	S	00551	-3.990	18.34 8	0,212 36	0,212 36	1,51	00552	-5.218	41.08 6	0,212 36	0,212 36	1,50	00553	-6.346	5.649	0,212 36	0,212 36	1,52
	I		1.197	690.7 56	1,061 80	1,061 80	1,91		1.565	505.9 43	1,061 80	1,061 80	1,79		1.903	434.5 49	1,061 80	1,061 80	1,74
S	S		-1.332	43.68 4	0,212 36	0,212 36	3,75		0	0	0,212 36	0,212 36	-		0	0	0,212 36	0,212 36	-
	I		-2.832	328.3 76	0,353 93	0,353 93	9,28		-3.346	362.3 30	0,353 93	0,353 93	10,7 2		-4.415	364.6 79	0,353 93	0,353 93	10,84
P	S	00554	0	0	0,212 36	0,212 36	-	00555	0	0	0,212 36	0,212 36	-	00556	0	0	0,212 36	0,212 36	-
	I		11.61 9	683.1 65	1,061 80	1,061 80	1,90		12.86 2	785.2 32	1,061 80	1,061 80	1,97		17.04 2	807.9 23	1,061 80	1,061 80	1,99
S	S		9.845	4.957	0,212 36	0,212 36	3,98		1.522	49.53 8	0,212 36	0,212 36	3,72		-814	209.7 52	0,212 36	0,212 36	2,97
	I		-1.793	305.8 61	0,353 93	0,353 93	8,52		-761	229.0 09	0,353 93	0,353 93	6,66		1.755	156.8 97	0,353 93	0,353 93	5,52
P	S	00557	0	0	0,212 36	0,212 36	-	00558	0	0	0,212 36	0,212 36	-	00559	0	0	0,212 36	0,212 36	-
	I		3.975	844.2 87	1,061 80	1,061 80	2,02		-2.164	1.115. 808	1,061 80	1,061 80	2,27		2.460	1.134. 554	1,061 80	1,061 80	2,28
S	S		6.859	332.6 68	0,212 36	0,212 36	2,56		-927	178.2 15	0,212 36	0,212 36	3,09		-1.033	165.6 11	0,212 36	0,212 36	3,14
	I		11.88 9	9.779	0,353 93	0,353 93	4,08		4.020	41.80 6	0,353 93	0,353 93	4,34		5.717	6.423	0,353 93	0,353 93	4,07
P	S	00560	0	0	0,212 36	0,212 36	-	00561	0	0	0,212 36	0,212 36	-	00562	0	0	0,212 36	0,212 36	-
	I		4.671	915.9 02	1,061 80	1,061 80	2,08		2.925	1.088. 364	1,061 80	1,061 80	2,24		38	1.076. 750	1,061 80	1,061 80	2,23
S	S		-1.124	162.7 35	0,212 36	0,212 36	3,15		-591	147.4 65	0,212 36	0,212 36	3,22		-376	114.7 23	0,212 36	0,212 36	3,37
	I		0	0	0,353 93	0,353 93	-		0	0	0,353 93	0,353 93	-		751	60.16 9	0,353 93	0,353 93	4,50
P	S	00563	0	0	0,212 36	0,212 36	-	00564	0	0	0,212 36	0,212 36	-	00565	0	0	0,212 36	0,212 36	-
	I		-2.257	909.7 98	1,061 80	1,061 80	2,08		1.069	681.9 16	1,061 80	1,061 80	1,90		4.443	700.5 84	1,061 80	1,061 80	1,91
S	S		-17	178.8 68	0,212 36	0,212 36	3,09		-4.356	218.5 47	0,212 36	0,212 36	2,94		-1.452	53.80 6	0,212 36	0,212 36	3,70
	I		34	34.45 7	0,353 93	0,353 93	4,29		8.714	150.4 43	0,353 93	0,353 93	5,42		-850	273.9 60	0,353 93	0,353 93	7,63
P	S	00566	0	0	0,212 36	0,212 36	-	00567	0	0	0,212 36	0,212 36	-	00568	0	0	0,212 36	0,212 36	-
	I		3.534	617.7 07	1,061 80	1,061 80	1,86		12.18 0	712.9 70	1,061 80	1,061 80	1,92		3.938	784.0 25	1,061 80	1,061 80	1,98
S	S		8.821	14.08 9	0,212 36	0,212 36	3,92		-284	69.88 4	0,212 36	0,212 36	3,60		-2.778	96.60 9	0,212 36	0,212 36	3,46
	I		-4.287	334.4	0,353	0,353	9,51		142	178.6	0,353	0,353	5,82		-5.776	89.74	0,353	0,353	4,78



Relazione preliminare sulle strutture

Platee - Verifiche pressoflessione retta allo SLU

Dir	Pos	Nodo	N _{Ed}	M _{Ed}	A _s	A _{df}	CS	Nodo	N _{Ed}	M _{Ed}	A _s	A _{df}	CS	Nodo	N _{Ed}	M _{Ed}	A _s	A _{df}	CS
			[N]	[N-m]	[cm ² /cm]	[cm ² /cm]			[N]	[N-m]	[cm ² /cm]	[cm ² /cm]			[N]	[N-m]	[cm ² /cm]	[cm ² /cm]	
				69	93	93				37	93	93				0	93	93	
P	S	00569	0	0	0,212 36	0,212 36	-	00570	0	0	0,212 36	0,212 36	-	00571	0	0	0,212 36	0,212 36	-
	I		5	919.8 84	1,061 80	1,061 80	2,09		3.306	1.004. 718	1,061 80	1,061 80	2,16		6.965	893.2 55	1,061 80	1,061 80	2,06
S	S		875	149.4 11	0,212 36	0,212 36	3,21		-274	177.9 33	0,212 36	0,212 36	3,09		-824	247.1 87	0,212 36	0,212 36	2,83
	I		1.877	57.27 5	0,353 93	0,353 93	4,47		-3.564	15.11 4	0,353 93	0,353 93	4,15		-5.812	707	0,353 93	0,353 93	4,05
P	S	00572	0	0	0,212 36	0,212 36	-	00573	0	0	0,212 36	0,212 36	-	00574	0	0	0,212 36	0,212 36	-
	I		-6.872	795.4 30	1,061 80	1,061 80	1,99		2.602	947.1 78	1,061 80	1,061 80	2,11		574	909.1 35	1,061 80	1,061 80	2,08
S	S		-883	206.7 56	0,212 36	0,212 36	2,98		-224	152.3 36	0,212 36	0,212 36	3,20		118	111.5 68	0,212 36	0,212 36	3,38
	I		-8.760	27.94 4	0,353 93	0,353 93	4,25		449	16.07 4	0,353 93	0,353 93	4,15		-236	64.89 0	0,353 93	0,353 93	4,54
P	S	00575	0	0	0,212 36	0,212 36	-	00576	0	0	0,212 36	0,212 36	-	00577	0	0	0,212 36	0,212 36	-
	I		1.752	752.0 89	1,061 80	1,061 80	1,95		3.792	647.4 81	1,061 80	1,061 80	1,88		4.385	803.5 74	1,061 80	1,061 80	1,99
S	S		-539	70.07 3	0,212 36	0,212 36	3,60		2.612	38.09 9	0,212 36	0,212 36	3,78		57	58.46 6	0,212 36	0,212 36	3,67
	I		-2.131	137.0 32	0,353 93	0,353 93	5,28		1.795	213.3 37	0,353 93	0,353 93	6,37		-28	67.80 2	0,353 93	0,353 93	4,57
P	S	00578	0	0	0,212 36	0,212 36	-	00579	0	0	0,212 36	0,212 36	-	00580	0	0	0,212 36	0,212 36	-
	I		3.881	908.8 03	1,061 80	1,061 80	2,08		3.785	872.3 33	1,061 80	1,061 80	2,05		-138	746.6 88	1,061 80	1,061 80	1,95
S	S		-829	96.97 1	0,212 36	0,212 36	3,46		-1.628	126.7 67	0,212 36	0,212 36	3,31		271	62.30 1	0,212 36	0,212 36	3,64
	I		-718	43.17 9	0,353 93	0,353 93	4,36		-3.656	15.64 4	0,353 93	0,353 93	4,15		0	0	0,353 93	0,353 93	-
P	S	00581	0	0	0,212 36	0,212 36	-	00582	0	0	0,212 36	0,212 36	-	00583	0	0	0,212 36	0,212 36	-
	I		1.489	804.5 58	1,061 80	1,061 80	1,99		1.900	864.8 63	1,061 80	1,061 80	2,04		2.174	802.0 01	1,061 80	1,061 80	1,99
S	S		-366	63.20 5	0,212 36	0,212 36	3,64		-598	66.87 5	0,212 36	0,212 36	3,62		2.099	45.03 4	0,212 36	0,212 36	3,74
	I		733	12.80 9	0,353 93	0,353 93	4,12		1.196	61.57 8	0,353 93	0,353 93	4,51		864	98.36 9	0,353 93	0,353 93	4,85

LEGENDA:

Dir Direzione [P] = principale (asse locale 1) - [S] = secondaria (asse locale 2).

Pos Posizione [S] = superiore - [I] = inferiore.

A_s Area delle armature esecutive per unità di lunghezza.

A_{df} Armatura disponibile per la flessione

CS Coefficiente di sicurezza ([NS] = Non Significativo se CS ≥ 100; [VNR]= Verifica Non Richiesta; Informazioni aggiuntive sulla condizione: [V] = statica; [E] = eccezionale; [S] = sismica; [N] = sismica non lineare).

N_{Ed}, M_{Ed} Sollecitazioni di progetto.



PLATEE - VERIFICHE PRESSOFLESSIONE RETTA ALLO SLD (Fondazione)

Platee - Verifiche pressoflessione retta allo SLD

Dir	Pos	Nodo	N _{Ed}	M _{Ed}	A _s	CS	Nodo	N _{Ed}	M _{Ed}	A _s	CS	Nodo	N _{Ed}	M _{Ed}	A _s	CS
			[N]	[N-m]	[cm ² /cm]			[N]	[N-m]	[cm ²]			[N]	[N-m]	[cm ²]	
Fondazione			Platea 1													
P	S	00001	0	0	1,27416	-	00003	2.947	84.621	0,21236	1,48	00004	6.184	88.628	0,21236	1,48
	I		384.596	4.954.408	3,71630	3,93		0	0	1,06180	-		0	0	1,06180	-
S	S		0	0	1,27416	-		0	0	0,21236	-		0	0	0,21236	-
	I		-145.013	5.415.485	3,00843	8,65		3.475	246.638	0,35393	6,39		2.780	269.115	0,35393	6,75
P	S	00005	0	0	0,21236	-	00006	0	0	0,21236	-	00007	0	0	0,21236	-
	I		11.311	93.167	1,06180	1,55		23.802	205.788	1,06180	1,59		11.324	115.805	1,06180	1,56
S	S		0	0	0,21236	-		-2.801	97.482	0,21236	3,53		0	0	0,21236	-
	I		11.381	103.414	0,35393	4,76		0	0	0,35393	-		-1.737	92.579	0,35393	4,69
P	S	00008	0	0	0,21236	-	00009	23.693	171.859	0,21236	1,45	00010	13.701	133.564	0,21236	1,46
	I		17.795	232.315	1,06180	1,61		0	0	1,06180	-		0	0	1,06180	-
S	S		8.195	93.278	0,21236	3,54		0	0	0,21236	-		0	0	0,21236	-
	I		0	0	0,35393	-		18.881	278.087	0,35393	6,86		21.239	277.942	0,35393	6,85
P	S	00011	0	0	0,21236	-	00012	0	0	0,21236	-	00013	0	0	0,21236	-
	I		22.430	203.261	1,06180	1,59		10.698	94.434	1,06180	1,55		18.201	234.638	1,06180	1,61
S	S		-2.925	92.852	0,21236	3,55		0	0	0,21236	-		8.297	97.783	0,21236	3,51
	I		0	0	0,35393	-		10.507	102.775	0,35393	4,75		0	0	0,35393	-
P	S	00014	0	0	0,21236	-	00015	2.910	85.794	0,21236	1,48	00016	0	0	0,21236	-
	I		12.053	116.773	1,06180	1,56		0	0	1,06180	-		25.861	270.254	1,06180	1,62
S	S		0	0	0,21236	-		0	0	0,21236	-		11.403	147.748	0,21236	3,30
	I		-3.029	93.339	0,35393	4,70		3.362	246.961	0,35393	6,40		0	0	0,35393	-
P	S	00017	6.545	89.610	0,21236	1,48	00018	0	0	0,21236	-	00019	0	0	0,21236	-
	I		0	0	1,06180	-		26.170	269.101	1,06180	1,62		-9.579	250.262	1,06180	1,62
S	S		0	0	0,21236	-		11.435	147.740	0,21236	3,30		115	9.740	0,21236	3,98
	I		2.741	269.091	0,35393	6,75		0	0	0,35393	-		0	0	0,35393	-
P	S	00020	0	0	0,21236	-	00021	0	0	0,21236	-	00022	0	0	0,21236	-
	I		-5.518	216.718	1,06180	1,61		-2.206	140.240	1,06180	1,57		110	38.226	1,06180	1,53
S	S		0	0	0,21236	-		0	0	0,21236	-		0	0	0,21236	-
	I		-111	38.795	0,35393	4,29		-1.422	137.933	0,35393	5,09		-5.502	219.390	0,35393	6,02
P	S	00023	-1.101	14.796	0,21236	1,51	00024	0	0	0,21236	-	00025	0	0	0,21236	-
	I		0	0	1,06180	-		141	38.379	1,06180	1,53		-2.231	140.661	1,06180	1,57
S	S		0	0	0,21236	-		0	0	0,21236	-		0	0	0,21236	-
	I		-9.163	238.874	0,35393	6,31		-5.513	218.756	0,35393	6,02		-1.403	138.750	0,35393	5,10
P	S	00026	0	0	0,21236	-	00027	0	0	0,21236	-	00028	0	0	0,21236	-
	I		-5.527	216.655	1,06180	1,61		-9.571	250.185	1,06180	1,62		-4.133	214.688	1,06180	1,60
S	S		0	0	0,21236	-		118	9.846	0,21236	3,98		0	0	0,21236	-
	I		-135	38.782	0,35393	4,29		0	0	0,35393	-		224	41.214	0,35393	4,31
P	S	00029	0	0	0,21236	-	00030	0	0	0,21236	-	00031	-313	3.735	0,21236	1,52
	I		-2.532	133.991	1,06180	1,57		162	35.174	1,06180	1,53		0	0	1,06180	-
S	S		0	0	0,21236	-		0	0	0,21236	-		0	0	0,21236	-



Relazione preliminare sulle strutture

Platee - Verifiche pressoflessione retta allo SLD

Dir	Pos	Nodo	N _{Ed}	M _{Ed}	A _s	CS	Nodo	N _{Ed}	M _{Ed}	A _s	CS	Nodo	N _{Ed}	M _{Ed}	A _s	CS
			[N]	[N·m]	[cm ² /cm]			[N]	[N·m]	[cm ²]			[N]	[N·m]	[cm ²]	
	I		-2.121	132.085	0,35393	5,04		-5.618	219.867	0,35393	6,03		-10.209	230.054	0,35393	6,18
P	S	00032	0	0	0,21236	-	00033	0	0	0,21236	-	00034	0	0	0,21236	-
I	316		46.806	1,06180	1,53	-2.767		134.373	1,06180	1,57	-4.221		215.269	1,06180	1,61	
S	S		0	0	0,21236	-		0	0	0,21236	-		0	0	0,21236	-
I	-448	216.181	0,35393	5,97	-2.070	131.655	0,35393	5,04	29	38.978	0,35393	4,29				
P	S	00035	0	0	0,21236	-	00036	0	0	0,21236	-	00037	0	0	0,21236	-
I	-689		242.014	1,06180	1,62	-3.162		264.553	1,06180	1,63	-4.888		261.318	1,06180	1,63	
S	S		0	0	0,21236	-		0	0	0,21236	-		0	0	0,21236	-
I	70	79.279	0,35393	4,58	-132	89.915	0,35393	4,67	448	108.710	0,35393	4,82				
P	S	00038	0	0	0,21236	-	00039	0	0	0,21236	-	00040	0	0	0,21236	-
I	-7.676		262.563	1,06180	1,63	-7.749		248.386	1,06180	1,62	-7.131		219.784	1,06180	1,61	
S	S		0	0	0,21236	-		0	0	0,21236	-		0	0	0,21236	-
I	2.706	110.170	0,35393	4,83	-7.555	142.052	0,35393	5,15	-6.023	141.587	0,35393	5,14				
P	S	00041	0	0	0,21236	-	00042	0	0	0,21236	-	00043	0	0	0,21236	-
I	-4.607		201.941	1,06180	1,60	-3.730		143.005	1,06180	1,57	4.171		124.340	1,06180	1,56	
S	S		0	0	0,21236	-		0	0	0,21236	-		0	0	0,21236	-
I	-2.495	133.192	0,35393	5,05	-2.994	200.369	0,35393	5,77	-6.967	232.768	0,35393	6,21				
P	S	00044	0	0	0,21236	-	00045	0	0	0,21236	-	00046	0	0	0,21236	-
I	-6.730		132.312	1,06180	1,57	2.908		130.070	1,06180	1,57	1.169		109.225	1,06180	1,56	
S	S		0	0	0,21236	-		0	0	0,21236	-		0	0	0,21236	-
I	-7.932	238.322	0,35393	6,30	-7.586	267.791	0,35393	6,76	-4.668	270.614	0,35393	6,80				
P	S	00047	0	0	0,21236	-	00048	0	0	0,21236	-	00049	0	0	0,21236	-
I	1.257		111.596	1,06180	1,56	-327		71.724	1,06180	1,54	101		41.884	1,06180	1,53	
S	S		0	0	0,21236	-		0	0	0,21236	-		0	0	0,21236	-
I	-1.878	256.340	0,35393	6,55	-1.193	240.505	0,35393	6,31	-8.262	291.235	0,35393	7,18				
P	S	00050	311	5.986	0,21236	1,51	00051	0	0	0,21236	-	00052	997	8.899	0,21236	1,51
I	-311		14.006	1,06180	1,52	-79		34.400	1,06180	1,53	-997		11.002	1,06180	1,52	
S	S		0	0	0,21236	-		0	0	0,21236	-		0	0	0,21236	-
I	-1.408	322.517	0,35393	7,80	-557	316.928	0,35393	7,68	2.887	333.290	0,35393	8,04				
P	S	00053	0	0	0,21236	-	00054	799	18.068	0,21236	1,51	00055	936	16.612	0,21236	1,51
I	-333		32.522	1,06180	1,53	-799		2.419	1,06180	1,52	0		0	1,06180	-	
S	S		0	0	0,21236	-		0	0	0,21236	-		0	0	0,21236	-
I	5.960	313.454	0,35393	7,58	5.014	312.376	0,35393	7,56	-13.961	316.896	0,35393	7,72				
P	S	00056	890	16.706	0,21236	1,51	00057	785	18.588	0,21236	1,51	00058	0	0	0,21236	-
I	0		0	1,06180	-	-785		1.791	1,06180	1,52	-342		32.867	1,06180	1,53	
S	S		0	0	0,21236	-		0	0	0,21236	-		0	0	0,21236	-
I	-13.913	316.631	0,35393	7,71	5.023	312.887	0,35393	7,57	5.907	313.287	0,35393	7,58				
P	S	00059	949	8.724	0,21236	1,51	00060	0	0	0,21236	-	00061	241	6.003	0,21236	1,51
I	-949		10.936	1,06180	1,52	-83		34.831	1,06180	1,53	-241		13.869	1,06180	1,52	
S	S		0	0	0,21236	-		0	0	0,21236	-		0	0	0,21236	-
I	2.905	333.178	0,35393	8,04	-626	316.667	0,35393	7,67	-1.413	321.995	0,35393	7,79				
P	S	00062	0	0	0,21236	-	00063	0	0	0,21236	-	00064	0	0	0,21236	-
I	244		41.833	1,06180	1,53	-530		76.459	1,06180	1,55	1.081		116.689	1,06180	1,56	



Relazione preliminare sulle strutture

Platee - Verifiche pressoflessione retta allo SLD

Dir	Pos	Nodo	N _{Ed}	M _{Ed}	A _s	CS	Nodo	N _{Ed}	M _{Ed}	A _s	CS	Nodo	N _{Ed}	M _{Ed}	A _s	CS
			[N]	[N-m]	[cm ² /cm]			[N]	[N-m]	[cm ²]			[N]	[N-m]	[cm ²]	
S	S		0	0	0,21236	-		0	0	0,21236	-		0	0	0,21236	-
	I		-8.615	288.240	0,35393	7,12		-1.647	243.180	0,35393	6,35		-1.946	257.339	0,35393	6,57
P	S	00065	0	0	0,21236	-	00066	0	0	0,21236	-	00067	0	0	0,21236	-
	I		1.197	113.386	1,06180	1,56		2.804	129.025	1,06180	1,57		-6.610	135.667	1,06180	1,57
S	S		0	0	0,21236	-		0	0	0,21236	-		0	0	0,21236	-
	I		-4.678	270.228	0,35393	6,79		-7.686	267.746	0,35393	6,76		-7.848	243.660	0,35393	6,37
P	S	00068	0	0	0,21236	-	00069	0	0	0,21236	-	00070	0	0	0,21236	-
	I		-4.938	150.407	1,06180	1,58		-3.910	134.115	1,06180	1,57		-4.604	201.027	1,06180	1,60
S	S		0	0	0,21236	-		0	0	0,21236	-		0	0	0,21236	-
	I		-7.618	236.206	0,35393	6,26		-3.649	197.315	0,35393	5,74		-2.554	133.978	0,35393	5,06
P	S	00071	0	0	0,21236	-	00072	0	0	0,21236	-	00073	0	0	0,21236	-
	I		-7.110	219.607	1,06180	1,61		-7.760	247.529	1,06180	1,62		-7.665	262.836	1,06180	1,63
S	S		0	0	0,21236	-		0	0	0,21236	-		0	0	0,21236	-
	I		-6.053	141.633	0,35393	5,14		-7.451	142.671	0,35393	5,15		2.657	110.138	0,35393	4,83
P	S	00074	0	0	0,21236	-	00075	0	0	0,21236	-	00076	0	0	0,21236	-
	I		-4.895	260.904	1,06180	1,63		-3.214	264.575	1,06180	1,63		-645	241.591	1,06180	1,62
S	S		0	0	0,21236	-		0	0	0,21236	-		0	0	0,21236	-
	I		463	108.797	0,35393	4,83		-131	90.816	0,35393	4,68		76	81.195	0,35393	4,60
P	S	00077	0	0	0,21236	-	00078	0	0	0,21236	-	00079	0	0	0,21236	-
	I		-10.840	307.385	1,06180	1,65		-2.243	304.964	1,06180	1,64		-180	332.529	1,06180	1,66
S	S		0	0	0,21236	-		0	0	0,21236	-		0	0	0,21236	-
	I		285	16.626	0,35393	4,14		676	31.629	0,35393	4,24		-134	22.688	0,35393	4,18
P	S	00080	0	0	0,21236	-	00081	0	0	0,21236	-	00082	0	0	0,21236	-
	I		3.429	326.824	1,06180	1,65		4.302	335.234	1,06180	1,66		-7.751	329.562	1,06180	1,66
S	S		0	0	0,21236	-		600	14.141	0,21236	3,96		-913	7.893	0,21236	4,00
	I		170	26.610	0,35393	4,21		-600	5.124	0,35393	4,07		913	1.502	0,35393	4,05
P	S	00083	0	0	0,21236	-	00084	0	0	0,21236	-	00085	0	0	0,21236	-
	I		-15.499	312.674	1,06180	1,65		-13.427	312.865	1,06180	1,65		-8.287	330.192	1,06180	1,66
S	S		-346	5.109	0,21236	4,01		641	3.458	0,21236	4,02		502	6.002	0,21236	4,00
	I		346	7.522	0,35393	4,09		-641	2.414	0,35393	4,06		-502	14.366	0,35393	4,13
P	S	00086	0	0	0,21236	-	00087	0	0	0,21236	-	00088	0	0	0,21236	-
	I		5.024	330.093	1,06180	1,65		2.504	329.333	1,06180	1,65		524	329.338	1,06180	1,65
S	S		-1.263	8.300	0,21236	3,99		0	0	0,21236	-		-1.494	1.074	0,21236	4,04
	I		1.263	4.808	0,35393	4,07		-864	25.452	0,35393	4,20		1.494	14.696	0,35393	4,13
P	S	00089	0	0	0,21236	-	00090	0	0	0,21236	-	00091	0	0	0,21236	-
	I		-1.116	302.849	1,06180	1,64		-7.815	292.203	1,06180	1,64		-1.454	239.949	1,06180	1,62
S	S		761	1.260	0,21236	4,03		0	0	0,21236	-		0	0	0,21236	-
	I		-761	16.784	0,35393	4,15		306	37.375	0,35393	4,28		-284	81.309	0,35393	4,60
P	S	00092	0	0	0,21236	-	00093	0	0	0,21236	-	00094	0	0	0,21236	-
	I		-2.536	249.579	1,06180	1,62		-6.462	267.082	1,06180	1,63		-7.184	245.359	1,06180	1,62
S	S		0	0	0,21236	-		0	0	0,21236	-		0	0	0,21236	-
	I		-553	95.810	0,35393	4,72		632	98.267	0,35393	4,74		-7.250	140.249	0,35393	5,13
P	S	00095	0	0	0,21236	-	00096	0	0	0,21236	-	00097	0	0	0,21236	-



Relazione preliminare sulle strutture

Platee - Verifiche pressoflessione retta allo SLD

Dir	Pos	Nodo	N _{Ed}	M _{Ed}	A _s	CS	Nodo	N _{Ed}	M _{Ed}	A _s	CS	Nodo	N _{Ed}	M _{Ed}	A _s	CS
			[N]	[N·m]	[cm ² /cm]			[N]	[N·m]	[cm ²]			[N]	[N·m]	[cm ²]	
	I		-7.828	236.128	1,06180	1,62		-6.849	216.655	1,06180	1,61		-4.993	199.898	1,06180	1,60
S	S		0	0	0,21236	-		0	0	0,21236	-		0	0	0,21236	-
	I		3.189	127.721	0,35393	4,99		-5.660	148.516	0,35393	5,21		-2.094	135.089	0,35393	5,07
P	S	00098	0	0	0,21236	-	00099	0	0	0,21236	-	00100	0	0	0,21236	-
	I		-2.153	124.276	1,06180	1,57		-5.028	138.976	1,06180	1,57		3.483	119.823	1,06180	1,56
S	S		0	0	0,21236	-		0	0	0,21236	-		0	0	0,21236	-
	I		-4.512	208.929	0,35393	5,89		-8.197	222.848	0,35393	6,08		-7.649	254.134	0,35393	6,53
P	S	00101	0	0	0,21236	-	00102	0	0	0,21236	-	00103	0	0	0,21236	-
	I		2.833	114.509	1,06180	1,56		772	108.006	1,06180	1,56		445	90.837	1,06180	1,55
S	S		0	0	0,21236	-		0	0	0,21236	-		0	0	0,21236	-
	I		-7.240	257.824	0,35393	6,59		-5.769	268.104	0,35393	6,76		-3.080	256.360	0,35393	6,56
P	S	00104	0	0	0,21236	-	00105	0	0	0,21236	-	00106	0	0	0,21236	-
	I		-372	81.812	1,06180	1,55		369	31.945	1,06180	1,53		361	23.444	1,06180	1,53
S	S		0	0	0,21236	-		0	0	0,21236	-		0	0	0,21236	-
	I		-1.321	240.273	0,35393	6,31		-8.090	294.010	0,35393	7,23		-1.267	308.510	0,35393	7,50
P	S	00107	0	0	0,21236	-	00108	483	5.640	0,21236	1,51	00109	631	4.169	0,21236	1,51
	I		-985	34.520	1,06180	1,53		-483	16.417	1,06180	1,52		-631	9.893	1,06180	1,52
S	S		0	0	0,21236	-		0	0	0,21236	-		0	0	0,21236	-
	I		-148	319.161	0,35393	7,73		1.490	319.361	0,35393	7,72		-10.906	331.128	0,35393	8,03
P	S	00110	706	5.261	0,21236	1,51	00111	142	4.372	0,21236	1,51	00112	182	5.186	0,21236	1,51
	I		-706	15.712	1,06180	1,52		-142	3.325	1,06180	1,52		-182	2.663	1,06180	1,52
S	S		0	0	0,21236	-		0	0	0,21236	-		0	0	0,21236	-
	I		6.110	303.564	0,35393	7,38		-13.156	311.628	0,35393	7,60		-13.173	312.421	0,35393	7,62
P	S	00113	690	4.804	0,21236	1,51	00114	658	5.490	0,21236	1,51	00115	0	0	0,21236	-
	I		-690	16.282	1,06180	1,52		-658	8.308	1,06180	1,52		-513	26.886	1,06180	1,53
S	S		0	0	0,21236	-		0	0	0,21236	-		0	0	0,21236	-
	I		6.112	303.208	0,35393	7,37		-10.841	331.832	0,35393	8,05		1.537	321.055	0,35393	7,76
P	S	00116	328	598	0,21236	1,52	00117	0	0	0,21236	-	00118	0	0	0,21236	-
	I		-328	19.253	1,06180	1,52		553	23.301	1,06180	1,53		266	32.611	1,06180	1,53
S	S		0	0	0,21236	-		0	0	0,21236	-		0	0	0,21236	-
	I		-388	318.645	0,35393	7,71		-1.572	307.961	0,35393	7,49		-7.865	294.037	0,35393	7,23
P	S	00119	0	0	0,21236	-	00120	0	0	0,21236	-	00121	0	0	0,21236	-
	I		-404	81.992	1,06180	1,55		446	90.220	1,06180	1,55		799	108.341	1,06180	1,56
S	S		0	0	0,21236	-		0	0	0,21236	-		0	0	0,21236	-
	I		-1.288	239.855	0,35393	6,30		-3.128	256.694	0,35393	6,56		-5.789	267.956	0,35393	6,75
P	S	00122	0	0	0,21236	-	00123	0	0	0,21236	-	00124	0	0	0,21236	-
	I		2.781	113.044	1,06180	1,56		-6.703	132.693	1,06180	1,57		-4.325	128.460	1,06180	1,57
S	S		0	0	0,21236	-		0	0	0,21236	-		0	0	0,21236	-
	I		-7.038	259.631	0,35393	6,62		-8.221	253.120	0,35393	6,52		-7.336	226.953	0,35393	6,13
P	S	00125	0	0	0,21236	-	00126	0	0	0,21236	-	00127	0	0	0,21236	-
	I		-2.374	121.573	1,06180	1,57		-4.880	200.419	1,06180	1,60		-6.804	216.866	1,06180	1,61
S	S		0	0	0,21236	-		0	0	0,21236	-		0	0	0,21236	-
	I		-4.625	209.791	0,35393	5,90		-2.019	135.627	0,35393	5,07		-5.594	148.396	0,35393	5,20



Relazione preliminare sulle strutture

Platee - Verifiche pressoflessione retta allo SLD

Dir	Pos	Nodo	N _{Ed}	M _{Ed}	A _s	CS	Nodo	N _{Ed}	M _{Ed}	A _s	CS	Nodo	N _{Ed}	M _{Ed}	A _s	CS
			[N]	[N-m]	[cm ² /cm]			[N]	[N-m]	[cm ²]			[N]	[N-m]	[cm ²]	
P	S	00128	0	0	0,21236	-	00129	0	0	0,21236	-	00130	0	0	0,21236	-
	I		-7.848	236.067	1,06180	1,62		-7.197	245.898	1,06180	1,62		-6.482	266.930	1,06180	1,63
S	S		0	0	0,21236	-		0	0	0,21236	-		0	0	0,21236	-
	I		3.206	127.927	0,35393	4,99		-7.267	140.122	0,35393	5,13		659	98.353	0,35393	4,74
P	S	00131	0	0	0,21236	-	00132	0	0	0,21236	-	00133	0	0	0,21236	-
	I		-2.477	249.604	1,06180	1,62		-1.461	240.263	1,06180	1,62		-7.860	292.105	1,06180	1,64
S	S		0	0	0,21236	-		0	0	0,21236	-		0	0	0,21236	-
	I		-575	96.109	0,35393	4,72		-237	81.305	0,35393	4,60		301	37.117	0,35393	4,28
P	S	00134	0	0	0,21236	-	00135	0	0	0,21236	-	00136	0	0	0,21236	-
	I		-1.088	302.551	1,06180	1,64		506	329.267	1,06180	1,65		2.522	329.595	1,06180	1,65
S	S		733	1.028	0,21236	4,03		-1.568	651	0,21236	4,04		0	0	0,21236	-
	I		-733	16.899	0,35393	4,15		1.568	15.064	0,35393	4,13		-901	25.160	0,35393	4,20
P	S	00137	0	0	0,21236	-	00138	0	0	0,21236	-	00139	0	0	0,21236	-
	I		5.049	329.987	1,06180	1,65		-8.270	330.399	1,06180	1,66		-13.451	313.244	1,06180	1,65
S	S		-1.318	7.904	0,21236	4,00		500	6.072	0,21236	4,00		601	3.419	0,21236	4,02
	I		1.318	5.170	0,35393	4,07		-500	14.287	0,35393	4,13		-601	2.518	0,35393	4,06
P	S	00140	0	0	0,21236	-	00141	0	0	0,21236	-	00142	0	0	0,21236	-
	I		-15.479	312.545	1,06180	1,65		-7.726	329.673	1,06180	1,66		4.305	336.232	1,06180	1,66
S	S		-325	5.415	0,21236	4,01		-914	7.369	0,21236	4,00		579	13.619	0,21236	3,96
	I		325	7.339	0,35393	4,09		914	2.036	0,35393	4,05		-579	5.171	0,35393	4,07
P	S	00143	0	0	0,21236	-	00144	0	0	0,21236	-	00145	0	0	0,21236	-
	I		3.160	330.563	1,06180	1,65		559	322.803	1,06180	1,65		-12.787	327.332	1,06180	1,66
S	S		0	0	0,21236	-		209	5.316	0,21236	4,01		289	260	0,21236	4,04
	I		217	28.100	0,35393	4,22		-209	12.135	0,35393	4,12		-289	26.105	0,35393	4,21
P	S	00146	0	0	0,21236	-	00147	0	0	0,21236	-	00148	0	0	0,21236	-
	I		-8.642	293.828	1,06180	1,64		-3.076	160.317	1,06180	1,58		-140	50.932	1,06180	1,54
S	S		0	0	0,21236	-		0	0	0,21236	-		0	0	0,21236	-
	I		-158	32.308	0,35393	4,25		-4.165	167.239	0,35393	5,40		-8.197	274.493	0,35393	6,87
P	S	00149	537	13.647	0,21236	1,51	00150	0	0	0,21236	-	00151	0	0	0,21236	-
	I		0	0	1,06180	-		-191	47.356	1,06180	1,53		-2.983	159.482	1,06180	1,58
S	S		0	0	0,21236	-		0	0	0,21236	-		0	0	0,21236	-
	I		-14.212	292.527	0,35393	7,22		-7.972	270.732	0,35393	6,81		-4.132	167.369	0,35393	5,40
P	S	00152	0	0	0,21236	-	00153	0	0	0,21236	-	00154	0	0	0,21236	-
	I		-1.727	265.959	1,06180	1,63		-15.497	308.776	1,06180	1,65		-8.640	268.746	1,06180	1,63
S	S		0	0	0,21236	-		1.850	10.391	0,21236	3,98		0	0	0,21236	-
	I		-52	51.902	0,35393	4,38		0	0	0,35393	-		147	47.528	0,35393	4,35
P	S	00155	0	0	0,21236	-	00156	0	0	0,21236	-	00157	0	0	0,21236	-
	I		-4.576	162.112	1,06180	1,58		19	52.506	1,06180	1,54		-1.303	1.529	1,06180	1,52
S	S		0	0	0,21236	-		0	0	0,21236	-		0	0	0,21236	-
	I		-3.607	164.204	0,35393	5,36		-1.058	255.764	0,35393	6,54		-16.899	305.425	0,35393	7,48
P	S	00158	0	0	0,21236	-	00159	0	0	0,21236	-	00160	0	0	0,21236	-
	I		22	52.148	1,06180	1,54		-4.505	162.223	1,06180	1,58		-8.609	268.548	1,06180	1,63
S	S		0	0	0,21236	-		0	0	0,21236	-		0	0	0,21236	-



Relazione preliminare sulle strutture

Platee - Verifiche pressoflessione retta allo SLD

Dir	Pos	Nodo	N _{Ed}	M _{Ed}	A _s	CS	Nodo	N _{Ed}	M _{Ed}	A _s	CS	Nodo	N _{Ed}	M _{Ed}	A _s	CS
			[N]	[N-m]	[cm ² /cm]			[N]	[N-m]	[cm ²]			[N]	[N-m]	[cm ²]	
	I		-7.966	263.923	0,35393	6,69		-3.557	163.728	0,35393	5,36		127	47.633	0,35393	4,35
P	S	00161	0	0	0,21236	-	00162	0	0	0,21236	-	00163	0	0	0,21236	-
I	I		-15.503	308.757	1,06180	1,65		-1.968	261.697	1,06180	1,62		-12.822	361.320	1,06180	1,67
S	S		1.857	10.220	0,21236	3,98		0	0	0,21236	-		809	14.700	0,21236	3,95
I	I		0	0	0,35393	-		145	48.662	0,35393	4,36		-809	7.212	0,35393	4,09
P	S	00164	0	0	0,21236	-	00165	0	0	0,21236	-	00166	0	0	0,21236	-
I	I		-26.326	372.564	1,06180	1,68		-18.479	341.730	1,06180	1,67		-21.842	357.765	1,06180	1,67
S	S		2.518	35.211	0,21236	3,84		-1.657	26.773	0,21236	3,89		1.278	22.600	0,21236	3,91
I	I		0	0	0,35393	-		0	0	0,35393	-		0	0	0,35393	-
P	S	00167	0	0	0,21236	-	00168	0	0	0,21236	-	00169	0	0	0,21236	-
I	I		-12.978	360.003	1,06180	1,67		568	322.992	1,06180	1,65		-5.103	268.475	1,06180	1,63
S	S		1.602	20.843	0,21236	3,92		1.490	4.278	0,21236	4,01		0	0	0,21236	-
I	I		-1.602	517	0,35393	4,05		-1.490	19.072	0,35393	4,16		-528	77.782	0,35393	4,57
P	S	00170	0	0	0,21236	-	00171	0	0	0,21236	-	00172	0	0	0,21236	-
I	I		-2.380	309.742	1,06180	1,65		-6.987	360.141	1,06180	1,67		-23.083	411.916	1,06180	1,70
S	S		0	0	0,21236	-		-973	27.649	0,21236	3,88		2.522	50.030	0,21236	3,76
I	I		-3.476	34.447	0,35393	4,27		973	3.816	0,35393	4,06		0	0	0,35393	-
P	S	00173	0	0	0,21236	-	00174	0	0	0,21236	-	00175	0	0	0,21236	-
I	I		-17.637	394.615	1,06180	1,69		4.086	348.195	1,06180	1,66		-23.962	412.112	1,06180	1,70
S	S		11.424	67.974	0,21236	3,65		5.987	65.420	0,21236	3,67		3.200	55.312	0,21236	3,73
I	I		0	0	0,35393	-		0	0	0,35393	-		0	0	0,35393	-
P	S	00176	0	0	0,21236	-	00177	0	0	0,21236	-	00178	0	0	0,21236	-
I	I		-8.086	377.880	1,06180	1,68		-8.317	325.689	1,06180	1,66		-5.298	267.892	1,06180	1,63
S	S		1.317	35.927	0,21236	3,83		-123	7.095	0,21236	4,00		0	0	0,21236	-
I	I		0	0	0,35393	-		123	28.910	0,35393	4,22		-1.741	67.499	0,35393	4,50
P	S	00179	0	0	0,21236	-	00180	0	0	0,21236	-	00181	0	0	0,21236	-
I	I		-6.486	243.713	1,06180	1,62		-6.542	278.988	1,06180	1,63		-9.552	304.464	1,06180	1,65
S	S		0	0	0,21236	-		0	0	0,21236	-		-1.168	7.420	0,21236	4,00
I	I		-6.844	136.073	0,35393	5,09		497	99.763	0,35393	4,75		1.168	52.962	0,35393	4,39
P	S	00182	0	0	0,21236	-	00183	0	0	0,21236	-	00184	0	0	0,21236	-
I	I		1.726	316.801	1,06180	1,65		-2.257	434.456	1,06180	1,70		-19.309	478.719	1,06180	1,73
S	S		-2.948	78.054	0,21236	3,62		-2.835	48.444	0,21236	3,77		-3.969	59.511	0,21236	3,72
I	I		0	0	0,35393	-		0	0	0,35393	-		0	0	0,35393	-
P	S	00185	0	0	0,21236	-	00186	0	0	0,21236	-	00187	0	0	0,21236	-
I	I		-21.780	432.921	1,06180	1,71		-18.712	480.354	1,06180	1,73		-5.496	446.376	1,06180	1,71
S	S		28.973	61.539	0,21236	3,66		-4.729	66.343	0,21236	3,68		-3.359	47.816	0,21236	3,78
I	I		0	0	0,35393	-		0	0	0,35393	-		0	0	0,35393	-
P	S	00188	0	0	0,21236	-	00189	0	0	0,21236	-	00190	0	0	0,21236	-
I	I		1.167	383.782	1,06180	1,68		1.775	297.901	1,06180	1,64		-7.809	281.900	1,06180	1,64
S	S		-3.119	56.333	0,21236	3,73		4.803	41.057	0,21236	3,80		0	0	0,21236	-
I	I		0	0	0,35393	-		-4.803	23.509	0,35393	4,20		986	87.887	0,35393	4,65
P	S	00191	0	0	0,21236	-	00192	0	0	0,21236	-	00193	0	0	0,21236	-
I	I		-6.119	250.751	1,06180	1,62		-4.253	207.882	1,06180	1,60		-123	259.593	1,06180	1,62



Relazione preliminare sulle strutture

Platee - Verifiche pressoflessione retta allo SLD

Dir	Pos	Nodo	N _{Ed}	M _{Ed}	A _s	CS	Nodo	N _{Ed}	M _{Ed}	A _s	CS	Nodo	N _{Ed}	M _{Ed}	A _s	CS
			[N]	[N·m]	[cm ² /cm]			[N]	[N·m]	[cm ²]			[N]	[N·m]	[cm ²]	
S	S		0	0	0,21236	-		0	0	0,21236	-		0	0	0,21236	-
	I		1.401	122.782	0,35393	4,95		2.726	143.202	0,35393	5,14		-4.186	136.355	0,35393	5,08
P	S	00194	0	0	0,21236	-	00195	0	0	0,21236	-	00196	0	0	0,21236	-
	I		-1.432	320.090	1,06180	1,65		-7.804	349.084	1,06180	1,67		0	456.264	1,06180	1,71
S	S		0	0	0,21236	-		0	0	0,21236	-		-19.460	18.159	0,21236	3,96
	I		6.815	100.957	0,35393	4,75		22.099	80.502	0,35393	4,55		19.460	47.599	0,35393	4,32
P	S	00197	0	0	0,21236	-	00198	0	0	0,21236	-	00199	0	0	0,21236	-
	I		-15.420	538.174	1,06180	1,76		-18.680	561.317	1,06180	1,77		-21.013	558.100	1,06180	1,77
S	S		-19.633	19.542	0,21236	3,96		-25.909	17.016	0,21236	3,98		-28.553	13.985	0,21236	4,00
	I		19.633	39.931	0,35393	4,26		25.909	37.675	0,35393	4,24		28.553	38.432	0,35393	4,24
P	S	00200	0	0	0,21236	-	00201	0	0	0,21236	-	00202	0	0	0,21236	-
	I		-16.826	550.089	1,06180	1,77		-1.413	485.162	1,06180	1,73		-7.336	360.222	1,06180	1,67
S	S		-21.807	16.007	0,21236	3,98		-18.169	15.687	0,21236	3,98		0	0	0,21236	-
	I		21.807	40.892	0,35393	4,27		18.169	46.781	0,35393	4,31		24.841	79.158	0,35393	4,54
P	S	00203	0	0	0,21236	-	00204	0	0	0,21236	-	00205	0	0	0,21236	-
	I		-9.682	337.470	1,06180	1,66		-227	277.827	1,06180	1,63		-2.939	217.504	1,06180	1,61
S	S		0	0	0,21236	-		0	0	0,21236	-		0	0	0,21236	-
	I		12.403	87.898	0,35393	4,63		842	124.614	0,35393	4,96		1.114	144.372	0,35393	5,15
P	S	00206	0	0	0,21236	-	00207	0	0	0,21236	-	00208	0	0	0,21236	-
	I		-3.481	186.667	1,06180	1,59		-8.305	162.502	1,06180	1,58		6.384	182.625	1,06180	1,59
S	S		0	0	0,21236	-		0	0	0,21236	-		0	0	0,21236	-
	I		-5.798	161.946	0,35393	5,34		-7.395	195.814	0,35393	5,73		14.345	161.624	0,35393	5,30
P	S	00209	0	0	0,21236	-	00210	0	0	0,21236	-	00211	0	0	0,21236	-
	I		9.282	306.032	1,06180	1,64		-14	401.624	1,06180	1,69		-2.235	488.145	1,06180	1,73
S	S		0	0	0,21236	-		0	0	0,21236	-		0	0	0,21236	-
	I		6.322	159.493	0,35393	5,29		15.839	168.897	0,35393	5,37		21.714	166.058	0,35393	5,33
P	S	00212	0	0	0,21236	-	00213	0	0	0,21236	-	00214	0	0	0,21236	-
	I		-2.499	581.485	1,06180	1,78		-16.465	658.651	1,06180	1,83		-19.233	678.099	1,06180	1,84
S	S		0	0	0,21236	-		0	0	0,21236	-		0	0	0,21236	-
	I		23.268	150.420	0,35393	5,17		26.986	138.931	0,35393	5,05		30.375	134.549	0,35393	5,00
P	S	00215	0	0	0,21236	-	00216	0	0	0,21236	-	00217	0	0	0,21236	-
	I		-17.806	668.405	1,06180	1,83		-14.895	611.983	1,06180	1,80		-2.330	517.575	1,06180	1,75
S	S		0	0	0,21236	-		0	0	0,21236	-		0	0	0,21236	-
	I		28.700	138.111	0,35393	5,03		24.487	148.016	0,35393	5,14		22.498	163.896	0,35393	5,30
P	S	00218	0	0	0,21236	-	00219	0	0	0,21236	-	00220	0	0	0,21236	-
	I		-1.258	422.940	1,06180	1,70		2.033	339.828	1,06180	1,66		8.905	229.308	1,06180	1,61
S	S		0	0	0,21236	-		0	0	0,21236	-		0	0	0,21236	-
	I		19.180	173.946	0,35393	5,42		10.021	169.162	0,35393	5,39		676	162.625	0,35393	5,34
P	S	00221	0	0	0,21236	-	00222	0	0	0,21236	-	00223	0	0	0,21236	-
	I		1.499	173.204	1,06180	1,59		-8.278	135.327	1,06180	1,57		935	115.616	1,06180	1,56
S	S		0	0	0,21236	-		0	0	0,21236	-		0	0	0,21236	-
	I		-12.304	176.308	0,35393	5,51		-3.489	214.979	0,35393	5,96		-6.689	271.172	0,35393	6,81
P	S	00224	0	0	0,21236	-	00225	0	0	0,21236	-	00226	0	0	0,21236	-



Relazione preliminare sulle strutture

Platee - Verifiche pressoflessione retta allo SLD

Dir	Pos	Nodo	N _{Ed}	M _{Ed}	A _s	CS	Nodo	N _{Ed}	M _{Ed}	A _s	CS	Nodo	N _{Ed}	M _{Ed}	A _s	CS
			[N]	[N·m]	[cm ² /cm]			[N]	[N·m]	[cm ²]			[N]	[N·m]	[cm ²]	
	I		-6.957	132.998	1,06180	1,57		-3.417	151.981	1,06180	1,58		15.219	267.284	1,06180	1,62
S	S		0	0	0,21236	-		0	0	0,21236	-		0	0	0,21236	-
	I		-3.030	244.642	0,35393	6,38		11.112	214.635	0,35393	5,92		11.814	221.591	0,35393	6,01
P	S	00227	0	0	0,21236	-	00228	0	0	0,21236	-	00229	0	0	0,21236	-
	I		6.733	396.961	1,06180	1,68		2.920	516.412	1,06180	1,74		-196	634.377	1,06180	1,81
S	S		0	0	0,21236	-		0	0	0,21236	-		0	0	0,21236	-
	I		12.498	261.486	0,35393	6,60		18.830	280.308	0,35393	6,90		24.078	280.503	0,35393	6,89
P	S	00230	0	0	0,21236	-	00231	0	0	0,21236	-	00232	0	0	0,21236	-
	I		-14.512	738.235	1,06180	1,87		-17.526	806.973	1,06180	1,91		-18.269	812.657	1,06180	1,92
S	S		0	0	0,21236	-		0	0	0,21236	-		0	0	0,21236	-
	I		29.129	269.763	0,35393	6,69		33.488	258.388	0,35393	6,50		34.503	256.077	0,35393	6,46
P	S	00233	0	0	0,21236	-	00234	0	0	0,21236	-	00235	0	0	0,21236	-
	I		-15.878	764.058	1,06180	1,89		-1.202	661.999	1,06180	1,82		1.441	549.371	1,06180	1,76
S	S		0	0	0,21236	-		0	0	0,21236	-		0	0	0,21236	-
	I		31.111	267.331	0,35393	6,65		26.199	280.502	0,35393	6,89		21.209	286.242	0,35393	7,00
P	S	00236	0	0	0,21236	-	00237	0	0	0,21236	-	00238	0	0	0,21236	-
	I		5.113	432.647	1,06180	1,70		12.332	307.480	1,06180	1,64		14.000	149.929	1,06180	1,57
S	S		0	0	0,21236	-		0	0	0,21236	-		0	0	0,21236	-
	I		15.064	274.001	0,35393	6,80		9.814	245.863	0,35393	6,36		14.997	226.177	0,35393	6,07
P	S	00239	0	0	0,21236	-	00240	0	0	0,21236	-	00241	0	0	0,21236	-
	I		2.966	145.427	1,06180	1,57		-6.279	118.921	1,06180	1,57		67	94.484	1,06180	1,55
S	S		0	0	0,21236	-		0	0	0,21236	-		0	0	0,21236	-
	I		3.326	231.088	0,35393	6,16		-6.199	255.469	0,35393	6,55		-5.401	271.488	0,35393	6,81
P	S	00242	0	0	0,21236	-	00243	0	0	0,21236	-	00244	0	0	0,21236	-
	I		-442	94.924	1,06180	1,55		5.290	139.658	1,06180	1,57		10.349	218.923	1,06180	1,60
S	S		0	0	0,21236	-		0	0	0,21236	-		0	0	0,21236	-
	I		-7.305	289.994	0,35393	7,15		4.512	307.053	0,35393	7,45		12.530	336.558	0,35393	8,09
P	S	00245	0	0	0,21236	-	00246	0	0	0,21236	-	00247	0	0	0,21236	-
	I		12.173	358.229	1,06180	1,66		8.601	511.777	1,06180	1,74		5.102	665.572	1,06180	1,82
S	S		0	0	0,21236	-		0	0	0,21236	-		0	0	0,21236	-
	I		11.494	366.092	0,35393	8,88		15.486	400.017	0,35393	9,98		21.824	423.104	0,35393	10,89
P	S	00248	0	0	0,21236	-	00249	0	0	0,21236	-	00250	0	0	0,21236	-
	I		998	805.491	1,06180	1,91		-15.480	926.297	1,06180	1,99		-18.370	979.475	1,06180	2,02
S	S		0	0	0,21236	-		0	0	0,21236	-		0	0	0,21236	-
	I		29.334	427.011	0,35393	11,03		36.615	416.648	0,35393	10,55		41.012	405.357	0,35393	10,08
P	S	00251	0	0	0,21236	-	00252	0	0	0,21236	-	00253	0	0	0,21236	-
	I		-17.067	951.236	1,06180	2,00		-689	832.134	1,06180	1,92		3.379	705.410	1,06180	1,85
S	S		0	0	0,21236	-		0	0	0,21236	-		0	0	0,21236	-
	I		38.985	413.172	0,35393	10,40		32.545	427.283	0,35393	11,03		24.875	430.073	0,35393	11,19
P	S	00254	0	0	0,21236	-	00255	0	0	0,21236	-	00256	0	0	0,21236	-
	I		7.295	555.510	1,06180	1,76		9.827	404.947	1,06180	1,69		11.121	260.947	1,06180	1,62
S	S		0	0	0,21236	-		0	0	0,21236	-		0	0	0,21236	-
	I		17.924	413.609	0,35393	10,50		12.712	381.027	0,35393	9,34		11.502	346.211	0,35393	8,33



Relazione preliminare sulle strutture

Platee - Verifiche pressoflessione retta allo SLD

Dir	Pos	Nodo	N _{Ed}	M _{Ed}	A _s	CS	Nodo	N _{Ed}	M _{Ed}	A _s	CS	Nodo	N _{Ed}	M _{Ed}	A _s	CS
			[N]	[N-m]	[cm ² /cm]			[N]	[N-m]	[cm ²]			[N]	[N-m]	[cm ²]	
P	S	00257	0	0	0,21236	-	00258	0	0	0,21236	-	00259	0	0	0,21236	-
I	8.071		157.320	1,06180	1,58	1.806		105.772	1,06180	1,56	-1.084		87.461	1,06180	1,55	
S	S		0	0	0,21236	-		0	0	0,21236	-		0	0	0,21236	-
I	10.072	317.046	0,35393	7,65	-3.258	295.287	0,35393	7,24	-7.743	274.371	0,35393	6,87				
P	S	00260	0	0	0,21236	-	00261	0	0	0,21236	-	00262	0	0	0,21236	-
I	201		59.651	1,06180	1,54	-3.121		66.058	1,06180	1,54	16.203		75.648	1,06180	1,54	
S	S		0	0	0,21236	-		0	0	0,21236	-		0	0	0,21236	-
I	-2.350	242.944	0,35393	6,35	-10.942	281.730	0,35393	7,01	-11.840	349.152	0,35393	8,49				
P	S	00263	0	0	0,21236	-	00264	0	0	0,21236	-	00265	0	0	0,21236	-
I	15.278		181.607	1,06180	1,59	15.474		310.477	1,06180	1,64	14.425		471.427	1,06180	1,72	
S	S		0	0	0,21236	-		0	0	0,21236	-		0	0	0,21236	-
I	912	404.003	0,35393	10,19	5.729	468.449	0,35393	13,43	9.928	527.075	0,35393	18,94				
P	S	00266	0	0	0,21236	-	00267	0	0	0,21236	-	00268	0	0	0,21236	-
I	12.447		658.007	1,06180	1,82	8.045		852.148	1,06180	1,93	1.850		1.019.044	1,06180	2,04	
S	S		0	0	0,21236	-		0	0	0,21236	-		0	0	0,21236	-
I	17.239	575.504	0,35393	28,62	26.267	607.023	0,35393	42,92	37.308	615.170	0,35393	49,13				
P	S	00269	0	0	0,21236	-	00270	0	0	0,21236	-	00271	0	0	0,21236	-
I	-17.398		1.161.230	1,06180	2,16	-18.988		1.178.865	1,06180	2,17	-13.874		1.063.728	1,06180	2,08	
S	S		0	0	0,21236	-		0	0	0,21236	-		0	0	0,21236	-
I	47.122	602.346	0,35393	39,58	49.661	597.071	0,35393	36,65	41.950	614.520	0,35393	48,45				
P	S	00272	0	0	0,21236	-	00273	0	0	0,21236	-	00274	0	0	0,21236	-
I	5.569		899.088	1,06180	1,96	10.897		711.655	1,06180	1,85	13.914		524.131	1,06180	1,74	
S	S		0	0	0,21236	-		0	0	0,21236	-		0	0	0,21236	-
I	30.665	616.279	0,35393	50,30	21.366	590.240	0,35393	33,89	12.498	546.640	0,35393	21,93				
P	S	00275	0	0	0,21236	-	00276	0	0	0,21236	-	00277	0	0	0,21236	-
I	15.506		356.979	1,06180	1,66	15.388		217.870	1,06180	1,60	14.827		113.474	1,06180	1,56	
S	S		0	0	0,21236	-		0	0	0,21236	-		0	0	0,21236	-
I	7.284	489.567	0,35393	15,00	3.431	426.975	0,35393	11,15	-4.339	362.483	0,35393	8,83				
P	S	00278	-39	14.834	0,21236	1,51	00279	0	0	0,21236	-	00280	569	2.143	0,21236	1,52
I	39		46.017	1,06180	1,53	-2.194		53.284	1,06180	1,54	-569		30.924	1,06180	1,53	
S	S		0	0	0,21236	-		0	0	0,21236	-		0	0	0,21236	-
I	-10.017	311.197	0,35393	7,58	-5.866	270.154	0,35393	6,79	569	315.874	0,35393	7,65				
P	S	00281	-7.131	102.522	0,21236	1,48	00282	0	0	0,21236	-	00283	0	0	0,21236	-
I	0		0	1,06180	-	21.616		121.569	1,06180	1,56	20.450		248.946	1,06180	1,61	
S	S		0	0	0,21236	-		0	0	0,21236	-		0	0	0,21236	-
I	10.097	275.491	0,35393	6,84	-3.590	425.048	0,35393	11,09	820	530.511	0,35393	19,48				
P	S	00284	0	0	0,21236	-	00285	0	0	0,21236	-	00286	0	0	0,21236	-
I	20.553		408.806	1,06180	1,69	20.954		604.680	1,06180	1,78	18.671		841.496	1,06180	1,92	
S	S		0	0	0,21236	-		0	0	0,21236	-		0	0	0,21236	-
I	4.944	627.855	0,35393	65,03	10.567	722.351	0,35393	50,87	20.183	802.692	0,35393	20,14				
P	S	00287	0	0	0,21236	-	00288	0	0	0,21236	-	00289	0	0	0,21236	-



Relazione preliminare sulle strutture

Platee - Verifiche pressoflessione retta allo SLD

Dir	Pos	Nodo	N _{Ed}	M _{Ed}	A _s	CS	Nodo	N _{Ed}	M _{Ed}	A _s	CS	Nodo	N _{Ed}	M _{Ed}	A _s	CS
			[N]	[N·m]	[cm ² /cm]			[N]	[N·m]	[cm ²]			[N]	[N·m]	[cm ²]	
	I		12.437	1.093.463	1,06180	2,09		2.223	1.297.854	1,06180	2,26		-21.129	1.450.612	1,06180	2,41
S	S		0	0	0,21236	-		0	0	0,21236	-		0	0	0,21236	-
	I		35.957	849.708	0,35393	14,80		50.053	863.004	0,35393	13,71		62.818	844.566	0,35393	15,07
P	S	00290	0	0	0,21236	-	00291	0	0	0,21236	-	00292	0	0	0,21236	-
	I		-17.192	1.371.435	1,06180	2,33		8.470	1.151.405	1,06180	2,14		16.647	909.373	1,06180	1,96
S	S		0	0	0,21236	-		0	0	0,21236	-		0	0	0,21236	-
	I		56.996	859.261	0,35393	13,94		39.667	863.588	0,35393	13,72		25.908	825.304	0,35393	17,18
P	S	00293	0	0	0,21236	-	00294	0	0	0,21236	-	00295	0	0	0,21236	-
	I		20.407	668.567	1,06180	1,82		20.603	462.191	1,06180	1,71		20.426	295.196	1,06180	1,63
S	S		0	0	0,21236	-		0	0	0,21236	-		0	0	0,21236	-
	I		13.951	752.380	0,35393	32,42		6.988	659.496	0,35393	NS		2.555	562.627	0,35393	25,32
P	S	00296	0	0	0,21236	-	00297	-21.789	18.512	0,21236	1,52	00298	-903	9.610	0,21236	1,51
	I		20.856	161.044	1,06180	1,58		21.789	42.656	1,06180	1,53		903	27.423	1,06180	1,53
S	S		0	0	0,21236	-		0	0	0,21236	-		0	0	0,21236	-
	I		-1.659	463.566	0,35393	13,15		-6.025	337.137	0,35393	8,16		7.181	312.611	0,35393	7,56
P	S	00299	0	0	0,21236	-	00300	971	12.967	0,21236	1,51	00301	-4.919	46.774	0,21236	1,50
	I		-607	27.212	1,06180	1,53		-971	9.683	1,06180	1,52		0	0	1,06180	-
S	S		0	0	0,21236	-		0	0	0,21236	-		0	0	0,21236	-
	I		-195	305.193	0,35393	7,43		-11.079	352.219	0,35393	8,57		2.086	390.455	0,35393	9,69
P	S	00302	-19.045	19.820	0,21236	1,51	00303	0	0	0,21236	-	00304	0	0	0,21236	-
	I		19.045	41.188	1,06180	1,53		22.713	172.751	1,06180	1,58		25.027	325.965	1,06180	1,65
S	S		0	0	0,21236	-		0	0	0,21236	-		0	0	0,21236	-
	I		-1.558	462.558	0,35393	13,09		-2.632	557.438	0,35393	24,19		140	678.727	0,35393	NS
P	S	00305	0	0	0,21236	-	00306	0	0	0,21236	-	00307	0	0	0,21236	-
	I		26.974	518.620	1,06180	1,74		30.536	762.547	1,06180	1,87		29.066	1.075.720	1,06180	2,07
S	S		0	0	0,21236	-		0	0	0,21236	-		0	0	0,21236	-
	I		3.918	816.248	0,35393	18,39		10.232	965.838	0,35393	9,09		22.613	1.106.602	0,35393	6,13
P	S	00308	0	0	0,21236	-	00309	0	0	0,21236	-	00310	0	0	0,21236	-
	I		20.119	1.423.682	1,06180	2,36		-17.133	1.724.781	1,06180	2,70		-25.286	1.814.678	1,06180	2,82
S	S		0	0	0,21236	-		0	0	0,21236	-		0	0	0,21236	-
	I		47.982	1.194.855	0,35393	5,05		72.740	1.212.724	0,35393	4,84		83.554	1.192.680	0,35393	5,00
P	S	00311	0	0	0,21236	-	00312	0	0	0,21236	-	00313	0	0	0,21236	-
	I		12.967	1.502.242	1,06180	2,44		26.603	1.167.449	1,06180	2,14		30.550	843.808	1,06180	1,92
S	S		0	0	0,21236	-		0	0	0,21236	-		0	0	0,21236	-
	I		61.949	1.209.226	0,35393	4,89		31.113	1.147.536	0,35393	5,59		14.378	1.014.692	0,35393	7,79
P	S	00314	0	0	0,21236	-	00315	0	0	0,21236	-	00316	0	0	0,21236	-
	I		27.624	582.970	1,06180	1,77		25.918	380.062	1,06180	1,67		23.779	219.103	1,06180	1,60
S	S		0	0	0,21236	-		0	0	0,21236	-		0	0	0,21236	-



Relazione preliminare sulle strutture

Platee - Verifiche pressoflessione retta allo SLD

Dir	Pos	Nodo	N _{Ed}	M _{Ed}	A _s	CS	Nodo	N _{Ed}	M _{Ed}	A _s	CS	Nodo	N _{Ed}	M _{Ed}	A _s	CS
			[N]	[N-m]	[cm ² /cm]			[N]	[N-m]	[cm ²]			[N]	[N-m]	[cm ²]	
	I		6.124	861.743	0,35393	14,03		1.575	719.270	0,35393	54,18		-1.588	593.668	0,35393	35,76
P	S	00317	0	0	0,21236	-	00318	-5.889	46.479	0,21236	1,50	00319	1.696	22.638	0,21236	1,51
I	I		21.020	89.323	1,06180	1,55		0	0	1,06180	-		-1.696	3.473	1,06180	1,52
S	S		0	0	0,21236	-		0	0	0,21236	-		0	0	0,21236	-
I	I		-3.303	488.301	0,35393	14,96		3.254	425.665	0,35393	11,09		-7.452	358.103	0,35393	8,72
P	S	00320	644	12.967	0,21236	1,51	00321	4.515	47.155	0,21236	1,50	00322	-6.053	38.857	0,21236	1,50
I	I		-644	4.263	1,06180	1,52		0	0	1,06180	-		0	0	1,06180	-
S	S		0	0	0,21236	-		0	0	0,21236	-		0	0	0,21236	-
I	I		-12.313	351.052	0,35393	8,54		-22.376	416.272	0,35393	10,78		-16.667	487.664	0,35393	14,99
P	S	00323	0	0	0,21236	-	00324	0	0	0,21236	-	00325	0	0	0,21236	-
I	I		22.612	96.175	1,06180	1,55		27.495	235.312	1,06180	1,60		32.024	411.993	1,06180	1,68
S	S		0	0	0,21236	-		0	0	0,21236	-		0	0	0,21236	-
I	I		-15.535	578.933	0,35393	30,10		-14.909	700.078	0,35393	88,52		-13.152	850.082	3,00843	1,26
P	S	00326	0	0	0,21236	-	00327	0	0	0,21236	-	00328	0	0	0,21236	-
I	I		36.725	641.535	1,06180	1,80		45.652	947.731	1,06180	1,98		48.794	1.386.328	1,06180	2,32
S	S		0	0	0,21236	-		0	0	0,21236	-		0	0	0,21236	-
I	I		1.981	1.023.671	3,00843	1,28		8.040	1.260.367	3,00843	1,31		22.683	1.534.341	3,00843	1,34
P	S	00329	0	0	0,21236	-	00330	0	0	0,21236	-	00331	0	0	0,21236	-
I	I		37.815	1.931.521	1,06180	2,95		-35.348	2.365.648	1,06180	3,82		20.707	2.055.032	1,06180	3,15
S	S		0	0	0,21236	-		0	0	0,21236	-		0	0	0,21236	-
I	I		68.439	1.733.442	3,00843	1,36		121.980	1.745.492	3,00843	1,36		100.958	1.762.402	3,00843	1,36
P	S	00332	0	0	0,21236	-	00333	0	0	0,21236	-	00334	0	0	0,21236	-
I	I		47.487	1.527.309	1,06180	2,45		47.798	1.056.502	1,06180	2,05		38.740	720.259	1,06180	1,84
S	S		0	0	0,21236	-		0	0	0,21236	-		0	0	0,21236	-
I	I		35.673	1.630.435	3,00843	1,35		12.522	1.343.076	3,00843	1,32		3.997	1.087.031	3,00843	1,29
P	S	00335	0	0	0,21236	-	00336	0	0	0,21236	-	00337	0	0	0,21236	-
I	I		33.998	474.156	1,06180	1,71		29.406	286.888	1,06180	1,63		24.802	140.405	1,06180	1,57
S	S		0	0	0,21236	-		0	0	0,21236	-		0	0	0,21236	-
I	I		6	884.330	0,35393	12,58		-14.275	740.719	0,35393	38,11		-15.446	611.288	0,35393	46,88
P	S	00338	-19.144	25.718	0,21236	1,51	00339	-3.054	53.382	0,21236	1,50	00340	2.346	28.246	0,21236	1,50
I	I		19.144	25.991	1,06180	1,52		0	0	1,06180	-		0	0	1,06180	-
S	S		0	0	0,21236	-		0	0	0,21236	-		0	0	0,21236	-
I	I		-15.814	511.317	0,35393	17,22		-19.593	434.567	0,35393	11,61		-24.779	372.444	0,35393	9,20
P	S	00341	2.720	34.063	0,21236	1,50	00342	6.161	76.199	0,21236	1,49	00343	-24.473	18.904	0,21236	1,52
I	I		0	0	1,06180	-		0	0	1,06180	-		24.473	32.686	1,06180	1,52
S	S		0	0	0,21236	-		0	0	0,21236	-		0	0	0,21236	-
I	I		-19.392	367.911	0,35393	9,04		-18.848	450.999	0,35393	12,48		-18.584	550.538	0,35393	22,94
P	S	00344	0	0	0,21236	-	00345	0	0	0,21236	-	00346	0	0	0,21236	-
I	I		28.623	154.598	1,06180	1,57		34.146	308.790	1,06180	1,64		41.342	509.180	1,06180	1,73



Relazione preliminare sulle strutture

Platee - Verifiche pressoflessione retta allo SLD

Dir	Pos	Nodo	N _{Ed}	M _{Ed}	A _s	CS	Nodo	N _{Ed}	M _{Ed}	A _s	CS	Nodo	N _{Ed}	M _{Ed}	A _s	CS
			[N]	[N-m]	[cm ² /cm]			[N]	[N-m]	[cm ²]			[N]	[N-m]	[cm ²]	
S	S		0	0	0,21236	-		0	0	0,21236	-		0	0	0,21236	-
	I		-17.155	679.504	0,35393	NS		-16.419	837.568	3,00843	1,26		-15.651	1.034.026	3,00843	1,29
P	S	00347	0	0	0,21236	-	00348	0	0	0,21236	-	00349	0	0	0,21236	-
	I		51.021	778.977	1,06180	1,87		69.497	1.160.337	1,06180	2,12		91.532	1.797.385	1,06180	2,74
S	S		0	0	0,21236	-		0	0	0,21236	-		0	0	0,21236	-
	I		-14.708	1.287.525	3,00843	1,32		-12.962	1.631.915	3,00843	1,36		16.094	2.101.415	3,00843	1,42
P	S	00350	0	0	1,27416	-	00351	0	0	1,27416	-	00352	0	0	1,27416	-
	I		111.223	3.099.731	3,71630	3,02		-105.783	4.067.398	3,71630	3,52		103.318	2.065.965	1,06180	3,57
S	S		0	0	1,27416	-		0	0	1,27416	-		0	0	1,27416	-
	I		109.550	2.769.094	3,00843	3,95		205.390	2.347.400	3,00843	3,62		32.904	2.344.241	3,00843	3,66
P	S	00353	0	0	1,27416	-	00354	0	0	0,21236	-	00355	0	0	0,21236	-
	I		78.007	1.308.506	1,06180	4,76		56.029	874.621	1,06180	1,93		44.986	579.833	1,06180	1,76
S	S		0	0	1,27416	-		0	0	0,21236	-		0	0	0,21236	-
	I		-11.373	1.744.726	3,00843	3,31		-14.092	1.371.475	3,00843	1,33		-15.279	1.097.375	3,00843	1,29
P	S	00356	0	0	0,21236	-	00357	0	0	0,21236	-	00358	0	0	0,21236	-
	I		36.901	364.937	1,06180	1,66		30.770	201.295	1,06180	1,59		26.082	73.448	1,06180	1,54
S	S		0	0	0,21236	-		0	0	0,21236	-		0	0	0,21236	-
	I		-16.097	888.453	0,35393	12,42		-16.836	722.111	0,35393	51,59		-17.783	585.934	0,35393	32,66
P	S	00359	-22.594	56.397	0,21236	1,50	00360	9.231	71.064	0,21236	1,49	00361	-94	14.792	0,21236	1,51
	I		0	0	1,06180	-		0	0	1,06180	-		0	0	1,06180	-
S	S		0	0	0,21236	-		0	0	0,21236	-		0	0	0,21236	-
	I		-20.597	478.568	0,35393	14,29		-16.945	393.393	0,35393	9,87		-22.126	340.673	0,35393	8,30
P	S	00362	-233	6.133	0,21236	1,51	00363	-28.001	45.512	0,21236	1,51	00364	0	0	0,21236	-
	I		0	0	1,06180	-		0	0	1,06180	-		28.629	87.400	1,06180	1,54
S	S		0	0	0,21236	-		0	0	0,21236	-		0	0	0,21236	-
	I		20.633	287.675	0,35393	7,03		-19.222	465.205	0,35393	13,35		-18.455	616.519	0,35393	51,59
P	S	00365	0	0	0,21236	-	00366	0	0	0,21236	-	00367	0	0	0,21236	-
	I		33.134	221.931	1,06180	1,60		40.287	395.350	1,06180	1,67		50.756	624.809	1,06180	1,79
S	S		0	0	0,21236	-		0	0	0,21236	-		0	0	0,21236	-
	I		-17.676	767.958	0,35393	27,62		-17.391	950.382	3,00843	1,28		-17.469	1.183.741	3,00843	1,30
P	S	00368	0	0	0,21236	-	00369	0	0	0,21236	-	00370	0	0	0,21236	-
	I		67.115	944.279	1,06180	1,97		95.876	1.435.947	1,06180	2,34		155.222	2.307.701	3,71630	1,35
S	S		0	0	0,21236	-		0	0	0,21236	-		0	0	0,21236	-
	I		-17.755	1.498.482	3,00843	1,34		-16.801	1.983.399	3,00843	1,41		-4.258	3.107.777	3,00843	1,59
P	S	00371	0	0	1,27416	-	00372	0	0	1,27416	-	00373	0	0	1,27416	-
	I		-102.957	5.819.630	3,71630	4,83		183.451	2.818.723	3,71630	2,89		113.635	1.642.198	1,06180	4,14



Relazione preliminare sulle strutture

Platee - Verifiche pressoflessione retta allo SLD

Dir	Pos	Nodo	N _{Ed}	M _{Ed}	A _s	CS	Nodo	N _{Ed}	M _{Ed}	A _s	CS	Nodo	N _{Ed}	M _{Ed}	A _s	CS
			[N]	[N-m]	[cm ² /cm]			[N]	[N-m]	[cm ²]			[N]	[N-m]	[cm ²]	
S	S		0	0	1,27416	-		0	0	1,27416	-		0	0	1,27416	-
	I		-158.028	5.493.116	3,00843	8,97		-11.472	3.778.474	3,00843	5,00		-16.066	2.192.416	3,00843	3,57
P	S	00374	0	0	0,21236	-	00375	0	0	0,21236	-	00376	0	0	0,21236	-
	I		76.522	1.061.297	1,06180	2,05		56.495	705.876	1,06180	1,83		44.085	457.370	1,06180	1,70
S	S		0	0	0,21236	-		0	0	0,21236	-		0	0	0,21236	-
	I		-17.877	1.607.656	3,00843	1,36		-17.602	1.259.552	3,00843	1,31		-17.378	1.008.692	0,35393	8,03
P	S	00377	0	0	0,21236	-	00378	0	0	0,21236	-	00379	-27.715	26.175	0,21236	1,51
	I		35.773	272.259	1,06180	1,62		30.152	129.869	1,06180	1,56		27.713	17.657	1,06180	1,52
S	S		0	0	0,21236	-		0	0	0,21236	-		0	0	0,21236	-
	I		-17.509	815.565	0,35393	18,63		-18.063	659.472	0,35393	NS		-18.984	519.260	0,35393	18,16
P	S	00380	20.496	95.596	0,21236	1,48	00381	693	30.737	0,21236	1,50	00382	663	3.442	0,21236	1,51
	I		0	0	1,06180	-		0	0	1,06180	-		0	0	1,06180	-
S	S		0	0	0,21236	-		0	0	0,21236	-		0	0	0,21236	-
	I		-24.305	353.145	0,35393	8,64		21.961	307.206	0,35393	7,41		-11.461	274.803	0,35393	6,89
P	S	00383	2.676	34.343	0,21236	1,50	00384	6.282	76.656	0,21236	1,49	00385	-24.571	18.919	0,21236	1,52
	I		0	0	1,06180	-		0	0	1,06180	-		24.571	32.570	1,06180	1,52
S	S		0	0	0,21236	-		0	0	0,21236	-		0	0	0,21236	-
	I		-19.228	367.472	0,35393	9,03		-18.998	450.531	0,35393	12,46		-18.635	550.535	0,35393	22,94
P	S	00386	0	0	0,21236	-	00387	0	0	0,21236	-	00388	0	0	0,21236	-
	I		28.677	154.499	1,06180	1,57		34.209	308.627	1,06180	1,63		41.442	508.978	1,06180	1,73
S	S		0	0	0,21236	-		0	0	0,21236	-		0	0	0,21236	-
	I		-17.186	680.015	0,35393	NS		-16.455	838.407	3,00843	1,26		-15.709	1.035.280	3,00843	1,29
P	S	00389	0	0	0,21236	-	00390	0	0	0,21236	-	00391	0	0	0,21236	-
	I		51.201	778.768	1,06180	1,87		69.852	1.160.494	1,06180	2,12		92.394	1.797.894	1,06180	2,74
S	S		0	0	0,21236	-		0	0	0,21236	-		0	0	0,21236	-
	I		-14.807	1.289.560	3,00843	1,32		-13.141	1.635.586	3,00843	1,36		15.633	2.103.682	3,00843	1,42
P	S	00392	0	0	1,27416	-	00393	0	0	1,27416	-	00394	0	0	1,27416	-
	I		114.398	3.114.402	3,71630	3,02		-111.074	4.197.391	3,71630	3,59		104.716	2.069.516	1,06180	3,57
S	S		0	0	1,27416	-		0	0	1,27416	-		0	0	1,27416	-
	I		108.853	2.787.110	3,00843	3,97		98.239	2.490.560	3,00843	3,75		32.354	2.354.360	3,00843	3,67
P	S	00395	0	0	1,27416	-	00396	0	0	0,21236	-	00397	0	0	0,21236	-
	I		78.520	1.308.702	1,06180	4,76		56.337	874.487	1,06180	1,93		45.152	579.626	1,06180	1,76
S	S		0	0	1,27416	-		0	0	0,21236	-		0	0	0,21236	-
	I		-11.579	1.751.018	3,00843	3,31		-14.216	1.374.231	3,00843	1,33		-15.351	1.098.949	3,00843	1,29
P	S	00398	0	0	0,21236	-	00399	0	0	0,21236	-	00400	0	0	0,21236	-
	I		36.998	364.756	1,06180	1,66		30.834	201.157	1,06180	1,59		26.150	73.384	1,06180	1,54
S	S		0	0	0,21236	-		0	0	0,21236	-		0	0	0,21236	-



Relazione preliminare sulle strutture

Platee - Verifiche pressoflessione retta allo SLD

Dir	Pos	Nodo	N _{Ed}	M _{Ed}	A _s	CS	Nodo	N _{Ed}	M _{Ed}	A _s	CS	Nodo	N _{Ed}	M _{Ed}	A _s	CS
			[N]	[N-m]	[cm ² /cm]			[N]	[N-m]	[cm ²]			[N]	[N-m]	[cm ²]	
	I		-16.140	889.459	0,35393	12,37		-16.863	722.793	0,35393	50,94		-17.820	586.287	0,35393	32,80
P	S	00401	-22.768	56.531	0,21236	1,50	00402	9.608	71.701	0,21236	1,49	00403	-100	15.092	0,21236	1,51
	I		0	0	1,06180	-		0	0	1,06180	-		0	0	1,06180	-
S	S		0	0	0,21236	-		0	0	0,21236	-		0	0	0,21236	-
	I		-20.689	478.192	0,35393	14,27		-16.873	392.882	0,35393	9,85		-22.063	340.417	0,35393	8,30
P	S	00404	659	13.134	0,21236	1,51	00405	4.562	47.835	0,21236	1,50	00406	-6.080	38.727	0,21236	1,50
	I		-659	4.099	1,06180	1,52		0	0	1,06180	-		0	0	1,06180	-
S	S		0	0	0,21236	-		0	0	0,21236	-		0	0	0,21236	-
	I		-12.318	350.675	0,35393	8,53		-22.413	416.705	0,35393	10,80		-16.754	488.314	0,35393	15,04
P	S	00407	0	0	0,21236	-	00408	0	0	0,21236	-	00409	0	0	0,21236	-
	I		22.665	96.041	1,06180	1,55		27.568	235.123	1,06180	1,60		32.139	411.820	1,06180	1,68
S	S		0	0	0,21236	-		0	0	0,21236	-		0	0	0,21236	-
	I		-15.569	580.011	0,35393	30,47		-14.949	701.575	0,35393	84,41		-13.218	852.170	3,00843	1,26
P	S	00410	0	0	0,21236	-	00411	0	0	0,21236	-	00412	0	0	0,21236	-
	I		36.910	641.500	1,06180	1,80		45.964	947.984	1,06180	1,98		49.334	1.388.030	1,06180	2,32
S	S		0	0	0,21236	-		0	0	0,21236	-		0	0	0,21236	-
	I		1.901	1.025.689	3,00843	1,28		7.912	1.263.806	3,00843	1,31		22.479	1.541.695	3,00843	1,34
P	S	00413	0	0	0,21236	-	00414	0	0	0,21236	-	00415	0	0	0,21236	-
	I		38.682	1.938.879	1,06180	2,96		-35.392	2.382.124	1,06180	3,86		21.527	2.067.708	1,06180	3,18
S	S		0	0	0,21236	-		0	0	0,21236	-		0	0	0,21236	-
	I		68.215	1.748.119	3,00843	1,37		122.533	1.761.542	3,00843	1,36		102.048	1.776.886	3,00843	1,37
P	S	00416	0	0	0,21236	-	00417	0	0	0,21236	-	00418	0	0	0,21236	-
	I		48.326	1.531.431	1,06180	2,46		48.253	1.057.173	1,06180	2,05		38.985	720.379	1,06180	1,84
S	S		0	0	0,21236	-		0	0	0,21236	-		0	0	0,21236	-
	I		35.216	1.640.178	3,00843	1,36		12.257	1.347.821	3,00843	1,32		3.857	1.089.470	3,00843	1,29
P	S	00419	0	0	0,21236	-	00420	0	0	0,21236	-	00421	0	0	0,21236	-
	I		34.154	474.023	1,06180	1,71		29.504	286.699	1,06180	1,63		24.861	140.248	1,06180	1,57
S	S		0	0	0,21236	-		0	0	0,21236	-		0	0	0,21236	-
	I		-12.267	899.817	0,35393	11,79		-14.327	742.441	0,35393	37,21		-15.476	612.518	0,35393	47,90
P	S	00422	-19.213	25.728	0,21236	1,51	00423	-3.018	53.730	0,21236	1,50	00424	2.342	28.887	0,21236	1,50
	I		19.213	25.847	1,06180	1,52		0	0	1,06180	-		0	0	1,06180	-
S	S		0	0	0,21236	-		0	0	0,21236	-		0	0	0,21236	-
	I		-15.897	512.213	0,35393	17,32		-19.589	435.685	0,35393	11,67		-24.985	373.687	0,35393	9,24
P	S	00425	975	13.510	0,21236	1,51	00426	-4.724	47.100	0,21236	1,50	00427	-18.963	19.722	0,21236	1,51
	I		-975	9.021	1,06180	1,52		0	0	1,06180	-		18.963	41.265	1,06180	1,53
S	S		0	0	0,21236	-		0	0	0,21236	-		0	0	0,21236	-
	I		-11.102	352.602	0,35393	8,58		1.968	391.821	0,35393	9,74		-1.574	464.319	0,35393	13,20
P	S	00428	0	0	0,21236	-	00429	0	0	0,21236	-	00430	0	0	0,21236	-
	I		22.752	172.499	1,06180	1,58		25.121	325.876	1,06180	1,65		27.117	518.774	1,06180	1,74



Relazione preliminare sulle strutture

Platee - Verifiche pressoflessione retta allo SLD

Dir	Pos	Nodo	N _{Ed}	M _{Ed}	A _s	CS	Nodo	N _{Ed}	M _{Ed}	A _s	CS	Nodo	N _{Ed}	M _{Ed}	A _s	CS
			[N]	[N-m]	[cm ² /cm]			[N]	[N-m]	[cm ²]			[N]	[N-m]	[cm ²]	
S	S		0	0	0,21236	-		0	0	0,21236	-		0	0	0,21236	-
	I		-2.641	559.021	0,35393	24,54		96	680.562	3,00843	1,24		3.856	818.845	3,00843	1,26
P	S	00431	0	0	0,21236	-	00432	0	0	0,21236	-	00433	0	0	0,21236	-
	I		30.759	763.097	1,06180	1,87		29.378	1.077.514	1,06180	2,08		20.490	1.428.047	1,06180	2,37
S	S		0	0	0,21236	-		0	0	0,21236	-		0	0	0,21236	-
	I		10.148	969.792	3,00843	1,27		22.504	1.112.736	3,00843	1,29		47.897	1.203.392	3,00843	1,30
P	S	00434	0	0	0,21236	-	00435	0	0	0,21236	-	00436	0	0	0,21236	-
	I		-16.981	1.731.729	1,06180	2,71		-25.466	1.824.131	1,06180	2,84		13.306	1.508.127	1,06180	2,45
S	S		0	0	0,21236	-		0	0	0,21236	-		0	0	0,21236	-
	I		72.847	1.222.138	3,00843	1,30		84.257	1.201.424	3,00843	1,29		62.290	1.217.767	3,00843	1,30
P	S	00437	0	0	0,21236	-	00438	0	0	0,21236	-	00439	0	0	0,21236	-
	I		27.005	1.170.323	1,06180	2,15		30.848	844.830	1,06180	1,92		27.792	583.330	1,06180	1,77
S	S		0	0	0,21236	-		0	0	0,21236	-		0	0	0,21236	-
	I		30.960	1.154.329	3,00843	1,29		14.219	1.019.330	3,00843	1,28		6.014	864.761	3,00843	1,26
P	S	00440	0	0	0,21236	-	00441	0	0	0,21236	-	00442	0	0	0,21236	-
	I		26.040	380.064	1,06180	1,67		23.851	218.937	1,06180	1,60		21.012	89.141	1,06180	1,55
S	S		0	0	0,21236	-		0	0	0,21236	-		0	0	0,21236	-
	I		1.501	721.314	0,35393	52,05		-1.629	595.213	0,35393	36,51		-3.294	489.828	0,35393	15,09
P	S	00443	-5.773	46.240	0,21236	1,50	00444	1.668	22.975	0,21236	1,51	00445	0	0	0,21236	-
	I		0	0	1,06180	-		-1.668	3.263	1,06180	1,52		-66	20.722	1,06180	1,52
S	S		0	0	0,21236	-		0	0	0,21236	-		0	0	0,21236	-
	I		3.268	426.732	0,35393	11,13		-7.372	358.492	0,35393	8,73		-14.022	336.888	0,35393	8,18
P	S	00446	393	3.541	0,21236	1,51	00447	-7.498	101.582	0,21236	1,48	00448	0	0	0,21236	-
	I		-393	29.320	1,06180	1,53		0	0	1,06180	-		21.662	121.232	1,06180	1,56
S	S		0	0	0,21236	-		0	0	0,21236	-		0	0	0,21236	-
	I		654	316.689	0,35393	7,67		10.068	278.709	0,35393	6,90		-3.580	426.556	0,35393	11,16
P	S	00449	0	0	0,21236	-	00450	0	0	0,21236	-	00451	0	0	0,21236	-
	I		20.535	248.982	1,06180	1,61		20.662	409.093	1,06180	1,69		21.113	605.339	1,06180	1,78
S	S		0	0	0,21236	-		0	0	0,21236	-		0	0	0,21236	-
	I		773	532.339	0,35393	19,74		4.893	630.432	0,35393	69,33		10.513	725.914	0,35393	47,66
P	S	00452	0	0	0,21236	-	00453	0	0	0,21236	-	00454	0	0	0,21236	-
	I		18.867	843.053	1,06180	1,92		12.644	1.096.584	1,06180	2,10		2.353	1.303.138	1,06180	2,26
S	S		0	0	0,21236	-		0	0	0,21236	-		0	0	0,21236	-
	I		20.125	807.444	0,35393	19,44		35.925	855.556	0,35393	14,33		50.110	869.194	0,35393	13,28
P	S	00455	0	0	0,21236	-	00456	0	0	0,21236	-	00457	0	0	0,21236	-
	I		-21.164	1.457.274	1,06180	2,42		-17.239	1.376.952	1,06180	2,34		8.655	1.155.330	1,06180	2,14
S	S		0	0	0,21236	-		0	0	0,21236	-		0	0	0,21236	-
	I		63.094	850.628	0,35393	14,57		57.345	865.443	0,35393	13,50		39.784	869.373	0,35393	13,32



Relazione preliminare sulle strutture

Platee - Verifiche pressoflessione retta allo SLD

Dir	Pos	Nodo	N _{Ed}	M _{Ed}	A _s	CS	Nodo	N _{Ed}	M _{Ed}	A _s	CS	Nodo	N _{Ed}	M _{Ed}	A _s	CS
			[N]	[N·m]	[cm ² /cm]			[N]	[N·m]	[cm ²]			[N]	[N·m]	[cm ²]	
P	S	00458	0	0	0,21236	-	00459	0	0	0,21236	-	00460	0	0	0,21236	-
	I		16.875	911.526	1,06180	1,97		20.605	669.563	1,06180	1,82		20.722	462.653	1,06180	1,71
S	S		0	0	0,21236	-		0	0	0,21236	-		0	0	0,21236	-
	I		25.853	830.341	0,35393	16,64		13.864	756.302	0,35393	30,96		6.911	662.395	0,35393	NS
P	S	00461	0	0	0,21236	-	00462	0	0	0,21236	-	00463	-21.901	18.700	0,21236	1,52
	I		20.533	295.334	1,06180	1,63		20.937	160.939	1,06180	1,57		21.901	42.439	1,06180	1,53
S	S		0	0	0,21236	-		0	0	0,21236	-		0	0	0,21236	-
	I		2.486	564.716	0,35393	25,82		-1.694	465.071	0,35393	13,25		-5.986	338.364	0,35393	8,19
P	S	00464	-1.142	10.284	0,21236	1,51	00465	0	0	0,21236	-	00466	0	0	0,21236	-
	I		1.142	26.625	1,06180	1,53		-744	26.809	1,06180	1,53		-3.105	65.842	1,06180	1,54
S	S		0	0	0,21236	-		0	0	0,21236	-		0	0	0,21236	-
	I		7.273	313.662	0,35393	7,58		-218	305.872	0,35393	7,44		-10.943	282.626	0,35393	7,03
P	S	00467	0	0	0,21236	-	00468	0	0	0,21236	-	00469	0	0	0,21236	-
	I		16.497	75.279	1,06180	1,54		15.412	181.752	1,06180	1,59		15.571	310.879	1,06180	1,64
S	S		0	0	0,21236	-		0	0	0,21236	-		0	0	0,21236	-
	I		-11.786	349.610	0,35393	8,50		856	405.431	0,35393	10,25		5.675	470.764	0,35393	13,59
P	S	00470	0	0	0,21236	-	00471	0	0	0,21236	-	00472	0	0	0,21236	-
	I		14.540	472.087	1,06180	1,72		12.579	659.323	1,06180	1,82		8.177	854.493	1,06180	1,93
S	S		0	0	0,21236	-		0	0	0,21236	-		0	0	0,21236	-
	I		9.899	530.141	0,35393	19,35		17.210	579.263	0,35393	29,81		26.260	611.178	0,35393	45,98
P	S	00473	0	0	0,21236	-	00474	0	0	0,21236	-	00475	0	0	0,21236	-
	I		1.939	1.022.670	1,06180	2,05		-17.381	1.165.773	1,06180	2,16		-19.018	1.183.655	1,06180	2,17
S	S		0	0	0,21236	-		0	0	0,21236	-		0	0	0,21236	-
	I		37.345	619.722	0,35393	53,63		47.261	606.944	0,35393	42,48		49.895	601.574	0,35393	39,08
P	S	00476	0	0	0,21236	-	00477	0	0	0,21236	-	00478	0	0	0,21236	-
	I		-13.858	1.067.414	1,06180	2,08		5.686	901.877	1,06180	1,96		11.041	713.347	1,06180	1,85
S	S		0	0	0,21236	-		0	0	0,21236	-		0	0	0,21236	-
	I		42.132	619.084	0,35393	52,84		30.725	620.570	0,35393	54,71		21.347	594.140	0,35393	35,64
P	S	00479	0	0	0,21236	-	00480	0	0	0,21236	-	00481	0	0	0,21236	-
	I		14.047	525.014	1,06180	1,74		15.602	357.470	1,06180	1,66		15.508	218.167	1,06180	1,60
S	S		0	0	0,21236	-		0	0	0,21236	-		0	0	0,21236	-
	I		12.460	549.919	0,35393	22,53		7.230	492.173	0,35393	15,22		3.351	428.821	0,35393	11,23
P	S	00482	0	0	0,21236	-	00483	20	16.325	0,21236	1,51	00484	0	0	0,21236	-
	I		15.036	113.165	1,06180	1,56		-20	44.631	1,06180	1,53		-2.241	53.175	1,06180	1,54
S	S		0	0	0,21236	-		0	0	0,21236	-		0	0	0,21236	-
	I		-4.347	363.376	0,35393	8,86		-9.920	311.290	0,35393	7,58		-5.825	270.388	0,35393	6,80
P	S	00485	0	0	0,21236	-	00486	0	0	0,21236	-	00487	0	0	0,21236	-
	I		269	99.855	1,06180	1,56		-298	93.731	1,06180	1,55		5.505	139.527	1,06180	1,57
S	S		0	0	0,21236	-		0	0	0,21236	-		0	0	0,21236	-
	I		-5.820	268.431	0,35393	6,76		-7.386	290.127	0,35393	7,15		4.515	308.122	0,35393	7,48
P	S	00488	0	0	0,21236	-	00489	0	0	0,21236	-	00490	0	0	0,21236	-



Relazione preliminare sulle strutture

Platee - Verifiche pressoflessione retta allo SLD

Dir	Pos	Nodo	N _{Ed}	M _{Ed}	A _s	CS	Nodo	N _{Ed}	M _{Ed}	A _s	CS	Nodo	N _{Ed}	M _{Ed}	A _s	CS
			[N]	[N·m]	[cm ² /cm]			[N]	[N·m]	[cm ²]			[N]	[N·m]	[cm ²]	
	I		10.416	219.629	1,06180	1,60		12.212	358.830	1,06180	1,66		8.685	512.828	1,06180	1,74
S	S		0	0	0,21236	-		0	0	0,21236	-		0	0	0,21236	-
	I		12.445	338.512	0,35393	8,14		11.512	368.682	0,35393	8,96		15.480	402.928	0,35393	10,09
P	S	00491	0	0	0,21236	-	00492	0	0	0,21236	-	00493	0	0	0,21236	-
	I		5.198	667.396	1,06180	1,82		1.066	808.174	1,06180	1,91		-15.447	929.615	1,06180	1,99
S	S		0	0	0,21236	-		0	0	0,21236	-		0	0	0,21236	-
	I		21.824	426.347	0,35393	11,04		29.364	430.520	0,35393	11,19		36.697	420.229	0,35393	10,70
P	S	00494	0	0	0,21236	-	00495	0	0	0,21236	-	00496	0	0	0,21236	-
	I		-18.371	983.340	1,06180	2,03		-17.074	954.792	1,06180	2,01		-650	835.006	1,06180	1,92
S	S		0	0	0,21236	-		0	0	0,21236	-		0	0	0,21236	-
	I		41.155	408.871	0,35393	10,22		39.140	416.720	0,35393	10,54		32.650	430.827	0,35393	11,19
P	S	00497	0	0	0,21236	-	00498	0	0	0,21236	-	00499	0	0	0,21236	-
	I		3.465	707.524	1,06180	1,85		7.389	556.847	1,06180	1,76		9.896	405.636	1,06180	1,69
S	S		0	0	0,21236	-		0	0	0,21236	-		0	0	0,21236	-
	I		24.905	433.399	0,35393	11,35		17.917	416.584	0,35393	10,63		12.717	383.675	0,35393	9,42
P	S	00500	0	0	0,21236	-	00501	0	0	0,21236	-	00502	0	0	0,21236	-
	I		11.171	261.508	1,06180	1,62		8.227	157.589	1,06180	1,58		2.013	105.432	1,06180	1,56
S	S		0	0	0,21236	-		0	0	0,21236	-		0	0	0,21236	-
	I		11.487	348.469	0,35393	8,39		9.967	318.748	0,35393	7,69		-3.261	296.158	0,35393	7,26
P	S	00503	0	0	0,21236	-	00504	0	0	0,21236	-	00505	0	0	0,21236	-
	I		-1.145	86.670	1,06180	1,55		937	114.528	1,06180	1,56		-6.745	132.554	1,06180	1,57
S	S		0	0	0,21236	-		0	0	0,21236	-		0	0	0,21236	-
	I		-7.799	274.682	0,35393	6,88		-6.804	271.835	0,35393	6,82		-2.997	245.934	0,35393	6,40
P	S	00506	0	0	0,21236	-	00507	0	0	0,21236	-	00508	0	0	0,21236	-
	I		-3.140	152.655	1,06180	1,58		15.134	267.417	1,06180	1,62		6.803	397.738	1,06180	1,68
S	S		0	0	0,21236	-		0	0	0,21236	-		0	0	0,21236	-
	I		11.318	217.945	0,35393	5,97		11.887	224.322	0,35393	6,05		12.516	263.765	0,35393	6,64
P	S	00509	0	0	0,21236	-	00510	0	0	0,21236	-	00511	0	0	0,21236	-
	I		3.011	517.886	1,06180	1,74		-136	636.452	1,06180	1,81		-14.476	740.756	1,06180	1,87
S	S		0	0	0,21236	-		0	0	0,21236	-		0	0	0,21236	-
	I		18.820	282.838	0,35393	6,95		24.111	283.286	0,35393	6,94		29.190	272.642	0,35393	6,74
P	S	00512	0	0	0,21236	-	00513	0	0	0,21236	-	00514	0	0	0,21236	-
	I		-17.508	810.036	1,06180	1,91		-18.264	815.751	1,06180	1,92		-15.878	766.734	1,06180	1,89
S	S		0	0	0,21236	-		0	0	0,21236	-		0	0	0,21236	-
	I		33.575	261.225	0,35393	6,54		34.613	258.888	0,35393	6,50		31.223	270.205	0,35393	6,69
P	S	00515	0	0	0,21236	-	00516	0	0	0,21236	-	00517	0	0	0,21236	-
	I		-1.166	664.196	1,06180	1,82		1.518	551.096	1,06180	1,76		5.198	433.666	1,06180	1,70
S	S		0	0	0,21236	-		0	0	0,21236	-		0	0	0,21236	-
	I		26.265	283.333	0,35393	6,94		21.210	288.844	0,35393	7,05		15.080	276.320	0,35393	6,84
P	S	00518	0	0	0,21236	-	00519	0	0	0,21236	-	00520	0	0	0,21236	-
	I		12.316	307.861	1,06180	1,64		13.769	151.455	1,06180	1,57		3.006	145.236	1,06180	1,57
S	S		0	0	0,21236	-		0	0	0,21236	-		0	0	0,21236	-
	I		9.889	248.131	0,35393	6,40		15.063	229.155	0,35393	6,11		3.406	233.105	0,35393	6,19



Relazione preliminare sulle strutture

Platee - Verifiche pressoflessione retta allo SLD

Dir	Pos	Nodo	N _{Ed}	M _{Ed}	A _s	CS	Nodo	N _{Ed}	M _{Ed}	A _s	CS	Nodo	N _{Ed}	M _{Ed}	A _s	CS
			[N]	[N·m]	[cm ² /cm]			[N]	[N·m]	[cm ²]			[N]	[N·m]	[cm ²]	
P	S	00521	0	0	0,21236	-	00522	0	0	0,21236	-	00523	0	0	0,21236	-
I	-5.692		114.969	1,06180	1,56	-5.731		138.639	1,06180	1,57	-8.351		162.780	1,06180	1,58	
S	S	00521	0	0	0,21236	-	00522	0	0	0,21236	-	00523	0	0	0,21236	-
I	-6.065		256.677	0,35393	6,57	-6.226		235.068	0,35393	6,24	-7.486		196.457	0,35393	5,74	
P	S	00524	0	0	0,21236	-	00525	0	0	0,21236	-	00526	0	0	0,21236	-
I	5.898		181.393	1,06180	1,59	9.461		306.531	1,06180	1,64	134		402.724	1,06180	1,69	
S	S	00524	0	0	0,21236	-	00525	0	0	0,21236	-	00526	0	0	0,21236	-
I	15.416		161.406	0,35393	5,29	6.410		160.532	0,35393	5,30	15.818		170.867	0,35393	5,39	
P	S	00527	0	0	0,21236	-	00528	0	0	0,21236	-	00529	0	0	0,21236	-
I	-2.162		489.895	1,06180	1,73	-2.486		583.545	1,06180	1,78	-16.445		661.045	1,06180	1,83	
S	S	00527	0	0	0,21236	-	00528	0	0	0,21236	-	00529	0	0	0,21236	-
I	21.733		168.334	0,35393	5,35	23.329		152.815	0,35393	5,19	27.051		141.271	0,35393	5,07	
P	S	00530	0	0	0,21236	-	00531	0	0	0,21236	-	00532	0	0	0,21236	-
I	-19.202		680.817	1,06180	1,84	-17.800		670.855	1,06180	1,83	-14.908		613.989	1,06180	1,80	
S	S	00530	0	0	0,21236	-	00531	0	0	0,21236	-	00532	0	0	0,21236	-
I	30.433		136.801	0,35393	5,02	28.785		140.433	0,35393	5,06	24.599		150.429	0,35393	5,16	
P	S	00533	0	0	0,21236	-	00534	0	0	0,21236	-	00535	0	0	0,21236	-
I	-2.302		519.388	1,06180	1,75	-1.145		424.401	1,06180	1,70	2.226		340.477	1,06180	1,66	
S	S	00533	0	0	0,21236	-	00534	0	0	0,21236	-	00535	0	0	0,21236	-
I	22.514		166.227	0,35393	5,33	19.164		176.026	0,35393	5,44	10.076		170.770	0,35393	5,40	
P	S	00536	0	0	0,21236	-	00537	0	0	0,21236	-	00538	0	0	0,21236	-
I	8.702		229.327	1,06180	1,61	1.630		172.792	1,06180	1,59	-8.027		137.399	1,06180	1,57	
S	S	00536	0	0	0,21236	-	00537	0	0	0,21236	-	00538	0	0	0,21236	-
I	861		163.339	0,35393	5,34	-12.512		176.718	0,35393	5,52	-3.730		217.699	0,35393	6,00	
P	S	00539	0	0	0,21236	-	00540	0	0	0,21236	-	00541	0	0	0,21236	-
I	-4.279		207.102	1,06180	1,60	90		259.401	1,06180	1,62	-1.227		320.609	1,06180	1,65	
S	S	00539	0	0	0,21236	-	00540	0	0	0,21236	-	00541	0	0	0,21236	-
I	2.645		143.481	0,35393	5,14	-4.149		136.724	0,35393	5,09	6.906		101.934	0,35393	4,75	
P	S	00542	0	0	0,21236	-	00543	0	0	0,21236	-	00544	0	0	0,21236	-
I	-7.782		351.871	1,06180	1,67	-100		457.777	1,06180	1,72	-15.390		539.986	1,06180	1,76	
S	S	00542	0	0	0,21236	-	00543	-19.559	16.928	0,21236	3,97	00544	-19.717	18.602	0,21236	3,96
I	22.436		82.081	0,35393	4,57	19.559		49.732	0,35393	4,33	19.717		41.761	0,35393	4,28	
P	S	00545	0	0	0,21236	-	00546	0	0	0,21236	-	00547	0	0	0,21236	-
I	-18.668		563.603	1,06180	1,78	-20.962		560.516	1,06180	1,77	-16.822		551.861	1,06180	1,77	
S	S	00545	-25.964	15.921	0,21236	3,99	00546	-28.537	12.880	0,21236	4,01	00547	-21.934	14.981	0,21236	3,99
I	25.964		39.591	0,35393	4,25	28.537		40.318	0,35393	4,25	21.934		42.741	0,35393	4,28	
P	S	00548	0	0	0,21236	-	00549	0	0	0,21236	-	00550	0	0	0,21236	-
I	-1.451		486.578	1,06180	1,73	-7.004		363.449	1,06180	1,67	-9.397		338.291	1,06180	1,66	
S	S	00548	-18.294	14.571	0,21236	3,98	00549	0	0	0,21236	-	00550	0	0	0,21236	-
I	18.294		48.774	0,35393	4,33	25.008		80.739	0,35393	4,55	12.526		89.349	0,35393	4,64	
P	S	00551	0	0	0,21236	-	00552	0	0	0,21236	-	00553	0	0	0,21236	-
I	-62		278.009	1,06180	1,63	-2.829		216.904	1,06180	1,61	-3.453		186.200	1,06180	1,59	
S	S	00551	0	0	0,21236	-	00552	0	0	0,21236	-	00553	0	0	0,21236	-
I																



Relazione preliminare sulle strutture

Platee - Verifiche pressoflessione retta allo SLD

Dir	Pos	Nodo	N _{Ed}	M _{Ed}	A _s	CS	Nodo	N _{Ed}	M _{Ed}	A _s	CS	Nodo	N _{Ed}	M _{Ed}	A _s	CS
			[N]	[N-m]	[cm ² /cm]			[N]	[N-m]	[cm ²]			[N]	[N-m]	[cm ²]	
	I		938	125.101	0,35393	4,97		1.106	144.811	0,35393	5,15		-5.853	162.452	0,35393	5,35
P	S	00554	0	0	0,21236	-	00555	0	0	0,21236	-	00556	0	0	0,21236	-
I	I		-6.420	243.229	1,06180	1,62		-6.516	279.147	1,06180	1,63		-9.455	305.258	1,06180	1,65
S	S		0	0	0,21236	-		0	0	0,21236	-		-1.236	7.841	0,21236	4,00
I	I		-6.932	136.173	0,35393	5,09		525	99.867	0,35393	4,75		1.236	52.717	0,35393	4,38
P	S	00557	0	0	0,21236	-	00558	0	0	0,21236	-	00559	0	0	0,21236	-
I	I		2.199	317.243	1,06180	1,65		-2.194	436.260	1,06180	1,71		-19.239	480.296	1,06180	1,73
S	S		-3.150	78.501	0,21236	3,62		-2.831	48.372	0,21236	3,77		-4.025	58.803	0,21236	3,72
I	I		0	0	0,35393	-		0	0	0,35393	-		0	0	0,35393	-
P	S	00560	0	0	0,21236	-	00561	0	0	0,21236	-	00562	0	0	0,21236	-
I	I		-21.702	435.510	1,06180	1,71		-18.718	482.140	1,06180	1,73		-5.404	447.592	1,06180	1,71
S	S		10.139	65.862	0,21236	3,66		-4.879	65.272	0,21236	3,69		-3.404	47.434	0,21236	3,78
I	I		0	0	0,35393	-		0	0	0,35393	-		0	0	0,35393	-
P	S	00563	0	0	0,21236	-	00564	0	0	0,21236	-	00565	0	0	0,21236	-
I	I		1.145	385.126	1,06180	1,68		2.295	298.417	1,06180	1,64		-7.787	282.278	1,06180	1,64
S	S		-3.185	56.615	0,21236	3,73		5.070	41.622	0,21236	3,80		0	0	0,21236	-
I	I		0	0	0,35393	-		-5.070	23.145	0,35393	4,19		1.022	88.033	0,35393	4,65
P	S	00566	0	0	0,21236	-	00567	0	0	0,21236	-	00568	0	0	0,21236	-
I	I		-6.051	250.549	1,06180	1,62		-5.176	269.055	1,06180	1,63		-2.449	313.081	1,06180	1,65
S	S		0	0	0,21236	-		0	0	0,21236	-		4.067	832	0,21236	4,03
I	I		1.413	123.028	0,35393	4,95		-521	78.410	0,35393	4,58		-4.067	32.463	0,35393	4,25
P	S	00569	0	0	0,21236	-	00570	0	0	0,21236	-	00571	0	0	0,21236	-
I	I		-6.222	362.273	1,06180	1,67		-22.934	412.816	1,06180	1,70		-17.782	396.092	1,06180	1,69
S	S		-1.322	27.034	0,21236	3,89		2.510	49.709	0,21236	3,76		11.544	69.004	0,21236	3,65
I	I		1.322	3.958	0,35393	4,06		0	0	0,35393	-		0	0	0,35393	-
P	S	00572	0	0	0,21236	-	00573	0	0	0,21236	-	00574	0	0	0,21236	-
I	I		3.830	348.675	1,06180	1,66		-23.872	413.244	1,06180	1,70		-7.954	378.565	1,06180	1,68
S	S		6.168	66.739	0,21236	3,67		3.222	55.697	0,21236	3,73		1.348	36.243	0,21236	3,83
I	I		0	0	0,35393	-		0	0	0,35393	-		0	0	0,35393	-
P	S	00575	0	0	0,21236	-	00576	0	0	0,21236	-	00577	0	0	0,21236	-
I	I		-8.367	326.422	1,06180	1,66		-5.467	268.335	1,06180	1,63		-809	310.134	1,06180	1,65
S	S		-380	7.524	0,21236	4,00		0	0	0,21236	-		0	0	0,21236	-
I	I		380	28.835	0,35393	4,22		-1.839	67.611	0,35393	4,50		-867	23.142	0,35393	4,19
P	S	00578	0	0	0,21236	-	00579	0	0	0,21236	-	00580	0	0	0,21236	-
I	I		-12.825	360.947	1,06180	1,67		-26.329	373.126	1,06180	1,68		-18.417	342.793	1,06180	1,67
S	S		506	17.843	0,21236	3,94		2.574	36.319	0,21236	3,83		-1.604	27.462	0,21236	3,88
I	I		-506	4.589	0,35393	4,07		0	0	0,35393	-		0	0	0,35393	-
P	S	00581	0	0	0,21236	-	00582	0	0	0,21236	-	00583	0	0	0,21236	-
I	I		-21.837	358.171	1,06180	1,67		-12.949	360.343	1,06180	1,67		580	323.138	1,06180	1,65
S	S		1.338	23.162	0,21236	3,90		1.631	21.459	0,21236	3,91		1.478	4.497	0,21236	4,01
I	I		0	0	0,35393	-		-1.631	11	0,35393	4,04		-1.478	19.067	0,35393	4,16

LEGENDA:



Relazione preliminare sulle strutture

Platee - Verifiche pressoflessione retta allo SLD

Dir	Pos	Nodo	N _{Ed}	M _{Ed}	A _s	CS	Nodo	N _{Ed}	M _{Ed}	A _s	CS	Nodo	N _{Ed}	M _{Ed}	A _s	CS
			[N]	[N-m]	[cm ² /cm]			[N]	[N-m]	[cm ²]			[N]	[N-m]	[cm ²]	

Dir Direzione [P] = principale (asse locale 1) - [S] = secondaria (asse locale 2).

Pos Posizione [S] = superiore - [I] = inferiore.

A_s Area delle armature esecutive per unità di lunghezza.

CS Coefficiente di sicurezza ([NS] = Non Significativo se CS ≥ 100; [VNR]= Verifica Non Richiesta; Informazioni aggiuntive sulla condizione: [V] = statica; [E] = eccezionale; [S] = sismica; [N] = sismica non lineare).

N_{Ed}, M_{Ed} Sollecitazioni di progetto.

Platee - VERIFICHE DELLE TENSIONI DI ESERCIZIO (Fondazione)

Platee - verifiche delle tensioni di esercizio

Nodo/ T _{P,rf}	Dir	Compressione calcestruzzo							Trazione acciaio							
		Compressione calcestruzzo rinforzo							Trazione acciaio/FRP rinforzo							
		Id _{Cmb}	σ _{cc}	σ _{cd,amm}	N _{Ed}	M _{Ed}	CS	Verificato	Id _{Cmb}	σ _{at}	σ _{td,amm}	N _{Ed}	M _{Ed}	CS	Verificato	
		[N/mm ²]	[N/mm ²]	[N]	[N-m]				[N/mm ²]	[N/mm ²]	[N]	[N-m]				
Fondazione		Platea 1														
00371	P	RAR	12,402	17,43	-76.890	15.819.051	1,41	SI	RAR	224,950	360,00	-76.890	15.819.051	1,60	SI	
		QPR	2,766	13,07	0	3.737.102	4,73	SI	-	-	-	-	-	-	-	
	S	RAR	11,581	17,43	-122.703	14.083.087	1,50	SI	RAR	245,159	360,00	-122.703	14.083.087	1,47	SI	
		QPR	3,406	13,07	0	4.120.128	3,84	SI	-	-	-	-	-	-	-	

LEGENDA:

- Rinf.** Indica la presenza del rinforzo sulla sezione di verifica.
- Dir** Direzione [P] = principale (asse locale 1) - [S] = secondaria (asse locale 2).
- Id_{Cmb}** Identificativo della Combinazione di Azione: [QPR] = Quasi Permanente - [FRQ] = Frequente - [RAR] = Rara.
- σ_{cc}** Tensione massima di compressione nel calcestruzzo della Trave/Rinforzo.
- σ_{cd,amm}** Tensione ammissibile per la verifica a compressione del calcestruzzo.
- σ_{at}** Tensione massima di trazione nell'acciaio della Trave/Rinforzo o nel FRP.
- σ_{td,amm}** Tensione ammissibile per la verifica a trazione dell'acciaio/rinforzo.
- N_{Ed}, M_{Ed}** Sollecitazioni di progetto.
- CS** Coefficiente di Sicurezza (= σ_{cd, amm}/σ_{cc} ; σ_{td, amm}/σ_{at}). [NS] = Non Significativo (CS ≥ 100).
- Verificato** [SI] = La verifica è soddisfatta (σ_{cc} ≤ σ_{cd,amm} ; σ_{at} ≤ σ_{td,amm}). [NO] = La verifica NON è soddisfatta (σ_{cc} > σ_{cd,amm}; σ_{at} > σ_{td,amm}).
- Nota** Nella tabella, per ogni elemento, viene riportato il nodo della shell che ha il coefficiente di sicurezza (CS) più piccolo.

Platee - VERIFICA ALLO STATO LIMITE DI FESSURAZIONE (Fondazione)

Platee - verifica allo stato limite di fessurazione

Nodo	Dir	Id _{Cmb}	N _{Ed}	M _{Ed}	σ _{ct,f}	σ _t	ε _{sm}	A _e	Δ _{sm}	W _d	W _{amm}	CS	Verificato
			[N]	[N-m]	[N/mm ²]	[N/mm ²]		[cm ²]	[mm]	[mm]	[mm]		
Fondazione		Platea 1 AA= PCA											



Relazione preliminare sulle strutture

Platee - verifica allo stato limite di fessurazione

Nodo	Dir	Id _{Cmb}	N _{Ed}	M _{Ed}	σ _{ct,f}	σ _t	ε _{sm}	A _e	Δ _{sm}	W _d	W _{amm}	CS	Verificato
			[N]	[N-m]	[N/mm ²]	[N/mm ²]		[cm ²]	[mm]	[mm]	[mm]		
NOTA: L'elemento è fessurato. Di seguito sono riportati solamente i nodi strutturali per i quali si riscontra la fessurazione (W_d ≠ 0)													
00371	P	FRQ	-15.378	5.913.606	3,45	2,36	3,4681 E-04	1250	141	0,049	0,400	8,20	SI
		QPR	-	3.737.102	2,18	2,36	0 E+00	0	0	0,000	0,300	-	SI
	S	FRQ	-24.541	5.868.564	3,76	2,36	4,2756 E-04	1250	144	0,062	0,400	6,49	SI
		QPR	-	4.120.128	2,64	2,36	2,8204 E-04	1250	144	0,041	0,300	7,38	SI
00001	P	FRQ	-	5.616.574	3,28	2,36	3,2601 E-04	1250	141	0,046	0,400	8,72	SI
		QPR	-	4.990.966	2,91	2,36	2,838 E-04	1250	141	0,040	0,300	7,51	SI
	S	FRQ	-11.578	5.037.850	3,23	2,36	3,5834 E-04	1250	144	0,052	0,400	7,74	SI
		QPR	-	4.465.940	2,86	2,36	3,1051 E-04	1250	144	0,045	0,300	6,70	SI

LEGENDA:

- Dir** Direzione [P] = principale (asse locale 1) - [S] = secondaria (asse locale 2).
- AA** Identificativo dell'aggressività dell'ambiente: [PCA] = Ordinarie (Poco aggressivo) - [MDA] = Aggressive (Moderatamente aggressivo) - [MLA] = Molto aggressive.
- Id_{Cmb}** Identificativo della Combinazione di Azione: [QPR] = Quasi Permanente - [FRQ] = Frequente - [RAR] = Rara.
- N_{Ed}, M_{Ed}** Sollecitazioni di progetto.
- σ_{ct,f}** Tensione massima di trazione nel calcestruzzo per la fessurazione, calcolata nell'ipotesi di calcestruzzo resistente a trazione. Se tale valore è maggiore di σ_t la sezione è soggetta a fessurazione.
N.B. I valori negativi indicano una sezione interamente compressa. In tal caso le sollecitazioni forniscono il minimo valore di compressione.
- σ_t** Tensione massima di trazione nel calcestruzzo relativa allo stato limite di formazione delle fessure [relazione (4.1.37) del § 4.1.2.2.4.1 del DM 2008].
- ε_{sm}** Deformazione media nel calcestruzzo.
- A_e** Area efficace del calcestruzzo teso.
- Δ_{sm}** Distanza media tra le fessure.
- W_d** Valore di calcolo di apertura massima delle fessure.
- W_{amm}** Valore ammissibile di apertura delle fessure.
- CS** Coefficiente di Sicurezza (=W_d/W_{amm}). [NS] = Non Significativo (CS ≥ 100). [-] = Fessurazioni nulle (W_d = 0).
- Verificato** [SI] = W_d ≤ W_{amm}; [NO] = W_d > W_{amm}



9.2. PALI

PALI - VERIFICHE A PRESSOFLESSIONE DEVIATA ALLO SLU (Fondazione)

Pali - Verifiche a pressoflessione deviata allo SLU

Id _{PI}	Id _{Nd}	N _{Ed}	M _{Ed,X}	M _{Ed,Y}	CS	N _u	φ _s	n _s	φ _{As,st}
		[N]	[N-m]	[N-m]		[N]	[mm]		[mm]
PALO13	00012	865.681	-168.864	404.659	4.28[V]	18.080.560	24	18	8
PALO10	00017	1.207.468	-126.970	-375.059	5.04[V]	18.080.560	24	18	8
PALO7	00015	741.139	80.139	434.861	4.14[V]	18.080.560	24	18	8
PALO2	00018	1.283.266	319.637	238.992	5.07[V]	18.080.560	24	18	8
PALO6	00004	1.207.474	126.994	-375.044	5.04[V]	18.080.560	24	18	8
PALO15	00016	1.283.241	-319.664	238.972	5.07[V]	18.080.560	24	18	8
PALO12	00007	1.242.833	-238.803	-305.954	5.17[V]	18.080.560	24	18	8
PALO11	00003	741.157	-80.125	434.876	4.14[V]	18.080.560	24	18	8
PALO5	00005	865.660	168.859	404.711	4.28[V]	18.080.560	24	18	8
PALO1	00008	1.295.562	321.509	-201.875	5.34[V]	18.080.560	24	18	8
PALO16	00006	1.051.132	-252.535	343.163	4.27[V]	17.802.734	26	14	8
PALO8	00010	1.194.803	-3	-397.755	5.01[V]	18.080.560	24	18	8
PALO14	00013	1.295.562	-321.426	-201.860	5.34[V]	18.080.560	24	18	8
PALO9	00009	697.291	31	442.732	4.10[V]	18.080.560	24	18	8
PALO3	00011	1.051.140	252.555	343.178	4.56[V]	18.080.560	24	18	8
PALO4	00014	1.242.839	238.843	-306.014	5.17[V]	18.080.560	24	18	8

LEGENDA:

- Id_{PI}** Identificativo del palo.
- Id_{Nd}** Identificativo del nodo in testa al palo.
- CS** Coefficiente di sicurezza ([NS] = Non Significativo se CS ≥ 100; [VNR]= Verifica Non Richiesta; Informazioni aggiuntive sulla condizione: [V] = statica; [E] = eccezionale; [S] = sismica; [N] = sismica non lineare).
- N_u** Sforzo Normale Ultimo per compressione semplice.
- φ_s** Diametro delle barre di acciaio.
- n_s** Numero delle barre di acciaio.
- φ_{As,st}** Diametro delle staffe.
- N_{Ed,r}** Sollecitazioni di progetto.
- M_{Ed,X,r}**
- M_{Ed,Y}**

PALI - VERIFICHE A TAGLIO (Fondazione)

Pali - Verifiche a Taglio

Id _{PI}	Id _{Nd}	V _{Ed}	CS	V _{Rcd}		V _{Rsd,s}		A _{sw}	S _{Asw}	φ _{As,st}
				X	Y	X	Y			
				[N]	[N]	[N]	[N]			
PALO13	00012	301.292	1,69	3525067	0	508938	0	0,0503	20	0
PALO10	00017	301.683	1,69	3525067	0	508938	0	0,0503	20	0
PALO7	00015	301.653	1,69	3525067	0	508938	0	0,0503	20	0
PALO2	00018	301.537	1,69	3525067	0	508938	0	0,0503	20	0
PALO6	00004	301.682	1,69	3525067	0	508938	0	0,0503	20	0



Relazione preliminare sulle strutture

Pali - Verifiche a Taglio

Id _{PI}	Id _{Nd}	V _{Ed}	CS	V _{Rcd}		V _{Rsd,s}		A _{sw}	S _{Asw}	φ _{As,st}
				X	Y	X	Y			
		[N]		[N]		[N]		[cm ² /cm]	[cm]	[mm]
PALO15	00016	301.534	1,69	3525067	0	508938	0	0,0503	20	0
PALO12	00007	301.241	1,69	3525067	0	508938	0	0,0503	20	0
PALO11	00003	301.655	1,69	3525067	0	508938	0	0,0503	20	0
PALO5	00005	301.295	1,69	3525067	0	508938	0	0,0503	20	0
PALO1	00008	301.632	1,69	3525067	0	508938	0	0,0503	20	0
PALO16	00006	301.637	1,78	3525067	0	535719	0	0,0529	19	8
PALO8	00010	301.536	1,69	3525067	0	508938	0	0,0503	20	0
PALO14	00013	301.631	1,69	3525067	0	508938	0	0,0503	20	0
PALO9	00009	301.539	1,69	3525067	0	508938	0	0,0503	20	0
PALO3	00011	301.635	1,69	3525067	0	508938	0	0,0503	20	0
PALO4	00014	301.240	1,69	3525067	0	508938	0	0,0503	20	0

LEGENDA:

- Id_{PI}** Identificativo del palo.
- Id_{Nd}** Identificativo del nodo in testa al palo.
- V_{Ed}** Massima sollecitazione di taglio composta in funzione di V_{Ed,x}, V_{Ed,y} e dell'asse neutro.
- CS** Coefficiente di sicurezza ([NS] = Non Significativo se CS ≥ 100; [VNR]= Verifica Non Richiesta; Informazioni aggiuntive sulla condizione: [V] = statica; [E] = eccezionale; [S] = sismica; [N] = sismica non lineare).
- V_{Rcd}** Resistenza a taglio compressione del calcestruzzo.
- V_{Rsd,s}** Resistenza a taglio trazione delle staffe.
- A_{sw}** Area delle staffe per unità di lunghezza.
- S_{Asw}** Passo massimo staffe da normativa.
- φ_{As,st}** Diametro delle staffe.

PALI - VERIFICHE A CARICO LIMITE VERTICALE E ORIZZONTALE ALLO SLU

Pali - Verifiche a carico limite verticale e orizzontale allo SLU

Id _{PI} /Pnt PI	Id _{Nd,sup}	Q _{Ed,V}	Q _{Ed,O}	Q _{Rd,V}	Q _{Rd,V,Pt}	Q _{Rd,V,Lt}	Q _{Rd,O}	M _{max,O}	T.R.	Z _{c,pls}	CS _v	CS _o
		[N]	[N]	[N]	[N]	[N]	[N]	[N·m]		[m]		
PALO13	00012	1.721.966	301.292	5.173.568	2.634.847	2.538.721	591.722	1595887	Palo Lungo	3,89	3,00	1,96
PALO10	00017	2.057.253	301.683	5.173.568	2.634.847	2.538.721	591.722	1595887	Palo Lungo	3,89	2,51	1,96
PALO7	00015	1.755.079	301.653	5.173.568	2.634.847	2.538.721	591.722	1595887	Palo Lungo	3,89	2,95	1,96
PALO2	00018	1.627.196	301.537	5.173.568	2.634.847	2.538.721	591.722	1595887	Palo Lungo	3,89	3,18	1,96
PALO6	00004	2.057.227	301.682	5.173.568	2.634.847	2.538.721	591.722	1595887	Palo Lungo	3,89	2,51	1,96
PALO15	00016	1.627.182	301.534	5.173.568	2.634.847	2.538.721	591.722	1595887	Palo Lungo	3,89	3,18	1,96
PALO12	00007	1.932.509	301.241	5.173.568	2.634.847	2.538.721	591.722	1595887	Palo Lungo	3,89	2,68	1,96
PALO11	00003	1.755.073	301.655	5.173.568	2.634.847	2.538.721	591.722	1595887	Palo Lungo	3,89	2,95	1,96
PALO5	00005	1.721.965	301.295	5.173.568	2.634.847	2.538.721	591.722	1595887	Palo Lungo	3,89	3,00	1,96
PALO1	00008	1.762.776	301.632	5.173.568	2.634.847	2.538.721	591.722	1595887	Palo Lungo	3,89	2,93	1,96
PALO16	00006	1.678.341	301.637	5.173.568	2.634.847	2.538.721	557.521	1459544	Palo Lungo	3,78	3,08	1,85
PALO8	00010	2.100.748	301.536	5.173.568	2.634.847	2.538.721	591.722	1595887	Palo Lungo	3,89	2,46	1,96
PALO14	00013	1.762.770	301.631	5.173.568	2.634.847	2.538.721	591.722	1595887	Palo Lungo	3,89	2,93	1,96
PALO9	00009	1.775.643	301.539	5.173.568	2.634.847	2.538.721	591.722	1595887	Palo Lungo	3,89	2,91	1,96
PALO3	00011	1.678.342	301.635	5.173.568	2.634.847	2.538.721	591.722	1595887	Palo Lungo	3,89	3,08	1,96



Relazione preliminare sulle strutture

Pali - Verifiche a carico limite verticale e orizzontale allo SLU

Id _{PI/Pnt PI}	Id _{Nd,sup}	Q _{Ed,V}	Q _{Ed,O}	Q _{Rd,V}	Q _{Rd,V,Pt}	Q _{Rd,V,Lt}	Q _{Rd,O}	M _{max,O}	T.R.	Z _{c,pls}	CS _v	CS _o
		[N]	[N]	[N]	[N]	[N]	[N]	[N·m]		[m]		
PALO4	00014	1.932.490	301.240	5.173.568	2.634.847	2.538.721	591.722	1595887	Palo Lungo	3,89	2,68	1,96

LEGENDA:

- Id_{PI/Pnt PI}** Identificativo del palo o del plinto su pali.
- Id_{Nd,sup}** Identificativo del nodo all'estremo superiore del palo o della pilastrata cui il plinto è collegato.
- Q_{Ed,V}** Carico verticale di progetto.
- Q_{Ed,O}** Carico orizzontale di progetto.
- Q_{Rd,V}** Resistenza di progetto verticale.
- Q_{Rd,V,Pt}** Aliquota della resistenza di progetto verticale dovuto alla resistenza alla punta.
- Q_{Rd,V,Lt}** Aliquota della resistenza di progetto verticale dovuto alla resistenza laterale.
- Q_{Rd,O}** Resistenza di progetto orizzontale.
- M_{max,O}** Momento massimo lungo il palo per carichi orizzontali.
- T.R.** Modalità di rottura per carico limite orizzontale (Palo Corto, Palo Medio, Palo Lungo).
- Z_{c,pls}** Profondità della seconda cerniera plastica.
- CS_v** Coefficiente di sicurezza per azioni verticali ([NS] = Non Significativo per valori di CS >= 100; [VNR]= Verifica Non Richiesta).
- CS_o** Coefficiente di sicurezza per azioni orizzontali ([NS] = Non Significativo per valori di CS >= 100; [VNR]= Verifica Non Richiesta).

PALI - VERIFICHE A CARICO LIMITE VERTICALE E ORIZZONTALE ALLO SLD

Pali - Verifiche a carico limite verticale e orizzontale allo SLD

Id _{PI/Pnt PI}	Id _{Nd,sup}	Q _{Ed,V}	Q _{Ed,O}	Q _{Rd,V}	Q _{Rd,V,Pt}	Q _{Rd,V,Lt}	Q _{Rd,O}	M _{max,O}	T.R.	Z _{c,pls}	CS _v	CS _o
		[N]	[N]	[N]	[N]	[N]	[N]	[N·m]		[m]		
PALO13	00012	1.106.652	218.611	5.173.568	2.634.847	2.538.721	591.722	1595887	Palo Lungo	3,89	4,67	2,71
PALO10	00017	1.128.429	218.885	5.173.568	2.634.847	2.538.721	591.722	1595887	Palo Lungo	3,89	4,58	2,70
PALO7	00015	1.113.207	218.862	5.173.568	2.634.847	2.538.721	591.722	1595887	Palo Lungo	3,89	4,65	2,70
PALO2	00018	1.118.188	218.785	5.173.568	2.634.847	2.538.721	591.722	1595887	Palo Lungo	3,89	4,63	2,70
PALO6	00004	1.128.424	218.883	5.173.568	2.634.847	2.538.721	591.722	1595887	Palo Lungo	3,89	4,58	2,70
PALO15	00016	1.118.182	218.785	5.173.568	2.634.847	2.538.721	591.722	1595887	Palo Lungo	3,89	4,63	2,70
PALO12	00007	1.118.283	218.572	5.173.568	2.634.847	2.538.721	591.722	1595887	Palo Lungo	3,89	4,63	2,71
PALO11	00003	1.113.206	218.863	5.173.568	2.634.847	2.538.721	591.722	1595887	Palo Lungo	3,89	4,65	2,70
PALO5	00005	1.106.650	218.613	5.173.568	2.634.847	2.538.721	591.722	1595887	Palo Lungo	3,89	4,67	2,71
PALO1	00008	1.123.836	218.855	5.173.568	2.634.847	2.538.721	591.722	1595887	Palo Lungo	3,89	4,60	2,70
PALO16	00006	1.117.553	218.859	5.173.568	2.634.847	2.538.721	557.521	1459544	Palo Lungo	3,78	4,63	2,55
PALO8	00010	1.126.308	218.777	5.173.568	2.634.847	2.538.721	591.722	1595887	Palo Lungo	3,89	4,59	2,70
PALO14	00013	1.123.835	218.856	5.173.568	2.634.847	2.538.721	591.722	1595887	Palo Lungo	3,89	4,60	2,70
PALO9	00009	1.109.843	218.780	5.173.568	2.634.847	2.538.721	591.722	1595887	Palo Lungo	3,89	4,66	2,70
PALO3	00011	1.117.556	218.859	5.173.568	2.634.847	2.538.721	591.722	1595887	Palo Lungo	3,89	4,63	2,70
PALO4	00014	1.118.281	218.572	5.173.568	2.634.847	2.538.721	591.722	1595887	Palo Lungo	3,89	4,63	2,71

LEGENDA:

- Id_{PI/Pnt PI}** Identificativo del palo o del plinto su pali.
- Id_{Nd,sup}** Identificativo del nodo all'estremo superiore del palo o della pilastrata cui il plinto è collegato.
- Q_{Ed,V}** Carico verticale di progetto.
- Q_{Ed,O}** Carico orizzontale di progetto.
- Q_{Rd,V}** Resistenza di progetto verticale.



Pali - Verifiche a carico limite verticale e orizzontale allo SLD

Id_{PI}/Pnt PI	Id_{Nd,sup}	Q_{Ed,V}	Q_{Ed,O}	Q_{Rd,V}	Q_{Rd,V,Pt}	Q_{Rd,V,Lt}	Q_{Rd,O}	M_{max,O}	T.R.	Z_{c,pls}	CS_V	CS_O
		[N]	[N]	[N]	[N]	[N]	[N]	[N·m]		[m]		

- Q_{Rd,V,Pt}** Aliquota della resistenza di progetto verticale dovuto alla resistenza alla punta.
- Q_{Rd,V,Lt}** Aliquota della resistenza di progetto verticale dovuto alla resistenza laterale.
- Q_{Rd,O}** Resistenza di progetto orizzontale.
- M_{max,O}** Momento massimo lungo il palo per carichi orizzontali.
- T.R.** Modalità di rottura per carico limite orizzontale (Palo Corto, Palo Medio, Palo Lungo).
- Z_{c,pls}** Profondità della seconda cerniera plastica.
- CS_V** Coefficiente di sicurezza per azioni verticali ([NS] = Non Significativo per valori di CS >= 100; [VNR]= Verifica Non Richiesta).
- CS_O** Coefficiente di sicurezza per azioni orizzontali ([NS] = Non Significativo per valori di CS >= 100; [VNR]= Verifica Non Richiesta).